

INVENTÁRIO FLORESTAL

PCH São Jerônimo Rio São Jerônimo Guarapuava – PR

Contratante:

Cooperativa Agrária Agroindustrial CNPJ 77.890.846/0001-79

Guarapuava – PR, 27 de janeiro de 2023



SUMÁRIO

1.	DO	OCUMENTAÇÃO	3
	1.1	DADOS DO EMPREENDEDOR	3
	1.2	DADOS DA EMPRESA CONSULTORA	
	1.3	DESCRIÇÃO DA EQUIPE TÉCNICA	4
2.	INT	TRODUÇÃO	5
3.	LEG	GISLAÇÃO APLICÁVEL	6
		NÍVEL FEDERAL	
	3.1	3.1.1 LEIS E DECRETOS	
		3.1.2 MINISTÉRIO DO MEIO AMBIENTE - MMA	
		3.1.3 IBAMA	
		3.1.4 CONSELHO NACIONAL DE MEIO AMBIENTE - CONAMA	
	3.2	NÍVEL ESTADUAL	
	J. _	3.2.1 LEIS E DECRETOS	
		3.2.2 SECRETARIA DE ESTADO DO MEIO AMBIENTE E RECURSOS HÍDRICOS - SEMA	
		3.2.3 SECRETARIA DE DESENVOLVIMENTO SUSTENTÁVEL - SEDEST	
		3.2.4 CONSELHO ESTADUAL DE MEIO AMBIENTE - CEMA	
		3.2.5 INSTITUTO ÁGUA E TERRA	
4.	LOC	CALIZAÇÃO E CARACTERIZAÇÃO DA ÁREA DE ESTUDO	11
	4.1	LOCALIZAÇÃO E ACESSOS	11
	4.2	CARACTERIZAÇÃO FITOFISIONÔMICA	
	4.3	USO DO SOLO	14
	4.4	RESERVA LEGAL E APP	18
	4.5	UNIDADE DE CONSERVAÇÃO	
	4.6	ÁREAS TRADICIONAIS E PROTEGIDAS	
5.	ME	ETODOLOGIA	22
	5.1	ANÁLISE FLORÍSTICA	22
	5.2	ESTUDO FITOSSOCIOLÓGICO	22
	5.3	INVENTÁRIO FLORESTAL	26
6.	AN	NÁLISE FLORÍSTICA	30
	6.1	FLORESTA OMBRÓFILA MISTA ALUVIAL	30
	6.2	FORMAÇÕES PIONEIRAS	31
		6.2.1 ESTEPE GRAMÍNEO-LENHOSA	
		6.2.2 FORMAÇÕES PIONEIRAS COM INFLUÊNCIA FLUVIAL (VÁRZEA)	
	6.3	USO ANTRÓPICO	35
7.	AN	NÁLISE FITOSSOCIOLÓGICA	36
8.	INV	VENTÁRIO FLORESTAL	49
9.	COI	DNSIDERAÇÕES FINAIS	53
10.	REF	FERÊNCIA BIBLIOGRÁFICA	54
ΑN	EXO 1	1 – ART	57
ΑN	EXO 2	2 – LAYOUT DAS PARCELAS	58





1. DOCUMENTAÇÃO

1.1 DADOS DO EMPREENDEDOR

NOME / RAZÃO SOCIAL	AGRÁRIA COOPERATIVA AGROINDUSTRIAL	
ENDEREÇO	Av. Paraná, 211 - Setor Cereais Vitória Distrito de Entre Rios - Colônia Vitória Guarapuava - PR 85.139-400	
TELEFONE	(42) 3625-8000	
NÚMERO DE REGISTRO LEGAL	CNPJ: 77.890.846/0001-79	
CONTATO	Marcio Taschelmayer Coordenador de Energia e Florestal <u>marciot@agraria.com.br</u>	

1.2 DADOS DA EMPRESA CONSULTORA

RAZÃO SOCIAL	DELTA S ENGENHARIA LTDA.	
ENDEREÇO	Rua Croacia, 925 Distrito de Entre Rios – Colônia Vitória Guarapuava – PR 85.139-400	
CONTATO	http://www.deltas.eng.br	
NÚMERO DE REGISTRO LEGAL	CNPJ / MF n.º 32.857.791/0001-67	
REGISTRO DE CLASSE	CREA-PR nº 71.876	
REPRESENTANTE LEGAL	Leonardo Rodrigues Minucci Sócio Diretor <u>leonardo@deltas.eng.br</u>	



1.3 DESCRIÇÃO DA EQUIPE TÉCNICA

RESPONSÁVEL TÉCNICO	REGISTRO	ESCOPO
Brasil Avila Vargas Dorneles Andrade Holsbach.	Engº Florestal CREA-PR 71.535/D	Análise Florística Estudo Fitossociológico Inventário Florestal ART nº 1720230503423
William Broday	Técnico Florestal	Coordenador de campo
Leonardo Rodrigues Minucci	Eng ^o Ambiental CREA-PR 116.570/D	Coordenação geral



2. INTRODUÇÃO

O presente relatório visa quantificar a vegetação a ser suprimida situada na área diretamente afetada pela implantação da **PCH São Jerônimo**, empreendimento hidrelétrico previsto para o rio São Jerônimo, que faz divisa entre os municípios de Guarapuava e Pinhão - PR.

Este pedido de supressão se faz necessário após a adequação civil e otimização do Projeto Básico do empreendimento, o que resultou em uma redução dos impactos socioambientais do mesmo.

Os levantamentos *in loco* foram realizados no mês de janeiro de 2023 e envolveu uma campanha de campo com 6 dias de duração para qualificação e quantificação da vegetação arbórea e herbácea diretamente afetada pela PCH, conforme dispõem as portarias e diretrizes do estado do Paraná e do Brasil para este tipo de trabalho.

25°394,57432′S - 51. V711,881.48
13 de jan de 2023.12]12
25°394,5194′S - 51°2712,26588
13 de jan de 2023 10.54

25°394,5194′S - 51°2712,26588
13 de jan de 2023 10.54

Figura 1: Registros do levantamento de campo em janeiro de 2023.



3. LEGISLAÇÃO APLICÁVEL

3.1 NÍVEL FEDERAL

3.1.1 LEIS E DECRETOS

Constituição Federal de 1988 – Dispõe sobre o meio ambiente.

Lei n° 12.651/2012 – Dispõe sobre a proteção da vegetação nativa; altera as Leis nºs 6.938, de 31 de agosto de 1981, 9.393, de 19 de dezembro de 1996, e 11.428, de 22 de dezembro de 2006; revoga as Leis nºs 4.771, de 15 de setembro de 1965, e 7.754, de 14 de abril de 1989, e a Medida Provisória nº 2.166- 67, de 24 de agosto de 2001; e dá outras providências.

Lei complementar nº 140/2011 – Fixa normas para a cooperação entre a União, os Estados, o Distrito Federal e os Municípios nas ações administrativas decorrentes do exercício da competência comum relativas à proteção das paisagens naturais notáveis, à proteção do meio ambiente, ao combate à poluição em qualquer de suas formas e à preservação das florestas, da fauna e da flora.

Lei n° 11.428/2006 – Dispõe sobre a utilização e proteção da vegetação nativa do Bioma Mata Atlântica, e dá outras providências.

Lei n° 9.985/2000 – Regulamenta o art. 225 § 1°, incisos I, II, III e VII da Constituição Federal, institui o Sistema Nacional de Unidades de Conservação da Natureza e dá outras providências.

Lei n° 6.938/1981 – Dispõe sobre a Política Nacional do Meio Ambiente, seus afins e mecanismos de formulação e aplicação, e dá outras providências.

Lei n° 6.902/1981 – Dispõe sobre a criação de Estações Ecológicas, Áreas de Proteção Ambiental e dá outras providências.

Lei nº 6.766/1979 – Dispõe sobre o parcelamento do solo urbano, e dá outras providências.

Lei nº 5.197/1967 – Código de Fauna. Dispõe sobre a Proteção à Fauna, e dá outras providências.

Decreto nº 6.848/2009 - Altera e acrescenta dispositivos ao Decreto nº 4.340, de 22 de agosto de 2002, para regulamentar a compensação ambiental.

Decreto nº 6.660/2008 - Regulamenta dispositivos da Lei nº 11.428, de 22 de dezembro de 2006, que dispõe sobre a utilização e proteção da vegetação nativa do Bioma Mata Atlântica.

Decreto n° 6.514/2008 - Dispõe sobre as infrações e sanções administrativas ao meio ambiente, estabelece o processo administrativo federal para apuração destas infrações, e dá outras providências.

Decreto n° 5.092/2004 - Define regras para identificação de áreas prioritárias para a conservação, utilização sustentável e repartição dos benefícios da biodiversidade, no âmbito das atribuições do Ministério do Meio Ambiente.

Decreto n° 3.551/2000 - Institui o Registro de Bens Culturais de Natureza Imaterial que constituem patrimônio cultural brasileiro, cria o Programa Nacional do Patrimônio Imaterial, e dá outras providências.

Decreto n° 99.274/1990 - Regulamenta a Lei nº 6.902, de 27 de abril de 1981, e a Lei nº 6.938, de 31 de agosto de 1981, que dispõem, respectivamente sobre a criação de Estações Ecológicas e



Áreas de Proteção Ambiental e sobre a Política Nacional do Meio Ambiente, e dá outras providências.

Decreto n° 77.775/1976 - Regulamenta a Lei 6.225, de 14 de julho de 1975, que dispõe sobre discriminação, pelo Ministério da Agricultura, de regiões para execução obrigatória de planos de proteção ao solo e de combate à erosão, e dá outras providências.

Decreto-Lei nº 3.365/1941 – Dispõe sobre desapropriações por utilidade pública.

3.1.2 MINISTÉRIO DO MEIO AMBIENTE - MMA

Portaria MMA nº 463/2018 – Áreas prioritárias para a Conservação, Utilização Sustentável e Repartição de Benefícios da Biodiversidade Brasileira ou Áreas Prioritárias para a Biodiversidade.

Portaria MMA n° 443/2014 - Reconhece como espécies da flora brasileira ameaçadas de extinção aquelas constantes da "Lista Nacional Oficial de Espécies da Fauna Ameaçadas de Extinção".

Portaria MMA n° 421/2011 - Dispõe sobre o licenciamento e a regularização ambiental federal de sistemas de transmissão de energia elétrica e dá outras providências.

Portaria MMA n° 358/2009 - Institui o Programa Nacional de Conservação do Patrimônio Espeleológico, que tem como objetivo desenvolver estratégia nacional de conservação e uso sustentável do patrimônio espeleológico brasileiro

3.1.3 IBAMA

Instrução Normativa Conjunta IBAMA/MMA/ICMBio nº 02/2020 – Regulamenta o processo administrativo federal para apuração de infrações administrativas por condutas e atividades lesivas ao meio ambiente.

Instrução Normativa IBAMA nº 09/2019 — Estabelece critérios e procedimentos para anuência prévia à supressão de vegetação primária ou secundária.

Instrução Normativa Conjunta ICMBio-IBAMA nº 01/2014 - Estabelece procedimentos entre o ICMBio e o IBAMA para o manejo e a conservação de espécies da fauna silvestre brasileira.

Instrução Normativa IBAMA nº 004/2011 - Estabelece procedimentos para elaboração de Projeto de Recuperação de Área Degradada - PRAD ou Área Alterada, para fins de cumprimento da legislação ambiental.

3.1.4 CONSELHO NACIONAL DE MEIO AMBIENTE - CONAMA

Resolução CONAMA nº 429/2011 - Dispõe sobre a metodologia de recuperação das Áreas de Preservação Permanente - APPs.

Resolução CONAMA nº 428/2010 - Dispõe, no âmbito do licenciamento ambiental, sobre a autorização do órgão responsável pela administração da Unidade de Conservação (UC), de que trata o artigo 36, § 3º, da Lei nº 9.985, de 18 de julho de 2000, bem como sobre a ciência do órgão responsável pela administração da UC no caso de licenciamento ambiental de empreendimentos não sujeitos a EIA-RIMA e dá outras providências.





Resolução CONAMA nº 369/2006 - Dispõe sobre os casos excepcionais, de utilidade pública, interesse social ou baixo impacto ambiental, que possibilitam a intervenção ou supressão de vegetação em Área de Preservação Permanente - APP.

Resolução CONAMA n° 303/2002 - Dispõe sobre parâmetros, definições e limites de Áreas de Preservação Permanente.

Resolução CONAMA nº 302/2002 - Dispõe sobre os parâmetros, definições e limites de Áreas de Preservação Permanente de reservatórios artificiais e o regime de uso do entorno.

Resolução CONAMA n° 281/2001 - Dispõe sobre modelos de publicação de pedidos de licenciamento ambiental.

Resolução CONAMA n° 279/2001 - Dispõe sobre o licenciamento ambiental simplificado de empreendimentos elétricos com pequeno potencial de impacto ambiental.

Resolução CONAMA n° 237/1997 - Dispõe sobre as atividades e empreendimentos sujeitas ao licenciamento ambiental a nível federal, estadual e municipal.

Resolução CONAMA nº 009/1996 – Dispõe sobre os corredores entre os remanescentes de Mata Atlântica.

Resolução CONAMA nº 003/1996 - Dispõe sobre a abrangência da vegetação remanescente de Mata Atlântica, expressa no parágrafo único do art. 4, do Decreto 750, de 1993.

Resolução CONAMA nº 002/1994 - Define as formações vegetais primárias, bem como os estágios sucessionais de vegetação secundária, com finalidade de orientar os procedimentos de licenciamento de exploração da vegetação nativa no Estado do Paraná, e dá outras providências.

Resolução CONAMA nº 010/1993 - Estabelece os parâmetros básicos para análise dos estágios de sucessão da Mata Atlântica, e dá outras providências.

3.2 NÍVEL ESTADUAL

3.2.1 LEIS E DECRETOS

Constituição do Estado do Paraná – Artigo nº 207 e seguintes – Dispõe sobre o meio ambiente.

Lei Estadual nº 18.295/2014 - Instituição, nos termos do art. 24 da Constituição Federal, do Programa de Regularização Ambiental das proprieda•des e imóveis rurais, criado pela Lei Federal nº 12.651, de 25 de maio de 2012.

Lei Estadual n° 18.189/2014 - Revoga dispositivos da Lei Florestal do Estado bem como a Lei de auditoria ambiental.

Lei Estadual n° 17.279/2012 - Institui o Cadastro Técnico Estadual de Atividades Potencialmente Poluidoras ou Utilizadoras de Recursos Naturais, integrante do SISNAMA, bem como a Taxa de Controle de Fiscalização Ambiental.

Lei Estadual nº 17.133/2012 - Institui a Política Estadual sobre Mudança do Clima.

Lei Estadual nº 16.790/2011 - Dispõe sobre a recuperação e o manejo sustentável das áreas de reserva legal no Estado do Paraná, instituindo a Reserva Legal Sustentável – RLS.





Lei Estadual n° 15.431/2007 - Altera o art. 4 da Lei 10.233, de 28.12.1992. (Institui a Taxa Ambiental)

Lei Estadual nº 11.054/1995 - Dispõe sobre a Lei Florestal do Estado do Paraná.

Lei Estadual nº 10.233/1992 - Institui a Taxa Ambiental e adota outras providências.

Decreto Estadual nº 8.680/2013 - Institui o Sistema de Cadastro Ambiental Rural do Estado do Paraná SICAR-PR e adota demais providências.

Decreto Estadual nº 6.674/2002 - Aprova o Regulamento da Lei nº 12.493, de 22 de janeiro de 1999.

Decreto Estadual nº 2.791/1996 - Estabelece os critérios técnicos de alocação de recursos a que alude o art. 5º da Lei Complementar nº 59, de 1º de outubro de 1991, relativos a mananciais destinados a abastecimento público e unidades de conservação.

3.2.2 SECRETARIA DE ESTADO DO MEIO AMBIENTE E RECURSOS HÍDRICOS - SEMA

Resolução Conjunta SEMA/IAP n° 004/2012 - Altera a definição da redação da alínea "p" e acrescenta a definição de Autorização Ambiental no art. 2º, acrescenta parágrafos no art. 8º, suprime a alínea "b" do inciso I, e suprime a palavra autorização da alínea "d" do inciso I do art. 9º da Resolução Conjunta SEMA/IAP nº 009/2010, que estabelece procedimentos para licenciamentos de unidades de geração, transmissão e distribuição de energia elétrica no Estado do Paraná, e dá outras providências.

Resolução SEMA n° 041/2010 - Autoriza nos termos na Instrução Normativa do Ministério do Meio Ambiente, nº 5, de 08 de setembro de 2009, a implantação de ações com a finalidade de recuperar e preservar as condições ambientais das Áreas de Preservação Permanente – APP, no entorno de nascentes no Estado do Paraná.

Resolução SEMA nº 031/1998 - Dispõe sobre o licenciamento ambiental, autorização ambiental, autorização florestal e anuência prévia para desmembramento e parcelamento de gleba rural.

Resolução SEMA nº 028/1998 - Implementa, no Estado do Paraná, o Programa de Substituição de Florestas Homogêneas com Espécies Exóticas localizadas às margens de rios e cursos d`água, por Florestas Heterogêneas com Espécies Nativas, apropriadas ao desempenho da função de preservação permanente.

3.2.3 SECRETARIA DE DESENVOLVIMENTO SUSTENTÁVEL - SEDEST

Resolução SEDEST nº 09/2021 - Estabelece definições, critérios, diretrizes procedimentos para licenciamento de unidades de geração de energia elétrica a partir de potencial hidráulico, no âmbito do Estado do Paraná.

Resolução SEDEST/IAP nº 23/2019 - Estabelece procedimentos de licenciamento ambiental em Áreas de Preservação Permanente (APP), nos entornos dos reservatórios d'água artificiais, decorrentes de barramento ou represamento de cursos d'água naturais.





3.2.4 CONSELHO ESTADUAL DE MEIO AMBIENTE - CEMA

Resolução nº 107/2020— Dispõe sobre o licenciamento ambiental, estabelece critérios e procedimentos a serem adotados para as atividades poluidoras, degradadoras e/ou modificadoras do meio ambiente e adota outras providências.

3.2.5 INSTITUTO ÁGUA E TERRA

Portaria IAT nº 300/2022 – Dispõe sobre a documentação a ser apresentada para análise do pedido de Autorização de Supressão da Vegetação na área de aplicação da Lei Federal nº 11.428/2006 e Resgate de Flora.

Portaria IAP n° 69/2015 - Adotar e exige a metodologia desenvolvida por Dias (2001) apresentada no anexo desta Portaria para definição da metragem da área de preservação permanente para os empreendimentos de geração de energia elétrica.

Portaria IAP n° 059/2015 - Dispõe sobre reconhecimento como espécies exóticas invasoras no estado do Paraná.

Portaria IAP n° 086/2012 - Dispõe sobre Todas as solicitações de licenciamento ambiental de empreendimento e/ ou atividades de aproveitamento hidráulico (PCHs, CGHs e UHEs).

Portaria IAP n° 225/2011 - Dispõe sobre os requerimentos de Autorização Florestal nas modalidades de corte.

Portaria IAP n° 60/2008 - Regulamenta o art. 6º da Resolução Conjunta IBAMA/SEMA/IAP nº 5 de 28 de março de 2008, que define critérios para avaliação das áreas úmidas e seus entornos protetivos, normatiza sua conservação e estabelece condicionantes para o licenciamento das atividades neles permissíveis no Estado do Paraná.

Portaria IAP n° 096/2007 - Isenta a matéria-prima florestal exótica da obrigatoriedade de reposição florestal, da prévia aprovação para exploração e transporte, e dá outras providências.

Portaria IAP nº 157/2005 - Normatiza o uso de espécies arbóreas exóticas na Reserva Legal.

Portaria IAP n° 233/2004 - Aprova os mecanismos de operacionalização aplicáveis ao Sistema de Manutenção, Recuperação e Proteção da Reserva Legal e Áreas de Preservação Permanente - SISLEG, no âmbito do IAP, para o Estado do Paraná.

Portaria IAP n° 134/1997 - Cria, organiza e atualiza o Cadastro Estadual de Unidades de Conservação e Áreas Protegidas (CEUC).



4. LOCALIZAÇÃO E CARACTERIZAÇÃO DA ÁREA DE ESTUDO

4.1 LOCALIZAÇÃO E ACESSOS

A PCH São Jerônimo está projetada para o trecho médio do Rio São Jerônimo, com barramento sob as coordenadas geográficas 25°39'26.58"S e 51°26'40.95"O e canal de fuga 25°37'37.19"S e 51°28'28.85"O, a aproximados 1,3 km antes dele encontrar com o rio Pinhão e trocar de nome, até desaguar no rio Jordão.

A área de drenagem total do empreendimento é de 217,8 km² e, neste trecho, o rio faz a divisa molhada entre os municípios de Guarapuava, na margem direita, e Pinhão, na margem esquerda. A Figura 2 mostra a macrolocalização do empreendimento em relação ao estado do Paraná e, em destaque, a bacia hidrográfica do rio Iguaçu.

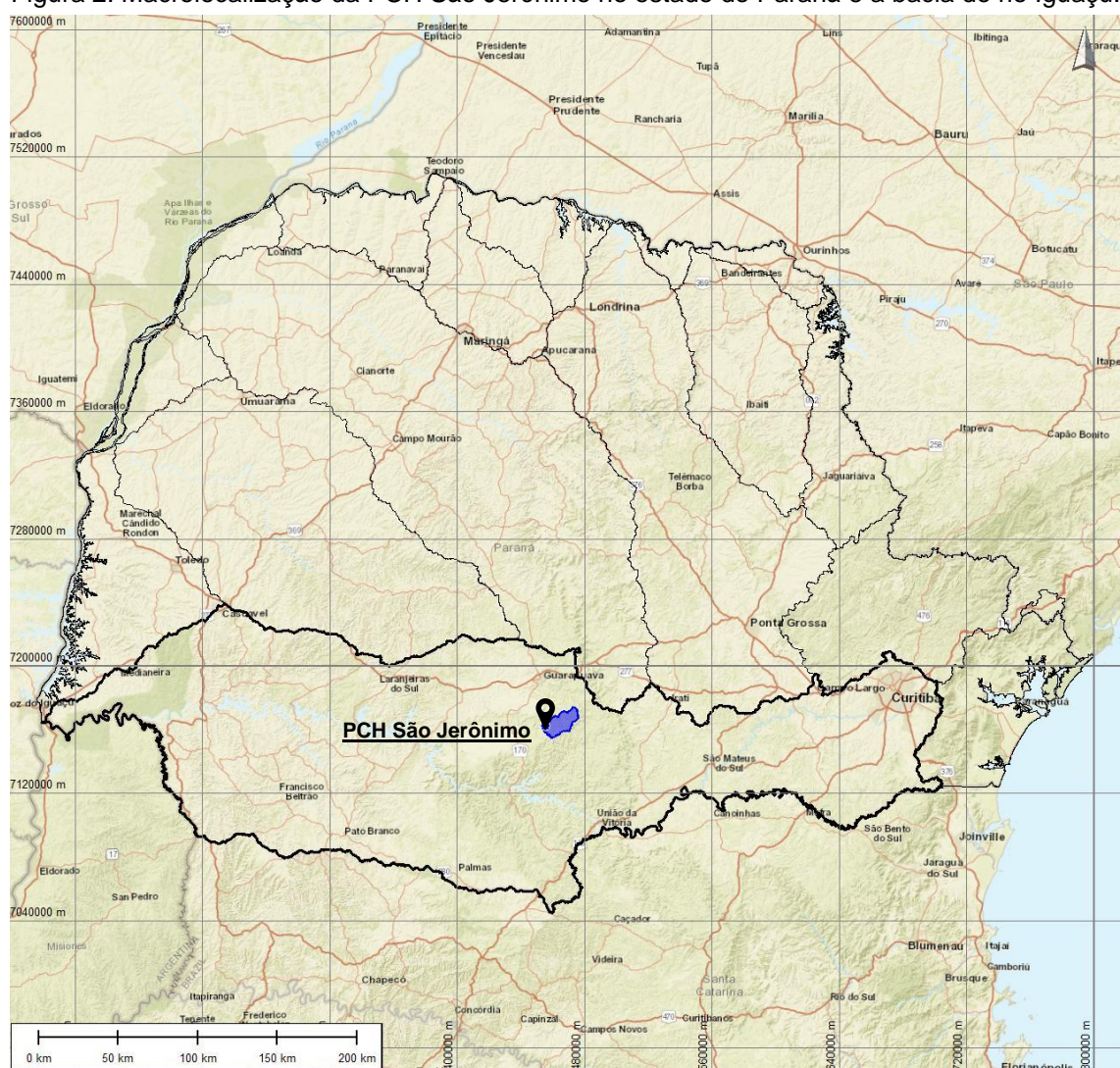


Figura 2: Macrolocalização da PCH São Jerônimo no estado do Paraná e a bacia do rio Iguaçu.



O acesso principal se dá pelo prolongamento da PR-540 (Av. Bento Munhoz da Rocha Neto) da Colônia Vitória, distrito de Entre Rios, município de Guarapuava – PR, onde se segue por estrada de chão por cerca de 7 km até se chegar ao sítio de obras jusante, onde se prevê a casa de força, e daí são mais 5 km até se chegar ao sítio de obras montante, na região da barragem.



Figura 3: Acesso ao sítio de implantação do empreendimento.

Fonte: Delta S Engenharia (2023).

O arranjo geral definido para a PCH São Jerônimo é do tipo derivativo, composto por uma barragem principal e uma secundária, que estão interligadas por canal a céu aberto. Do barramento principal inicia-se o circuito de geração pela tomada d'água, canal adutor a céu aberto, na margem direita do rio São Jerônimo, até se chegar à câmara de carga, que precede o túnel adutor, este que vai até um pequeno trecho de conduto forçado, casa de força e canal de fuga. Nesta configuração, o empreendimento terá uma queda bruta de 214,10 m e potência instalada de 15,50 MW.

Sua configuração encontra-se demonstrada na Figura 4.



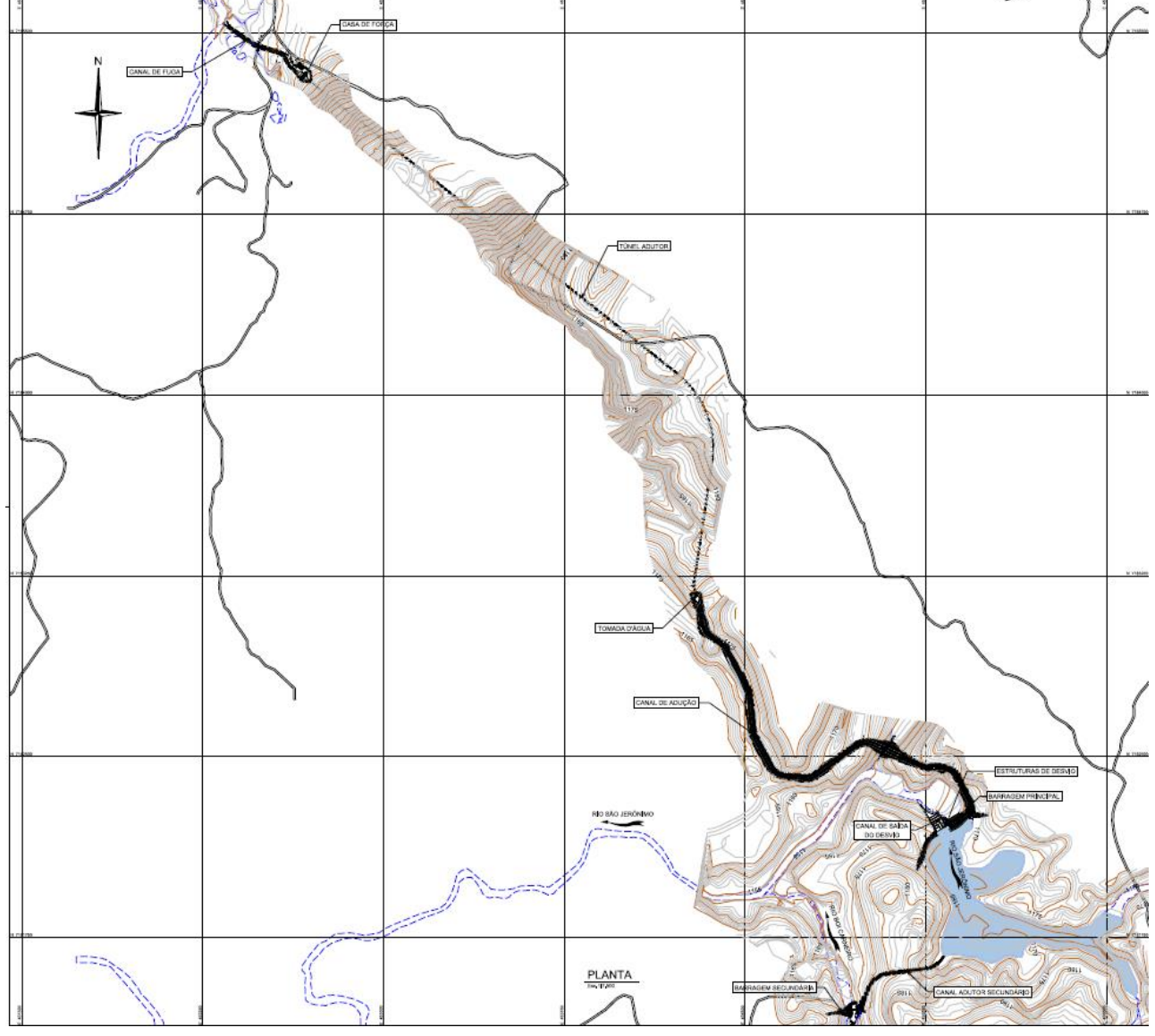


Figura 4: Arranjo geral da PCH São Jerônimo.

Fonte: GeoEnergy Engenharia (2022).

4.2 CARACTERIZAÇÃO FITOFISIONÔMICA

De acordo com o Sistema Brasileiro de Classificação da Vegetação (IBGE, 2012), a região do presente estudo encontra-se na unidade fitogeográfica denominada de Floresta Ombrófila Mista ("FOM"), também conhecida como Floresta com Araucária.

A FOM, segundo a classificação de Veloso et al. (1991), caracteriza-se por mesclar elementos de duas floras distintas, a tropical afrobrasileira e a temperada austrobrasileira. A fisionomia característica dessa tipologia florestal apresenta pinheiros (*Araucaria angustifolia*) emergindo por sobre um dossel contínuo, no qual destacam-se árvores pertencentes às espécies *Ocotea porosa* (imbuia), *Nectandra lanceolata* (canela-amarela), *Nectandra megapotamica* (canela-preta), *Cryptocarya aschersoniana* (canela-fogo), *Ocotea pulchella* (canela lageana), *Cupania vernalis* (cuvatã), *Matayba elaeagnoides* (miguel-pintado), entre outras (LEITE & KLEIN, 1990).



As florestas secundárias referentes à tipologia Floresta Ombrófila Mista, resultantes principalmente de alterações de origem humana, são caracterizadas pelas espécies *Mimosa scabrella* (bracatinga), *Ocotea puberula* (canela-guaicá), *Piptocarpha angustifolia* (vassourão-branco), *Vernonia discolor* (vassourão-preto) e *Casearia sylvestris* (cafezeiro-do-mato), entre outras (LEITE & KLEIN, 1990).

Em termos ecológicos, As FOM apresentam dois estratos formados pelas copas das árvores. O primeiro estrato é mais baixo e é formado pelas copas de todas as espécies de árvores angiospermas (plantas que produzem flores e frutos, além de sementes). O outro é o estrato formado pelas araucárias (*Araucaria angustifolia*), que são gimnospermas (plantas mais primitivas, que produzem sementes mas não flores nem frutos). O estrato das araucárias é quase sempre mais alto do que o estrato das angiospermas, o que faz das FOM sistemas de dois componentes (gimnospermas-angiospermas).

Dependendo do clima e da posição geográfica de sua localização, as FOM apresentam conjuntos diferentes de espécies de árvores. De modo geral, a maioria das espécies tem origem nas regiões tropicais da Mata Atlântica. Nas regiões mais altas e frias da Serra Geral, aumenta a abundância de espécies com origem no sul da América do Sul (incluindo as próprias araucárias), região também mais fria e que geologicamente esteve ligada à Antártica e à Oceania. Já nas regiões menos elevadas e que experimentam verões mais quentes e invernos menos frios, que não é o caso do presente estudo, a FOM apresenta muitas espécies com origem no Brasil central e leste, indicando um corredor de migração destas espécies desde o final do último período glacial.



Figura 5: Perfil da Floresta Ombrófila Mista predominante no entorno do rio São Jerônimo.

Fonte: Delta S Engenharia (2023).

4.3 USO DO SOLO

O uso e ocupação da Área Diretamente Afetada da PCH São Jerônimo divide-se entre remanescente florestal em estágio médio de regeneração, estrada, usos antrópicos (pastagem, acude e áreas de servidão), campo, várzeas e reflorestamento, conforme demonstra a Figura 6.





455500 Uso do solo Área (ha) Uso antrópico 7,17 17% ZOOM Remanescente florestal 22,28 0,03 0% 8,44 20% Várzea Reflorestamento 3,79 9% 0,70 2% Total 42,40 100% Legenda Uso do Solo - PCH São Jerônimo Acesso Campo Reflorestamento Remanescente florestal 400 m Uso antrópico 200 Várzea 454500

Figura 6: Uso e ocupação do solo no trecho montante na ADA da PCH São Jerônimo.





ZOOM Área (ha) Uso do solo 17% Uso antrópico 7,17 Legenda 22,28 Remanescente florestal Uso do Solo - PCH São Jerônimo Acesso 0,03 0% Acesso Várzea 8,44 20% Campo Reflorestamento 3,79 0,70 2% Reflorestamento Total 42,40 100% Remanescente florestal 100 Uso antrópico 200 m Várzea

Figura 7: Uso e ocupação do solo no trecho jusante na ADA da PCH São Jerônimo.





As fotos a seguir demonstram imagens do sobrevoo de drone realizado na região para validação dos usos do solo inicialmente mapeados por imagens de satélite.

Margem esquerda

Margem direita

Eixo do barramento

Figura 8: Croqui de localização do eixo do barramento.

Fonte: Delta S Engenharia (2023).

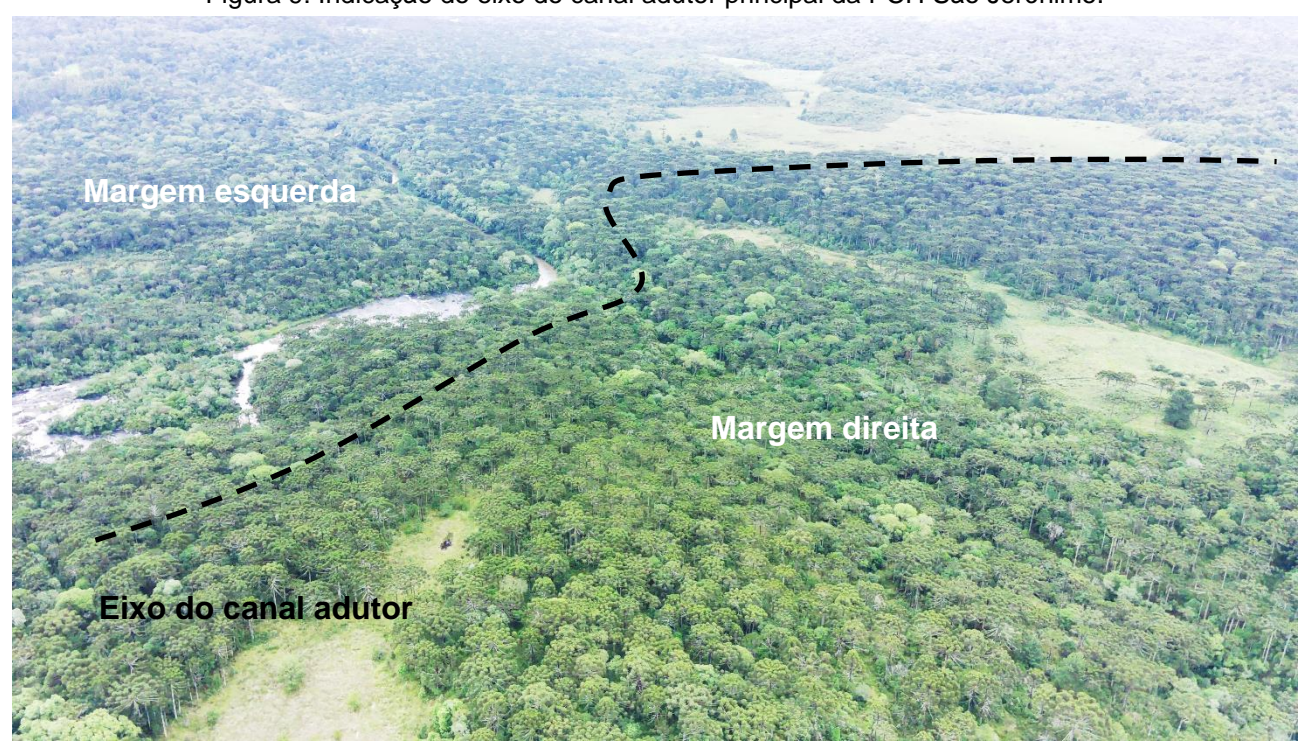


Figura 9: Indicação do eixo do canal adutor principal da PCH São Jerônimo.

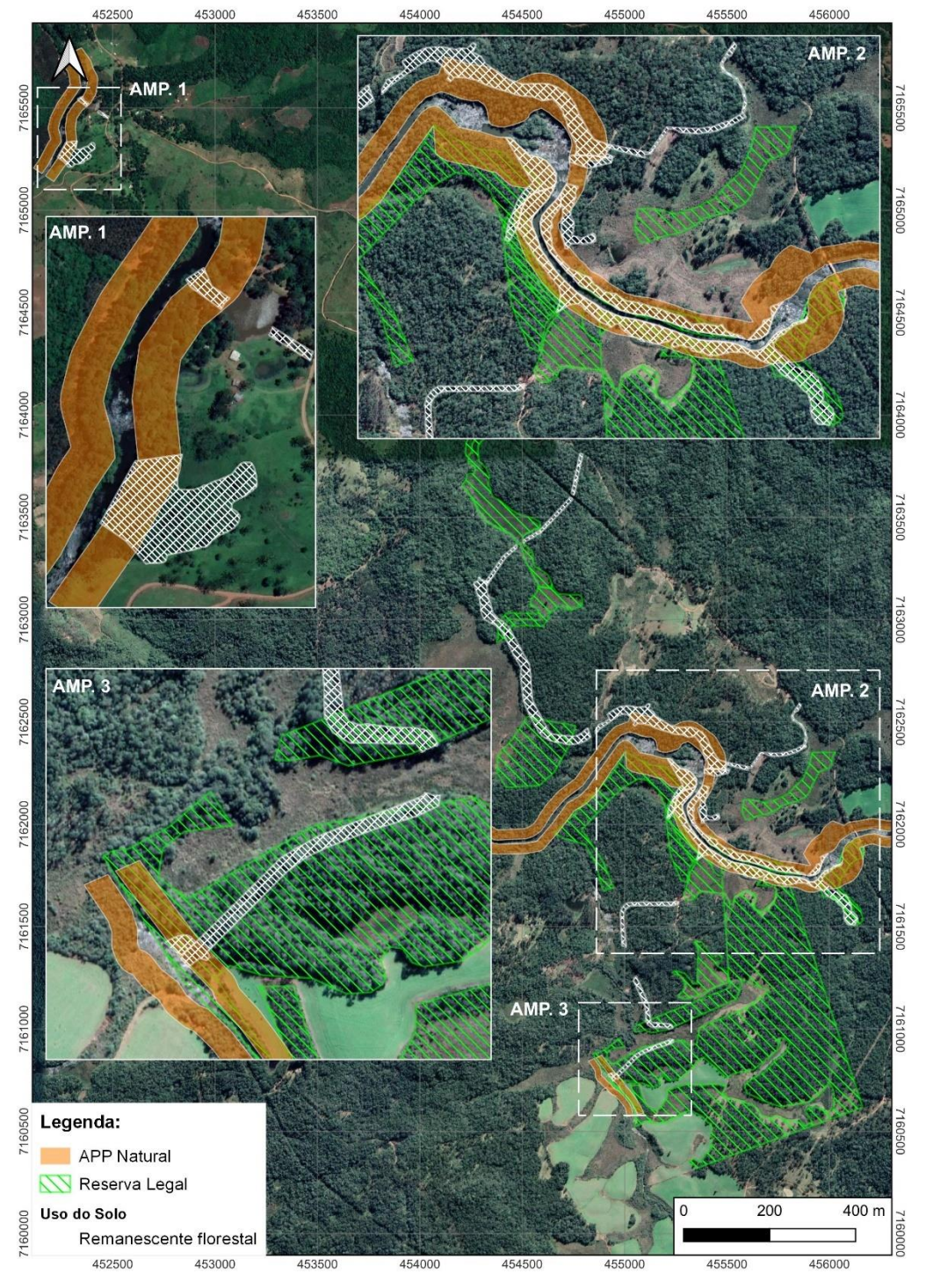




4.4 RESERVA LEGAL E APP

A Figura 10 demonstra as áreas onde o remanescente florestal que será suprimido para PCH São Jerônimo se sobrepõe à Reserva Legal e APP Natural dos imóveis atingidos pelo empreendimento.

Figura 10: Localização do remanescente florestal em relação à APP natural e Reserva Legal dos imóveis do entorno.







4.5 UNIDADE DE CONSERVAÇÃO

A PCH São Jerônimo não está inserida sobre a área de Unidades de Conservação, conforme dados obtidos do ICMBio. A mais próxima ao empreendimento tem seu limite 17 km a leste e se trata da Área de Proteção Ambiental Serra da Esperança.



Figura 11: Unidades de Conservação no entorno da PCH São Jerônimo.





No tocante às áreas estratégicas do estado do Paraná, apenas um pequeno trecho do canal adutor do empreendimento e seu acesso transpassam um corredor de remanescente florestal enquadradado como área de conservação, segundo o IAT, sendo que as demais estruturas estão integralmente inseridas sobre áreas estratégicas de restauração (Figura 12).

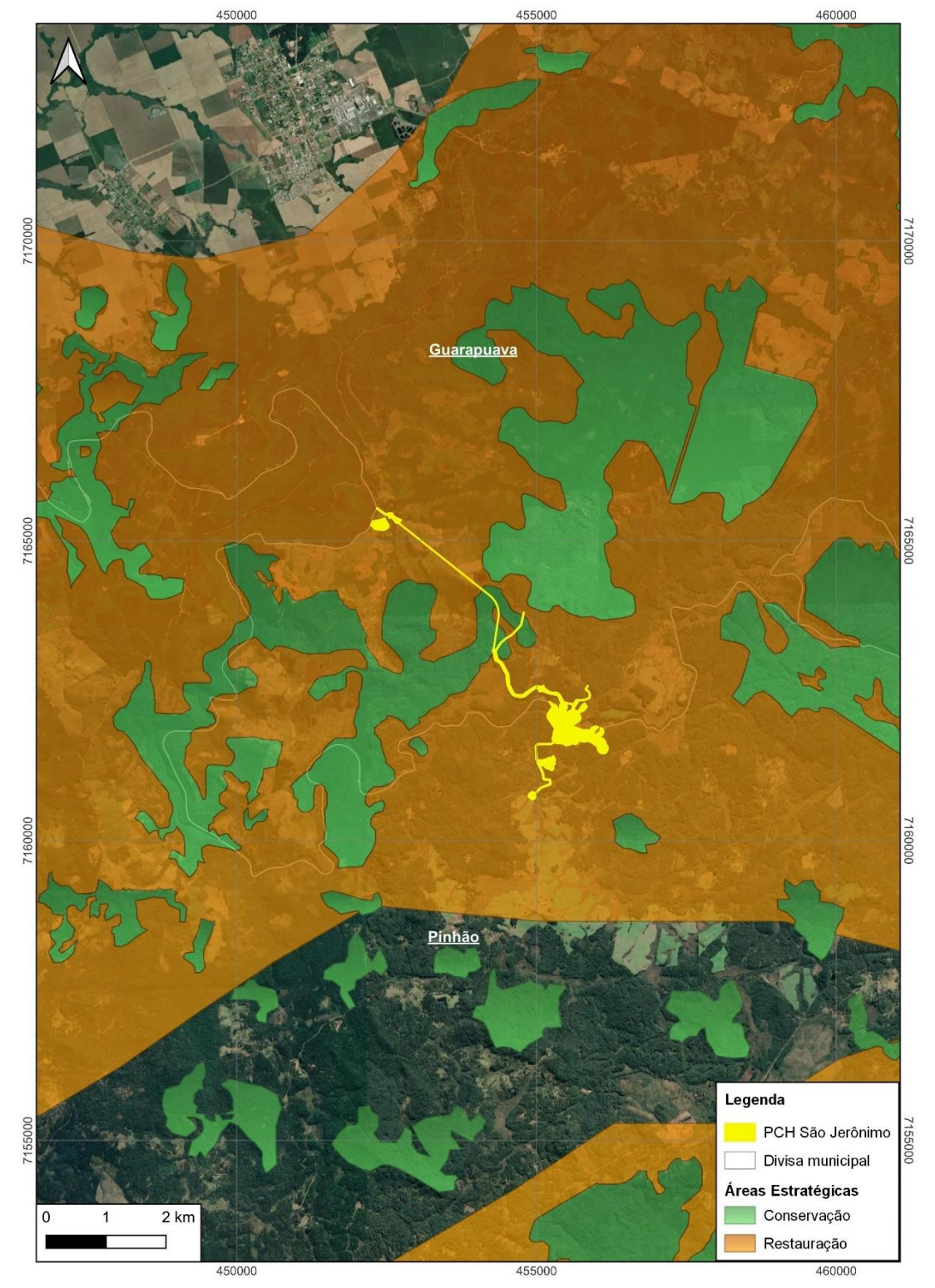


Figura 12: PCH São Jerônimo em relação às áreas estratégicas do estado do Paraná.

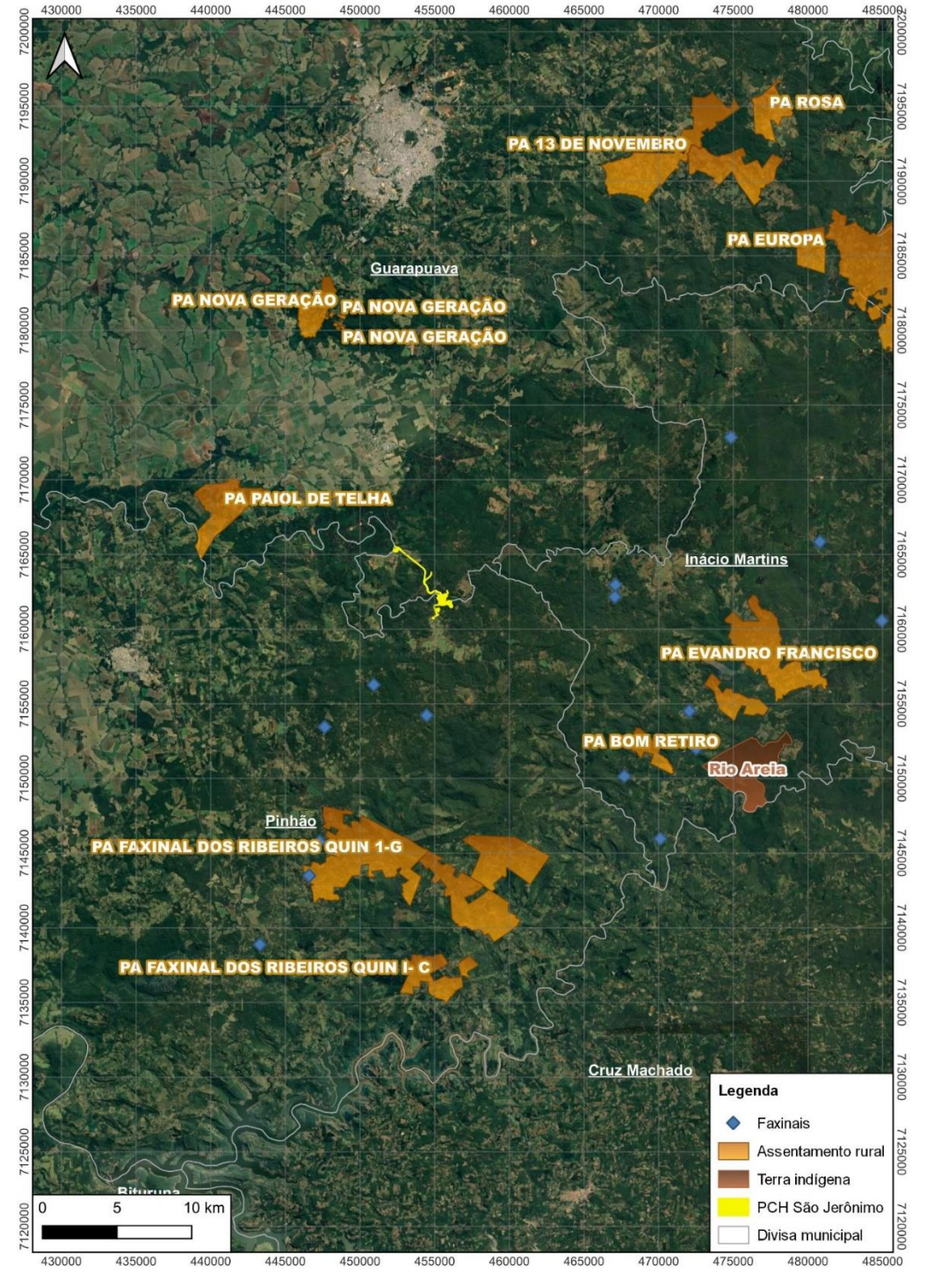




4.6 ÁREAS TRADICIONAIS E PROTEGIDAS

A PCH São Jerônimo não se sobrepõe ou transpassa áreas tradicionais e protegidas, relacionadas a territórios quilombolas, assentamentos rurais, terras indígenas, faxinais ou ilhéus, conforme demonstrado na Figura 13.

Figura 13: Planos de assentamento rural (PA), territórios quilombolas (TQ) e terras indígenas (TI) no entorno da PCH São Jerônimo.







5. METODOLOGIA

5.1 ANÁLISE FLORÍSTICA

O método empregado no trabalho de campo foi o "caminhamento", que consiste no reconhecimento dos tipos de vegetação na área amostrada e elaboração da lista das espécies encontradas a partir de caminhadas aleatórias ao longo de uma ou mais linhas imaginárias (FILGUEI-RAS et al., 1994) e amostragem por meio de parcelas, tanto para as formações florestais como para os campos e várzeas. Tudo isso com o objetivo de registrar as principais espécies vegetais presentes nas diferentes tipologias vegetacionais, incluindo espécimes de hábitos arbóreos, arbustivos, herbáceos, epífitas e plântulas das espécies arbóreas em processo de regeneração natural, atentando especialmente, para a eventual ocorrência de espécies raras, vulneráveis ou em perigo de extinção protegidas por lei, por meio da legislação ambiental vigente no estado do Paraná (SEMA/GTZ, 1995) e no Brasil (MMA, 2022).

Com auxílio de imagem foi realizado um caminhamento pela área, onde por meio de pontos amostrais foi realizada a delimitação das classes tipológicas presentes, sendo que a formação florestal nativa foi classificada por meio de pontos amostrais levando em consideração a Resolução CONAMA nº 2 de 1994.

A vegetação atual no local foi caracterizada com apoio de fichas de campo reunindo informações sobre quantidade de estratos arbóreos, altura dos estratos, presença e estado da serapilheira, presença de epífitas, presença de regeneração natural; além das principais espécies arbóreas, arbustivas e herbáceas ocorrentes. As tipologias também foram caracterizadas por meio de fotografias e os dados coletados em campo foram posteriormente processados em escritório.

Eventuais coletas de material botânico foram realizadas para confirmação e/ou determinação das espécies, sendo que para as identificações utilizou-se de literatura botânica específica (CARVALHO, 2003, 2006; FLORA DO BRASIL, 2021; LORENZI, 1992, 1998; LORENZI e SOUZA, 1999; SAUERISSIG, 2014). Possíveis alterações na nomenclatura botânica foram atualizadas com base na literatura e por meio do catálogo online do herbário Flora 2020 (FLORA DO BRASIL, 2022).

5.2 ESTUDO FITOSSOCIOLÓGICO

Fitossociologia é um ramo da ecologia que estuda as comunidades vegetais do ponto de vista florístico, ecológico, corológico (distribuição das comunidades) e histórico (BRAUN-BLAN-QUET, 1979). Esses estudos buscam uma representação quali-quantitativa de determinada comunidade vegetal, sendo apoiados basicamente pela taxonomia, além de outros parâmetros como os dendrométricos e os fitogeográficos.

A fitossociologia é capaz de fornecer uma visão representativa da composição florística e da estrutura da comunidade. Os principais parâmetros fitossociológicos utilizados para caracterizar a distribuição espacial das espécies e famílias que compõem uma comunidade são: Dominância Absoluta (DoA), Dominância Relativa (DoR), Densidade Absoluta (DA), Densidade Relativa (DR), Frequência Absoluta (FA), Frequência Relativa (FR), Índice de Valor de Importância (IVI), Índice de





Shannon-Weaver (H'), Equitabilidade (J) e Índice de Simpson (C) (MUELLER-DOMBOIS e ELLEN-BERG, 1974), conforme especificado abaixo.

Dominância

De acordo com Lamprecht (1990), a dominância é o grau de cobertura das espécies como expressão do espaço por elas requerido.

Dominância absoluta (DoA): Expressa a área basal de uma espécie na área e Dominância Relativa (DoR) é a relação, em percentagem, da basal de uma espécie pela área basal total de todas as espécies amostradas.

$$DoA_i = \frac{AB_i}{A}$$
; $DoR = \frac{DoA}{DoT} \times 100$; $DoT = \frac{ABT}{A}$; $ABT = \sum_{i=1}^{S} AB_i$

em que:

DoAi = dominância absoluta da i-ésima espécie, em m²/ha;

ABi = área basal da i-ésima espécie, em m², na área amostrada;

A =área amostrada, em hectare;

DoRi = dominância relativa (%) da i-ésima espécie;

DoT = dominância total, em m²/ha (soma das dominâncias de todas as espécies).

Densidade absoluta (DA) e Densidade relativa (DR)

A densidade absoluta considera o número de indivíduos de uma determinada espécie na área. A Densidade Relativa é a relação entre o número de indivíduos de uma espécie e o número de todas as espécies expresso em percentagem.

$$DA_i = \frac{n_i}{A}$$
; $DR_i = \frac{DA_i}{DT} \times 100$; $DT = \frac{N}{A}$

onde:

DAi = densidade absoluta da i-ésima espécie, em número de indivíduos por hectare;

ni = número de indivíduos da i-ésima espécie na amostragem;

N = número total de indivíduos amostrados;

A =área total amostrada, em hectare;

DRi = densidade relativa (%) da i-ésima espécie;

DT = densidade total, em número de indivíduos por hectare (soma das densidades de todas as espécies amostradas).

Este parâmetro informa a densidade, em números de indivíduos por unidade de área, com que a espécie ocorre no povoamento. Assim, maiores valores de *DAi* e *DRi* indicam a existência de um maior número de indivíduos por hectare da espécie no povoamento amostrado.

Frequência Absoluta (FA) e Relativa (FR)





É um atributo da probabilidade de encontrar um ou mais indivíduos em uma unidade amostral particular. Se expressa como porcentagem do número de unidades amostrais em que os atributos aparecem em relação com o número total de unidades amostrais (OOSTING, 1951; LAM-PRECHT, 1964; MATTEUCCI e COLMA, 1982).

Para Mueller-Dombois e Ellenberg (1974) a frequência relativa é a proporção, expressa em porcentagem, entre a frequência absoluta de cada espécie e a frequência absoluta total (soma das frequências absolutas de todas as espécies) por unidade de área.

$$FA_i = \left(\frac{u_i}{u_t}\right) \times 100 \; ; FR_i = \left(\frac{FA_i}{\sum_{i=1}^P FA_i}\right) \times 100$$

em que:

FAi = freqüência absoluta da i-ésima espécie na comunidade vegetal;

FRi = freqüência relativa da i-ésima espécie na comunidade vegetal;

ui = número de unidades amostrais em que a i-ésima espécie ocorre;

ut = número total de unidades amostrais;

P = número de espécies amostradas.

Valor de Cobertura (VC)

É obtido pelo somatório da densidade relativa e dominância relativa, permitindo representar numericamente a porcentagem aproximada da cobertura de cada espécie e de cada grupo de espécies nos distintos estratos de vegetação de uma comunidade, com isso se conhece melhor a importância sociológica das distintas espécies (BRAUN-BLANQUET, 1979). Este índice é dado pelo somatório da densidade e a dominância relativa (DR e DoR).

$$VC_i = DR_i + DoR_i$$

 $VC_i(\%) = \frac{VC_i}{2}$

Valor de Importância (IVI)

É a soma dos valores relativos de densidade, frequência e dominância de uma espécie, sendo seu valor máximo 300. Esse valor demonstra a representatividade desta espécie dentro da comunidade (CURTIS e MCINTOSH, 1951).

$$VI_{i} = DR_{i} + DoR_{i} + FR_{i}$$
$$VI_{i}(\%) = \frac{VI_{i}}{3}$$

Índice de diversidade de Shannon (H')

O Índice de Diversidade de Shannon (H') é o mais utilizado para avaliar a diversidade de comunidades vegetais, e é calculado pela seguinte expressão:





$$H' = -\sum_{i=1}^{S} p_i . \ln(p_i)$$

em que: H' = Índice de diversidade de Shannon; p_i = número de indivíduos amostrados da i-ésima espécie, dividido pelo número total de indivíduos amostrados; S = número total de espécies amostradas; ln = logaritmo neperiano.

O Índice de Shannon expressa a importância relativa de cada espécie entre espécies e indivíduos, atribuindo maior peso às espécies raras. Quanto maior o valor de H', maior será a diversidade florística da comunidade avaliada. Portanto, esse índice é um bom indicativo da riqueza de espécies de uma comunidade arbórea

Equitabilidade (J')

Outro índice calculado para avaliar a diversidade da comunidade arbórea foi o Índice de Diversidade Máxima (H'_{max}). Esse índice pode ser obtido por meio da seguinte expressão:

$$H'_{max} = ln(S)$$

em que: S = número total de espécies amostradas; ln = logaritmo neperiano.

A diversidade de uma comunidade é máxima quando o número total de espécies amostradas (S) é igual ao número total de indivíduos (N), é dizer, quando todas as espécies apresentam a mesma abundância.

A partir do cálculo dos índices de diversidades (H' e H'_{max}) foi possível calcular o Índice de Equabilidade de Pielou, usado para avaliar a uniformidade de comunidades vegetais, obtido a partir da seguinte expressão:

$$J = \frac{H'}{H'_{max}}$$

O Índice de Equabilidade de Pielou pode variar de 0 a 1, tal que quanto mais próximo de 1, maior uniformidade da comunidade arbórea, indicando que todas as espécies são igualmente abundantes, ou seja, representadas pelo mesmo número de indivíduos.

Índice de Simpson (C)

O Índice de dominância de Simpson mede a probabilidade de dois indivíduos, selecionados ao acaso na amostra, pertencer à mesma espécie (BROWER & ZARR, 1984, p.154).

Uma comunidade de espécies com maior diversidade terá uma menor dominância. O valor estimado de C varia de 0 (zero) a 1 (um), sendo que para valores próximos de um, a diversidade é considerada maior.

$$C = \sum_{i=1}^{s} p_i^2$$

onde pi é a proporção de cada espécie, para i variando de 1 a S (riqueza) e pi é a frequência da espécie i.





5.3 INVENTÁRIO FLORESTAL

A área em estudo foi avaliada com o auxílio de imagens de satélite registradas no ano de 2022, na qual foi locada a área em interesse para a supressão vegetal (Área Passível de Supressão – APS). Os trabalhos de campo foram realizados no mês de janeiro de 2023, conduzidos em campo por um engenheiro florestal e um auxiliar, e com suporte de um engenheiro ambiental em escritório.

Com auxílio das imagens de satélite e plataforma SIG (Sistema de Informações Geográficas) foi elaborado um mapa temático, o qual foi checado em campo para conferência da exatidão das classes de uso do solo identificadas e atualmente presentes. As imagens a seguir demonstram a abrangência da APS nos trechos Jusante e Montante do aproveitamento.

ADA - PCH São Jerônimo Uso do Solo - PCH São Jerônimo Remanescente florestal

Figura 14: Abrangência da APS, no trecho Jusante, da PCH São Jerônimo.







Figura 15: Abrangência da APS, no trecho Montante, da PCH São Jerônimo.

Fonte: Delta S Engenharia (2023).

O sistema de análise estabelecido para a formação florestal presente foi de parcelas amostrais com área fixa (200 m²), sendo que esta área foi definida pelas características da formação florestal presente, que está predominante as margens do rio em forma fragmentada e no geral em uma faixa estreita, entre áreas de campos e banhados.

No interior das parcelas amostrais estabelecidas todos os indivíduos presentes com porte acima de 5 cm de Diâmetro a Altura do Peito (DAP) tiveram os dados de espécie, altura comercial, altura total, coordenadas UTM da parcela e dos indivíduos contabilizados anotadas. Também foram colocadas plaquetas com o número de cada árvore inventariada dentro das amostras (Figura 16).





Figura 16: Registro da delimitação da parcela com a trena (1), identificação dos indivíduos (2), registro do CAP (3) e estimativa de altura (4).



As parcelas para o inventário amostradas foram organizadas em tabelas quantitativas, apresentando o número de indivíduos estimados na área, a espécie, o volume comercial, o volume residual e o volume total.

Para o cálculo de volume de madeiras foram utilizadas duas fórmulas ajustadas para a tipologia de Floresta Ombrófila Mista, citadas a seguir (SCOLFORO, J. R. et al; 2008):

$$\ln VT_{CC} = -9,8815245325 + \left(1,690954869 * (\ln DAP)\right) + \left(1,1822679332 * (\ln H)\right)$$

onde VTcc é o volume total com casca, DAP é o diâmetro na altura do peito e H a altura total do indivíduo.

$$\ln VF_{CC} = -9,8815245325 + \left(1,690954869 * (\ln DAP)\right) + \left(1,1822679332 * \left(\ln H_f\right)\right)$$





onde VFcc é o volume total com casca, DAP é o diâmetro na altura do peito e Hf a altura do fuste do indivíduo.

O volume de lenha foi obtido descontando o volume total do volume de fuste.

A separação entre o que foi considerado lenha ou tora seguiu a Portaria IAT n^0 300/2022, a qual dispõe que dimensões igual ou abaixo de 25 cm de DAP devem ser estabelecidas como galhada e acima de 25 cm de DAP como tora.



6. ANÁLISE FLORÍSTICA

Na área afetada pelo empreendimento as tipologias vegetais são classificadas em Floresta Ombrófila Mista Aluvial, Formações Pioneiras (campos e várzeas) e Uso Antrópico.

6.1 FLORESTA OMBRÓFILA MISTA ALUVIAL

A formação aluvial é dominante na área passível de supressão pelo empreendimento abrangendo 22,23 ha, equivalente a 53% do total das classes de uso do solo.

Esta tipologia atualmente encontra-se no estágio médio de sucessão secundária (CO-NAMA, 1994), tendo sido classificada dessa forma por possuir as seguintes características:

- Dois estratos arbóreos;
- Altura média de 7,4 m (variando de 5 a 18 m);
- DAP médio de 13,5 cm;
- Poucas epífitas;
- Poucas lianas herbáceas;
- Lianas lenhosas raras;
- Poucas gramíneas;
- Serrapilheira desuniforme de espessura média e;
- Pouca regeneração de árvores do dossel.

A formação florestal no geral apresenta ainda algumas características que demonstram que já esteve em estágio avançado, porém já foi intensamente explorada economicamente e, portanto, sofreu alterações em sua estrutura, o que foi também relatado por moradores antigos da região.

Figura 17: Floresta Ombrófila Mista Aluvial na Parcela 6 (a) e registro da conversa com o Sr. Edoel, morador há mais de 30 anos da região (b).









Ao longe podem ser observadas os indivíduos de *Araucaria angustifolia* emergentes com alturas que ultrapassam o dossel podendo passar de 18 metros. No dossel a altura das espécies que o compõe ficam em torno de 16 m, estando entre as espécies observadas *Clethra scabra* (carne-de-vaca), *Ilex dumosa* (caúna), *Araucaria angustifolia* (pinheiro-do-Paraná), *Cryptocarya aschersoniana* (canela-fogo) e *Gymnanthes klotzschiana* (branquilho). No estrato inferior ocorrem: *Podocarpus lambertii* (pinheiro-bravo), *Ilex taubertiana* (caúna-da-serra), *Clethra scabra* (carne-devaca), *Araucaria angustifolia* (pinheiro-do-Paraná) e *Cryptocarya aschersoniana* (canela-fogo).

Na regeneração estão presentes *Gymnanthes klotzschiana* (branquilho), Myrciaria tenella (guamirim), *Eugenia uniflora* (pitanga), *Tibouchina sellowiana* (quaresmeira) e *Ilex paraguariensis* (erva-mate).

O estrato herbáceo possui como espécies representativas *Chaptalia nutans*, *Mikania micrantha*, *Smilax cognata*, *Serjania laruotteana* e *Passiflora actinia*.

As epífitas observadas ocorreram de forma esparsa estando entre elas *Aechmea disti*chantha, *Aechmea recurvata*, *Tillandsia stricta*, *Tillandsia usneoides*, *Rhipsalis teres* e *Capanemia* australis.

6.2 FORMAÇÕES PIONEIRAS

São tipologias de vegetação natural que não se enquadram nas formações florestais, apresentando fitofisionomia campestre, predominantemente causada pela associação de espécies herbáceo-arbustivas. Nas formações pioneiras foram agrupadas as classes de campo e Formações Pioneiras com Influência Fluvial (várzea), e os pontos de amostragem pela equipe em campo estão demonstrados na Figura 18.



Figura 18: Pontos de amostragem das regiões de campo e várzeas na ADA da PCH São Jerônimo.

Fonte: Delta S Engenharia (2023).



Várzea



6.2.1 ESTEPE GRAMÍNEO-LENHOSA

Estes campos secos são constituídos por um tipo de vegetação predominantemente herbácea, formada por representantes das famílias das gramíneas, ciperáceas, leguminosas, verbenáceas, compostas e umbelíferas (KLEIN, 1962).

De modo geral, o clima dos campos se caracteriza por apresentar período frio de 3 a 8 meses e um período quente de zero a 3 meses, com chuvas bem distribuídas durante o ano. Outro aspecto a ser considerado é o relevo e a litologia, que influenciam significativamente a distribuição de água no solo, sendo que os campos vinculam-se com zonas de infiltração hídrica e recarga, em superfícies mais aplainadas (LEITE, 1994). Apesar das formações vegetais de fisionomia predominante campestres estarem em geral sobre perfis rasos e arenosos, ou hidromórficos, a Estepe Gramíneo-lenhosa também pode ocupar solos mais desenvolvidos. Também é característico destes campos o alto índice de evapotranspiração, resultante principalmente, da intensidade e freqüência dos ventos, que são ampliados durante o verão (IBGE, 1992).

Estes campos, formação anterior às florestas, refletem um clima pretérito mais rigoroso (BIGARELLA, 1964; MAACK, 2002), que seria capaz de restringir o desenvolvimento das espécies arbóreas, enquanto a vegetação campestre predominaria ocupando grandes áreas, muito mais secas do que atualmente.

Após as glaciações do Quaternário (BIGARELLA, 1964), antigos encraves florestais, cujo desenvolvimento foi proporcionado a partir do gradativo aumento das precipitações, muito lentamente e sem contar com o efeito do fogo, reiniciaram o processo de expansão sobre as áreas campestres. O processo de substituição vegetal, advinda de uma mudança climática, parece fazer parte de uma contínua e lenta transformação das condições desérticas do fim do Triássico (RAMBO, 1953).

A Floresta Ombrófila Mista cerca ou atravessa os campos, que no contato direto, podese evidenciar grande número de exemplares jovens de *Araucaria angustifolia*, entre outras, irradiando-se e avançando sobre os campos. Também *Butia eriosphata*, pode ser encontrada isolada ou em pequenos núcleos (KLEIN, 1962; MAACK, 2002).

Figura 19: Formação campestre inicial com *Baccharis dracunculifolia* (arbusto maior ao fundo), *Baccharis uncinella* e *Aristida* sp. (a), Vegetação campestre em estágio inicial com *Psidium australe*, *Eriosma sp.*, *Cyperus sp.* e *Andropogon cf. lateralis* (b)

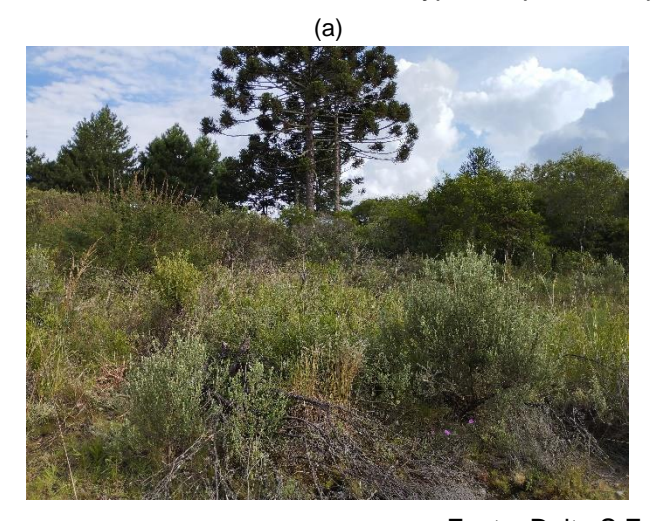
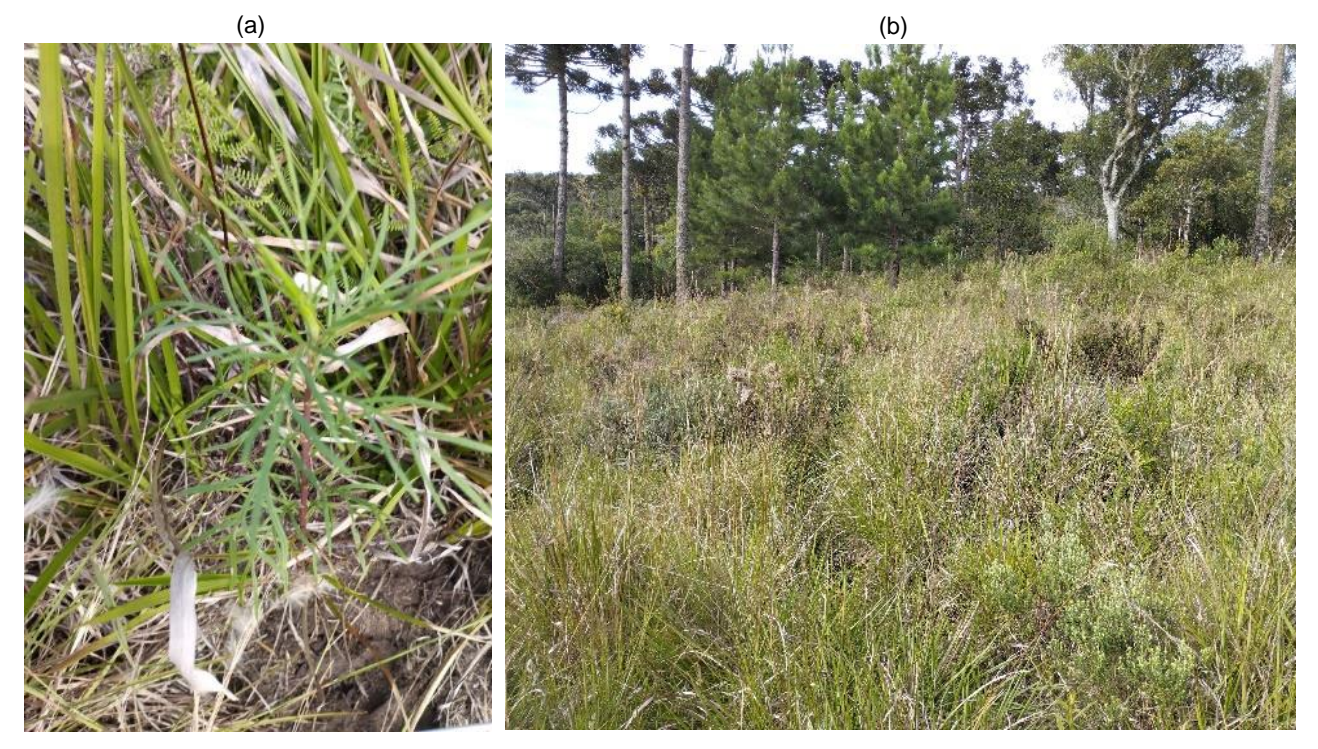








Figura 20: *Pteridium aquilinum* (samambaia-das-taperas) e *Senecio brasiliensis* (flor-das-almas) em (a) e Campo com predomínio de *Andropogon* sp. e também com a presença de *Baccharis uncinella* e *Pteridium aquilinum* em (b).



Fonte: Delta S Engenharia (2023).

Nos campos predominam os agrupamentos herbáceos formados por Gramíneas, Ciperáceas, Compostas, Leguminosas e Verbenáceas, imprimindo um aspecto de "campos limpos"; no entanto, não se pode dissociá-los da ocorrência maior ou menor dos "campos sujos", onde predominam *Baccharis gaudichaudiana* (carqueja-do-campo), *Baccharis uncinella* (vassoura-lageana), *Eryngium* spp (caraguatás) e *Pteridium aquilinum* (samambaia-das-taperas).

Segundo MAACK (2002), no Estado do Paraná ocorrem cinco regiões de campos distintas: Campos de Curitiba e de Castro (no Primeiro Planalto), Campos Gerais (no Segundo Planalto), Campos de Guarapuava, Laranjeiras do Sul e de Palmas (no Terceiro Planalto).

A resolução CONAMA nº 423/2010 dispõe sobre os parâmetros básicos para a identificação e análise da vegetação primária e dos estágios sucessionais da vegetação secundária nos Campos de Altitude associados ou abrangidos pela Mata Atlântica. De acordo com Art. 3º a vegetação campestre está classificada como estágio inicial devido as características de: vegetação campestre com porção subterrânea incipiente ou ausente; representatividade das espécies exóticas ou ruderais corresponde a mais de 50% da cobertura vegetal viva, ausência de espécies raras e endêmicas e a presença das espécies indicadoras *Pteridium aquilinum* (samambaia-das-taperas), *Senecio brasiliensis* (flor-das-almas) e *Baccharis crispa* (carqueja). Na área também foram observadas as espécies exóticas invasoras *Brachiaria* sp. (capim-braquiária) e *Eragrostis plana* (capim-anoni).

6.2.2 FORMAÇÕES PIONEIRAS COM INFLUÊNCIA FLUVIAL (VÁRZEA)

De acordo com o IBGE (1992), estas áreas são compostas por comunidades vegetais em planícies aluviais, decorrentes da influência do extravasamento dos rios nas épocas de cheia,





ou porções do terreno sob constante inundação. As diferenças quanto ao grau de alagamento ou quanto à drenagem do terreno, determina os grupos vegetais que se instalarão, variando desde as hidrófitas, nas áreas permanentemente alagadas, até as comunidades campestres ou arbóreo/arbustivas, nos terrenos mais enxutos, ou periodicamente alagados.

Figura 21: Várzea com a presença de *Andropogon* sp. e *Pteridium aquilinum* (a), Predomínio de *Andropogon* cf. selloanus na várzea em (b)





Fonte: Delta S Engenharia (2023).

Estes tipos vegetacionais desenvolvem-se sobre as planícies aluviais e várzeas dos rios paranaenses, bem como sobre as áreas de influência flúvio-lacustres (lagoas), tanto no planalto quanto na planície litorânea. Quando os rios elevam o nível das águas, durante as cheias, depositam sedimentos inclusive nutrientes que tornam o solo fértil, não obstante ocorram depressões periodicamente encharcadas. Desta forma, a água em excesso torna-se um elemento seletivo para a vegetação e restritivo para as arbóreas, dando origem a fisionomias marcadamente peculiares, e espécies mais especializadas.

Figura 22: Várzea na ADA com ocorrência de *Andropogon virgatus* e Andropogon *lateralis* (a) e Várzea com presença de *Axonopus polystachyus*, *Arundinella hispida*, *Eriocaulon sp.* e *Heteranthera reniformis* em (b).





Fonte: Delta S Engenharia (2023).

As várzeas na ADA do empreendimento encontram-se fortemente alteradas com sinais de antropismo principalmente pela atividade de bovinocultura. As espécies que mais ocorrem são





Andropogon cf. selloanus, Andropogon virgatus, Andropogon lateralis, Pteridium aquilinum, Axonopus polystachyus, Arundinella hispida, Eriocaulon sp. e Heteranthera reniformis.

6.3 USO ANTRÓPICO

A região como um todo é marcada por grande interferência antrópica, seja para abertura de áreas para lavoura mecanizada, pastagem e reflorestamento. Bem próximo ao empreendimento, mas sem afetação direta, à montante do fim do reservatório, existe o Aka Lodge, empreendimento de turismo rural, que dispõe de cabanas de luxo para hospedagem de clientes interessados em ter uma experiência junto à natureza, com atividades de pesca recreativa, café colonial e até caiaque no rio São Jerônimo.

Figura 23: Áreas de reflorestamento, ao fundo, previsto como bota-fora do canal adutor auxiliar e Aka Lodge, empreendimento referência de turismo rural na região.



Fonte: Delta S Engenharia (2023).

Figura 24: Campos antropizados com invasão de exóticas ao fundo (a) e lavoura mecanizada vizinha ao acesso de montante.







7. ANÁLISE FITOSSOCIOLÓGICA

A comunidade vegetacional foi submetida à análise fitossociológica por meio do método de parcelas, sendo alocadas 11 parcelas amostrais de 200 m² (10 m x 20 m), distribuídas na Floresta Ombrófila Mista Aluvial em Estágio Médio de Sucessão Ecológica, conforme demonstra a Figura 25.

800 m 456000

Figura 25: Localização das parcelas amostrais em relação à PCH São Jerônimo.





Para a formação florestal foram medidos todos os indivíduos que apresentavam CAP (Circunferência à Altura do Peito) igual ou superior a 15,5 cm. A partir destas medidas, calculou-se o DAP (Diâmetro à Altura do Peito), dividindo os valores por π (pi). Cada indivíduo amostrado foi identificado, medido o perímetro, estimada a altura total e registrada a posição sociológica em que ocorria (estrato superior, intermediário e inferior). Essas informações levantadas são essenciais para inferir sobre as espécies, mediante o uso de descritores fitossociológicos, como a densidade, a dominância, a frequência e o valor de importância, que foram na sequência calculados a partir de planilhas eletrônicas.

O total da área em estudo é de 2.200 m², equivalente a 0,010% da Área Passível de Supressão.

A curva de suficiência amostral demonstra que 11 parcelas foram suficientes para representação da comunidade vegetal em estudo, indicando que a composição florística e a densidade de árvores por espécies estão adequadamente amostradas.

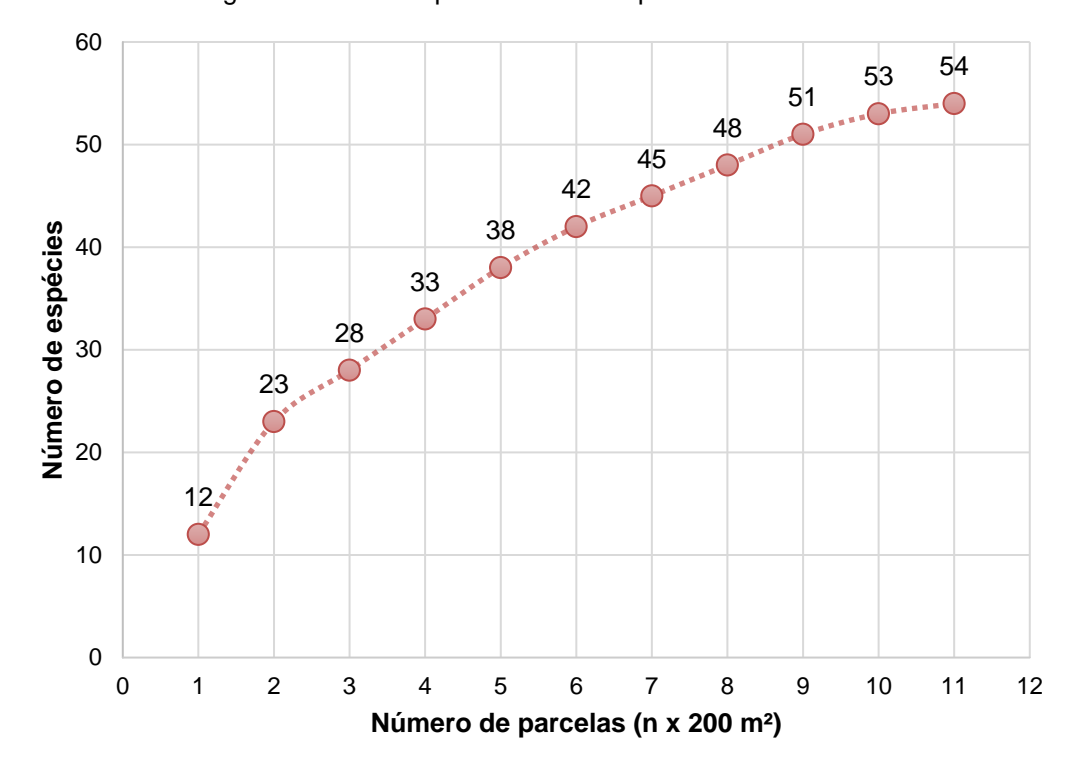


Figura 26: Curva espécie x área das parcelas realizadas.

Fonte: Delta S Engenharia (2023).

Considerando que o eixo X refere-se ao número de parcelas (área) amostradas, cada uma com 200 m² e o eixo Y trata-se do número de espécies amostradas acumulada, pôde-se observar que a curva começou a estabilizar a partir da nona parcela, mostrando uma desaceleração, reduzindo o número de espécies novas sequencialmente em 2 e 1 nas parcelas seguintes, mostrando sinais de estabilização.

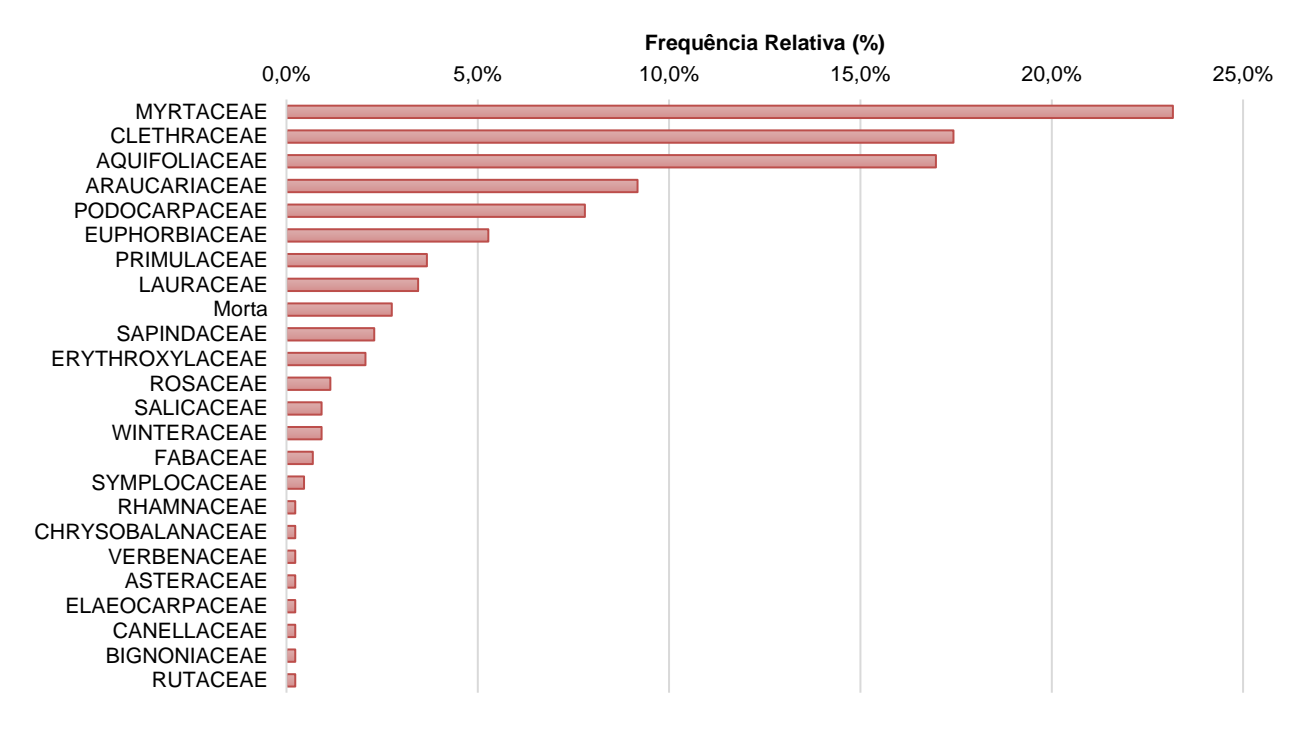
Nas parcelas estabelecidas foram amostrados um total de 436 indivíduos pertencentes a 54 espécies referentes a 23 famílias botânicas, distribuídos conforme Tabela 1 e Figura 27 a seguir.



Tabela 1: Famílias	encontradas nas	parcelas	realizadas na	FOM Aluvial
i abola i.i allilliao	oriooritiaaaao riao	parodiao	Tounzada Ha	I OIVI / Wavian.

Família	Número de Indivíduos	%
MYRTACEAE	101	23,2%
CLETHRACEAE	76	17,4%
AQUIFOLIACEAE	74	17,0%
ARAUCARIACEAE	40	9,2%
PODOCARPACEAE	34	7,8%
EUPHORBIACEAE	23	5,3%
PRIMULACEAE	16	3,7%
LAURACEAE	15	3,4%
Morta	12	2,8%
SAPINDACEAE	10	2,3%
ERYTHROXYLACEAE	9	2,1%
ROSACEAE	5	1,1%
SALICACEAE	4	0,9%
WINTERACEAE	4	0,9%
FABACEAE	3	0,7%
SYMPLOCACEAE	2	0,5%
RHAMNACEAE	1	0,2%
CHRYSOBALANACEAE	1	0,2%
VERBENACEAE	1	0,2%
ASTERACEAE	1	0,2%
ELAEOCARPACEAE	1	0,2%
CANELLACEAE	1	0,2%
BIGNONIACEAE	1	0,2%
RUTACEAE	1	0,2%
TOTAL	436	100%

Figura 27: Frequência relativa das famílias encontradas nas parcelas realizadas na FOM Aluvial.



Fonte: Delta S Engenharia (2023).

A seguir são apresentados os indicadores fitossociológicos por espécies cadastradas e respectivos gráficos representativos, ordenados pelo número de indivíduos identificados.





Tabela 2: Estrutura horizontal das parcelas realizadas na FOM Aluvial em Estágio Médio.

Nome científico	Nome vulgar	N	DA	DR	FA	FR	DoA	DoR	VC (%)	VI (%)
Clethra scabra	carne-de-vaca	76	345,5	17,43	63,6	4,90	3,96	7,66	12,55	10,00
Araucaria angustifolia	pinheiro-do-Paraná	40	181,8	9,17	90,9	6,99	13,80	26,71	17,94	14,29
Podocarpus lambertii	pinheiro-bravo	34	154,5	7,80	54,5	4,20	3,29	6,36	7,08	6,12
Campomanesia xanthocarpa	guabiroba	28	127,3	6,42	90,9	6,99	1,28	2,47	4,45	5,30
Ilex brevicuspis	congonha	27	122,7	6,19	72,7	5,59	1,51	2,92	4,56	4,90
Ilex paraguariensis	erva-mate	24	109,1	5,50	72,7	5,59	1,24	2,39	3,95	4,50
Gymnanthes klotzschiana	branquilho	23	104,5	5,28	45,5	3,50	3,31	6,40	5,84	5,06
Myrsine loefgrenii	capororoca	15	68,2	3,44	45,5	3,50	0,92	1,78	2,61	2,90
Morta	Morta	12	54,5	2,75	18,2	1,40	2,34	4,52	3,64	2,89
Ilex taubertiana	caúna-da-serra	11	50,0	2,52	45,5	3,50	1,85	3,57	3,05	3,20
Myrceugenia glaucescens	guamirim-branco	11	50,0	2,52	36,4	2,80	1,08	2,10	2,31	2,47
Myrciaria tenella	camboim	11	50,0	2,52	9,1	0,70	0,65	1,25	1,89	1,49
Allophylus edulis	vacum	10	45,5	2,29	9,1	0,70	0,33	0,64	1,47	1,21
Gomidesia hartwegiana	guamirim	10	45,5	2,29	27,3	2,10	1,06	2,05	2,17	2,15
Erythroxylum argentinum	cocão	9	40,9	2,06	45,5	3,50	0,59	1,14	1,60	2,24
Ilex dumosa	caúna	9	40,9	2,06	54,5	4,20	1,95	3,76	2,91	3,34
Myrcia guianensis	guamirim-branco	7	31,8	1,61	9,1	0,70	0,26	0,51	1,06	0,94
Myrcia selloi	guamirim	6	27,3	1,38	27,3	2,10	0,46	0,89	1,13	1,45
Eugenia uruguayensis	guabijú	5	22,7	1,15	36,4	2,80	0,71	1,37	1,26	1,77
Cryptocarya aschersoniana	canela-fogo	5	22,7	1,15	27,3	2,10	2,74	5,31	3,23	2,85
Prunus brasiliensis	pessegueiro-bravo	5	22,7	1,15	27,3	2,10	0,85	1,64	1,39	1,63
Eugenia involucrata	cerejeira	4	18,2	0,92	18,2	1,40	0,14	0,27	0,59	0,86
Myrcia splendens	guamirim-chorão	4	18,2	0,92	18,2	1,40	0,12	0,23	0,57	0,85
Ocotea pulchella	canela-lageana	4	18,2	0,92	27,3	2,10	0,17	0,33	0,63	1,12
Eugenia uniflora	pitangueira	3	13,6	0,69	9,1	0,70	0,04	0,08	0,38	0,49
Myrcianthes gigantea	araçá-do-mato	3	13,6	0,69	27,3	2,10	0,51	0,99	0,84	1,26
Casearia decandra	guaçatunga	3	13,6	0,69	18,2	1,40	0,07	0,13	0,41	0,74
Myrcia neolucida	guamirim	3	13,6	0,69	18,2	1,40	0,12	0,24	0,46	0,78
Ilex theezans	caúna	3	13,6	0,69	18,2	1,40	0,07	0,13	0,41	0,74
Erythrina falcata	corticeira-da-serra	2	9,1	0,46	18,2	1,40	2,68	5,19	2,83	2,35
Plinia peruviana	jaboticaba	2	9,1	0,46	9,1	0,70	0,27	0,53	0,50	0,56
Drimys brasiliensis	cataia	2	9,1	0,46	9,1	0,70	0,06	0,12	0,29	0,43
Cryptocarya aschersoniana	canela-fogo	2	9,1	0,46	9,1	0,70	0,58	1,12	0,79	0,76
Ocotea porosa	imbuia	2	9,1	0,46	9,1	0,70	1,13	2,19	1,32	1,12
Drimys brasiliensis	cataia	2	9,1	0,46	9,1	0,70	0,10	0,19	0,32	0,45
Hovenia dulcis	uva-do-Japão	1	4,5	0,23	9,1	0,70	0,15	0,30	0,26	0,41
Myrsine coriacea	capororoca	1	4,5	0,23	9,1	0,70	0,04	0,07	0,15	0,33
Myrceugenia euosma	guamirim	1	4,5	0,23	9,1	0,70	0,01	0,02	0,12	0,32
Myrcianthes pungens	guabijú	1	4,5	0,23	9,1	0,70	0,03	0,05	0,14	0,33
Machaerium paraguariense	jacarandá-branco	1	4,5	0,23	9,1	0,70	0,02	0,05	0,14	0,33
Chrysophyllum gonocarpum	Aguaí	1	4,5	0,23	9,1	0,70	0,01	0,02	0,13	0,32
Nectandra megapotamica	canela-fedida	1	4,5	0,23	9,1	0,70	0,66	1,28	0,75	0,74
Casearia lasiophylla	cambroé	1	4,5	0,23	9,1	0,70	0,16	0,31	0,27	0,41
Aegiphila sellowiana	pau-de-gaiola	1	4,5	0,23	9,1	0,70	0,02	0,03	0,13	0,32
Baccharis dracunculifolia	vassourinha	1	4,5	0,23	9,1	0,70	0,01	0,02	0,13	0,32
Symplocos kleinii	maria-mole	1	4,5	0,23	9,1	0,70	0,04	0,09	0,16	0,34
Sloanea lasiocoma	sapopema	1	4,5	0,23	9,1	0,70	0,13	0,24	0,24	0,39
Eugenia hiemalis	guamirim-de-folha-miúda	1	4,5	0,23	9,1	0,70	0,05	0,09	0,16	0,34
Myrcia glomerata	guamirim-facho	1	4,5	0,23	9,1	0,70	0,02	0,03	0,13	0,32
Symplocos tetrandra	maria mole	1	4,5	0,23	9,1	0,70	0,01	0,02	0,12	0,32
Nectandra lanceolata	canela-amarela	1	4,5	0,23	9,1	0,70	0,02	0,03	0,13	0,32
Cinnamodendron dinisii	pimenteira	1	4,5	0,23	9,1	0,70	0,02	0,05	0,14	0,33
Jacaranda puberula	carobinha	1	4,5	0,23	9,1	0,70	0,03	0,05	0,14	0,33
Zanthoxylum kleinii	mamica-de-cadela	1	4,5	0,23	9,1	0,70	0,01	0,03	0,13	0,32
Tota	nl	436	1981,8	100,0	1300,0	100,0	51,7	100	100	100

*N – Número de indivíduos, DA - Densidade Absoluta, DR – Densidade relativa, FA – Frequência absoluta, FR – Frequência relativa, DoA – Dominância absoluta, DoR – Dominância relativa, VC – Valor de cobertura, VI – Valor de importância.





Indivíduos 10 20 40 70 80 0 30 50 60 Clethra scabra Araucaria angustifolia Podocarpus lambertii Campomanesia xanthocarpa Ilex brevicuspis Ilex paraguariensis Gymnanthes klotzschiana Myrsine loefgrenii Morta Ilex taubertiana Myrceugenia glaucescens Myrciaria tenella Allophylus edulis Gomidesia hartwegiana Erythroxylum argentinum llex dumosa Myrcia guianensis Myrcia selloi Eugenia uruguayensis Cryptocarya aschersoniana Prunus brasiliensis Eugenia involucrata Myrcia splendens Ocotea pulchella Eugenia uniflora Myrcianthes gigantea Casearia decandra Myrcia neolucida llex theezans Erythrina falcata Plinia peruviana Drimys brasiliensis Cryptocarya aschersoniana Ocotea porosa Drimys brasiliensis Hovenia dulcis Myrsine coriacea Myrceugenia euosma Myrcianthes pungens Machaerium paraguariense Chrysophyllum gonocarpum Nectandra megapotamica Casearia lasiophylla Aegiphila sellowiana Baccharis dracunculifolia Symplocos kleinii Sloanea lasiocoma Eugenia hiemalis Myrcia glomerata

Figura 28: Distribuição de indivíduos pelas parcelas amostradas de FOM em estágio médio.





Symplocos tetrandra
Nectandra lanceolata
Cinnamodendron dinisii
Jacaranda puberula
Zanthoxylum kleinii



Densidade absoluta 50 100 300 350 400 0 150 200 250 Clethra scabra Araucaria angustifolia Podocarpus lambertii Campomanesia xanthocarpa *Ilex brevicuspis* llex paraquariensis Gymnanthes klotzschiana Myrsine loefgrenii Morta Ilex taubertiana Myrceugenia glaucescens Myrciaria tenella Allophylus edulis Gomidesia hartwegiana Erythroxylum argentinum llex dumosa Myrcia guianensis Myrcia selloi Eugenia uruguayensis Cryptocarya aschersoniana Prunus brasiliensis Eugenia involucrata Myrcia splendens Ocotea pulchella Eugenia uniflora Myrcianthes gigantea Casearia decandra Myrcia neolucida llex theezans Erythrina falcata Plinia peruviana Drimys brasiliensis Cryptocarya aschersoniana Ocotea porosa Drimys brasiliensis Hovenia dulcis Myrsine coriacea Myrceugenia euosma Myrcianthes pungens Machaerium paraguariense Chrysophyllum gonocarpum Nectandra megapotamica Casearia lasiophylla Aegiphila sellowiana Baccharis dracunculifolia Symplocos kleinii Sloanea lasiocoma Eugenia hiemalis Myrcia glomerata Symplocos tetrandra Nectandra lanceolata Cinnamodendron dinisii Jacaranda puberula Zanthoxylum kleinii

Figura 29: Densidade absoluta das espécies amostradas de FOM em estágio médio.





Frequência absoluta 10 20 30 80 100 0 40 50 60 70 90 Clethra scabra Araucaria angustifolia Podocarpus lambertii Campomanesia xanthocarpa llex brevicuspis llex paraguariensis Gymnanthes klotzschiana Myrsine loefgrenii Morta Ilex taubertiana Myrceugenia glaucescens Myrciaria tenella Allophylus edulis Gomidesia hartwegiana Erythroxylum argentinum llex dumosa Myrcia guianensis Myrcia selloi Eugenia uruguayensis Cryptocarya aschersoniana Prunus brasiliensis Eugenia involucrata Myrcia splendens Ocotea pulchella Eugenia uniflora Myrcianthes gigantea Casearia decandra Myrcia neolucida llex theezans Erythrina falcata Plinia peruviana Drimys brasiliensis Cryptocarya aschersoniana Ocotea porosa Drimys brasiliensis Hovenia dulcis Myrsine coriacea Myrceugenia euosma Myrcianthes pungens Machaerium paraguariense Chrysophyllum gonocarpum Nectandra megapotamica Casearia lasiophylla Aegiphila sellowiana Baccharis dracunculifolia Symplocos kleinii Sloanea lasiocoma Eugenia hiemalis Myrcia glomerata Symplocos tetrandra Nectandra lanceolata Cinnamodendron dinisii Jacaranda puberula Zanthoxylum kleinii

Figura 30: Frequência absoluta das espécies amostradas de FOM em estágio médio.







Figura 31: Dominância absoluta das espécies amostradas de FOM em estágio médio.

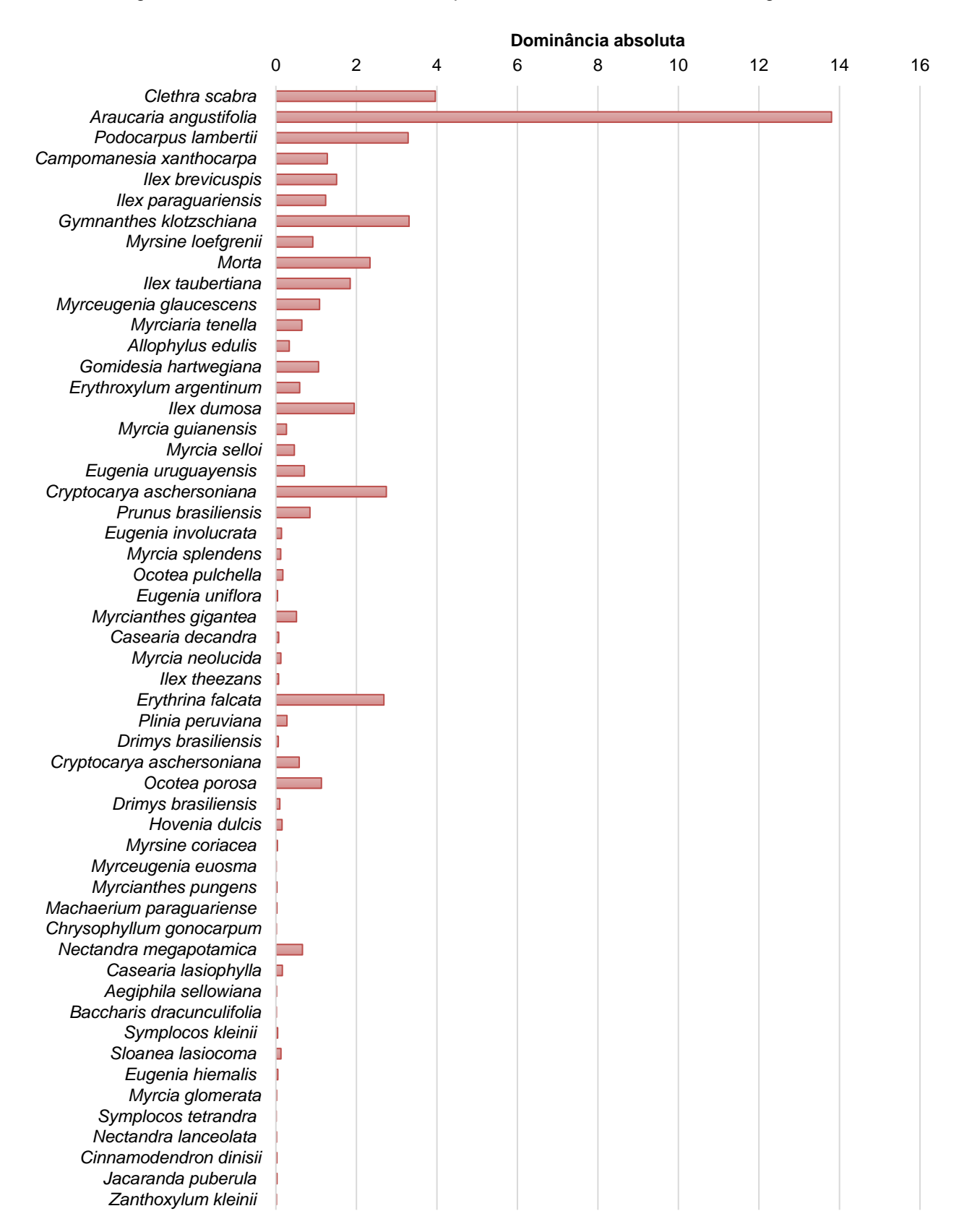






Figura 32: Índice do Valor de Cobertura (IVC) das espécies amostradas de FOM em estágio médio.

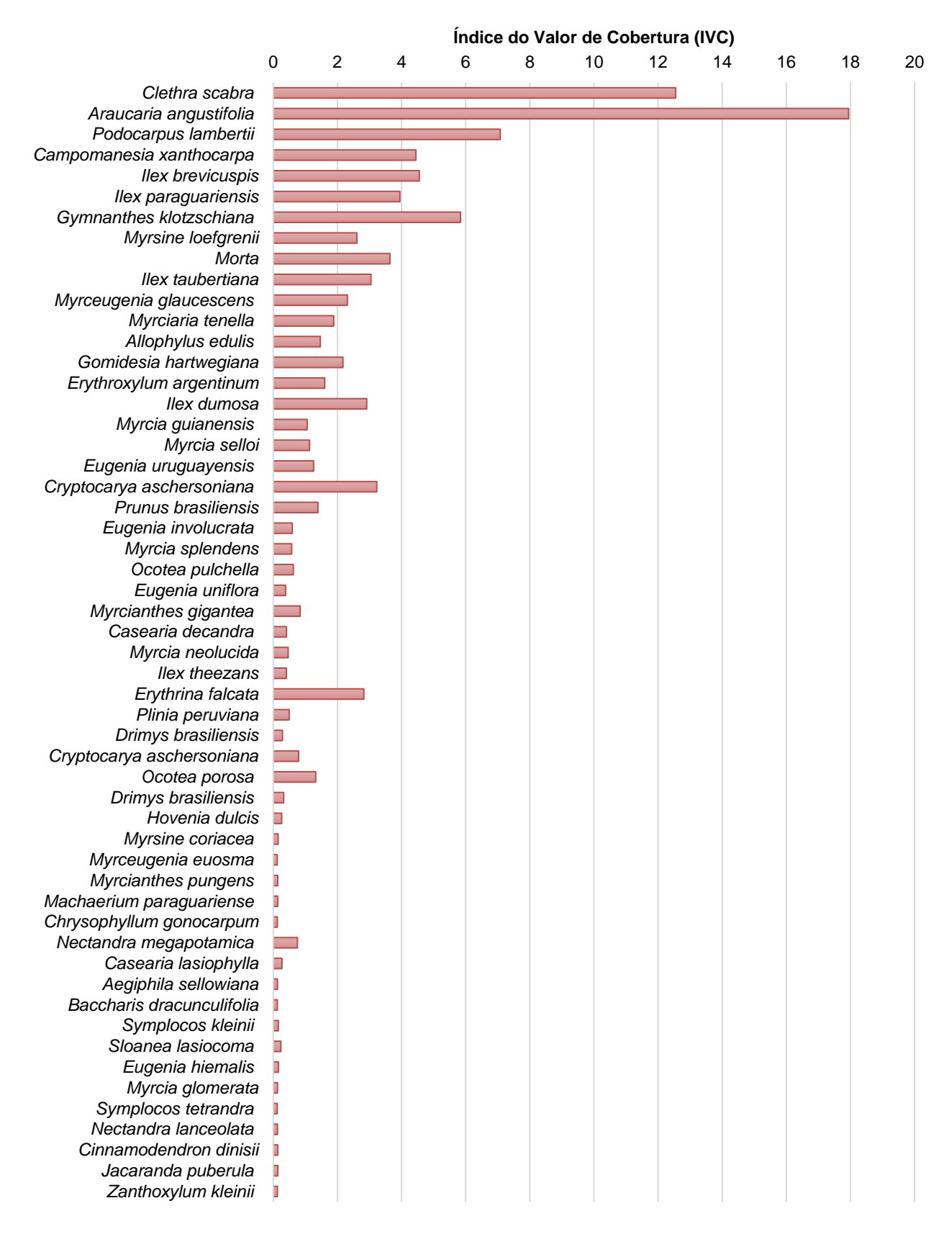






Figura 33: Índice do Valor de Importância (IVI) amostradas de FOM em estágio médio.

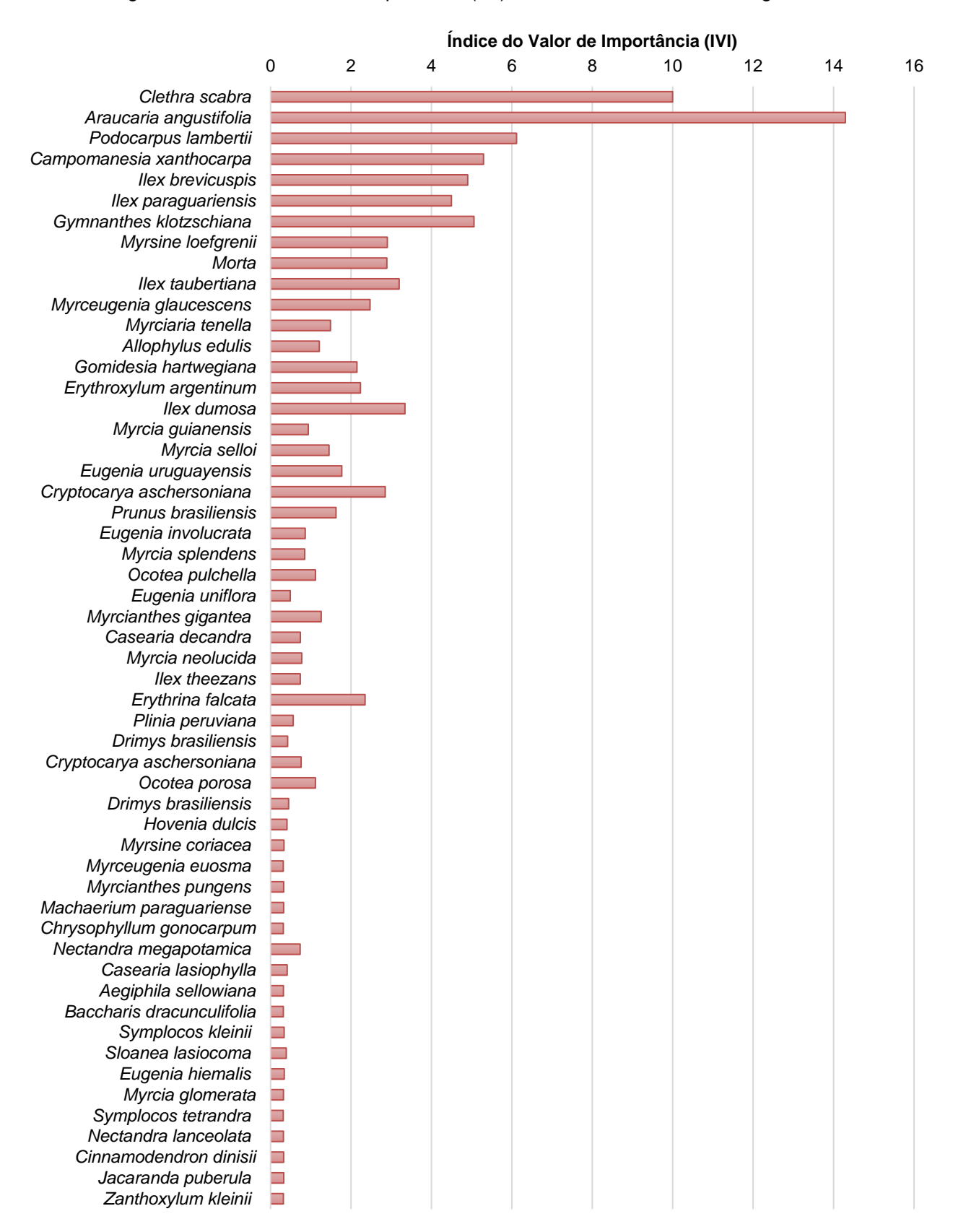






Tabela 3: Ordenamento das espécies a partir dos indicadores.

Número de indivíduos, densidade absoluta e densidade relativa.

Ordem	Nome científico	Nome vulgar	N	DA	DR
1º	Clethra scabra	carne-de-vaca	76	345,5	17,43
2º	Araucaria angustifolia	pinheiro-do-Paraná	40	181,8	9,17
3º	Podocarpus lambertii	pinheiro-bravo	34	154,5	7,80
4º	Campomanesia xanthocarpa	guabiroba	28	127,3	6,42
5°	Ilex brevicuspis	congonha	27	122,7	6,19
Total					

Frequência absoluta e frequência relativa

Ordem	Nome científico	Nome vulgar	FA	FR
1º	Araucaria angustifolia	pinheiro-do-Paraná	90,9	6,99
20	Campomanesia xanthocarpa	guabiroba	90,9	6,99
3º	llex brevicuspis	congonha	72,7	5,59
4º	Ilex paraguariensis	erva-mate	72,7	5,59
5°	Clethra scabra	carne-de-vaca	63,6	4,90
	30,07			

Dominância absoluta e dominância relativa

Ordem	Nome científico	Nome vulgar	DoA	DoR
1º	Araucaria angustifolia	pinheiro-do-Paraná	13,80	26,71
2º	Clethra scabra	carne-de-vaca	3,96	7,66
30	Gymnanthes klotzschiana	branquilho	3,31	6,40
40	Podocarpus lambertii	pinheiro-bravo	3,29	6,36
5°	Cryptocarya aschersoniana	canela-fogo	2,74	5,31
	52,45			

Índice de Valor de Cobertura (IVC)

Ordem	Nome científico	Nome vulgar	IVC
1º	Araucaria angustifolia	pinheiro-do-Paraná	17,94
2º	Clethra scabra	carne-de-vaca	12,55
3º	Podocarpus lambertii	pinheiro-bravo	7,08
4º	Gymnanthes klotzschiana	branquilho	5,84
5°	Ilex brevicuspis	congonha	4,56
	47,96		

Índice de Valor de Importância (IVI)

Ordem	Nome científico	Nome vulgar	IVI
10	Araucaria angustifolia	pinheiro-do-Paraná	14,29
2º	Clethra scabra	carne-de-vaca	10,00
30	Podocarpus lambertii	pinheiro-bravo	6,12
4º	Campomanesia xanthocarpa	guabiroba	5,30
5°	Gymnanthes klotzschiana	branquilho	5,06
	40,76		

Fonte: Delta S Engenharia (2023)

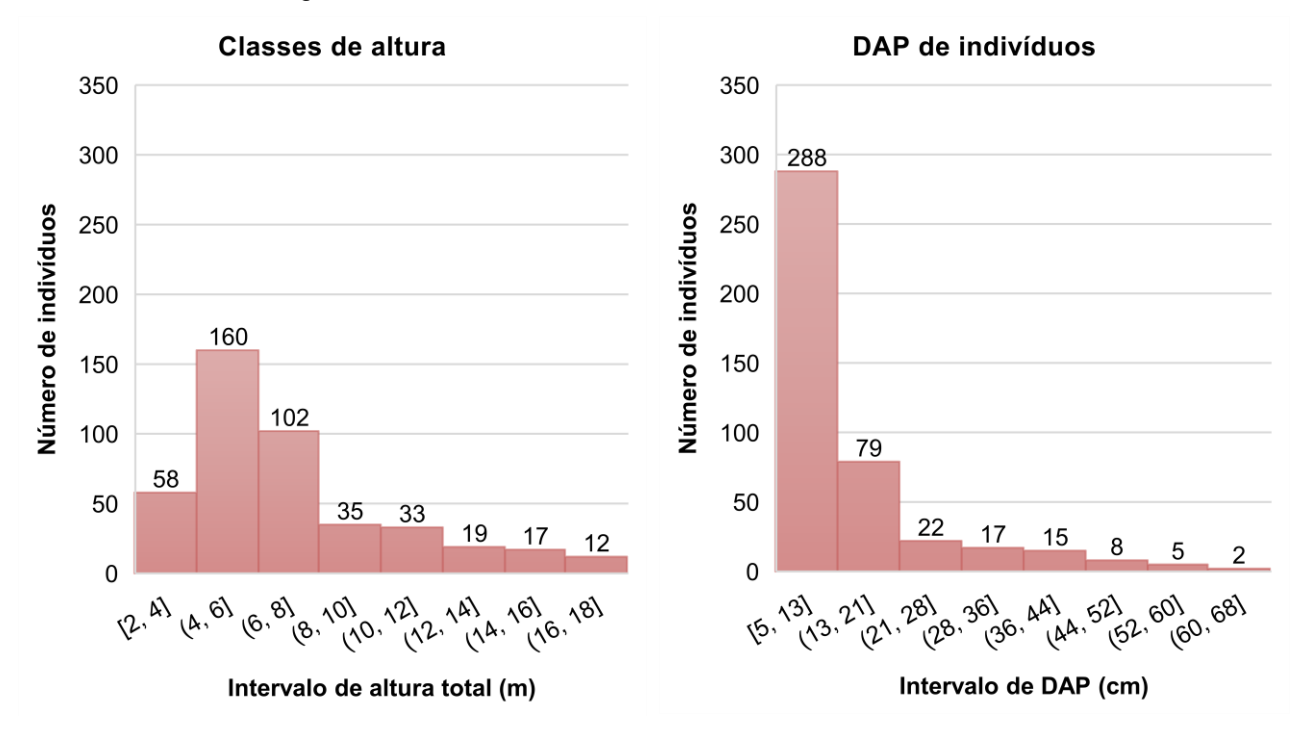
Os gráficos a seguir demonstram a distribuição de frequência por classes de altura e <u>DAP</u> dos indivíduos amostrados. De acordo com os resultados, é possível analisar a formação de

Delta S Engenharia Ltda. www.deltas.eng.br



diferentes estratos, sendo o estrato intermediário (entre 4 e 8 metros de altura e com DAP menor que 21 cm) os que ocorrem com maior concentração de indivíduos.

Figura 34: Classes de altura e DAP dos indivíduos amostrados.



Fonte: Delta S Engenharia (2023)

Para a análise da diversidade da formação florestal em pedido de supressão foram calculados os índices de diversidade máxima, Shannon-Weaver (H´), Simpson (C) e Pielou (J), apresentados na tabela e nos gráficos a seguir.

Tabela 4: Parâmetros de diversidade das parcelas realizadas na FOM Aluvial em Estágio Médio.

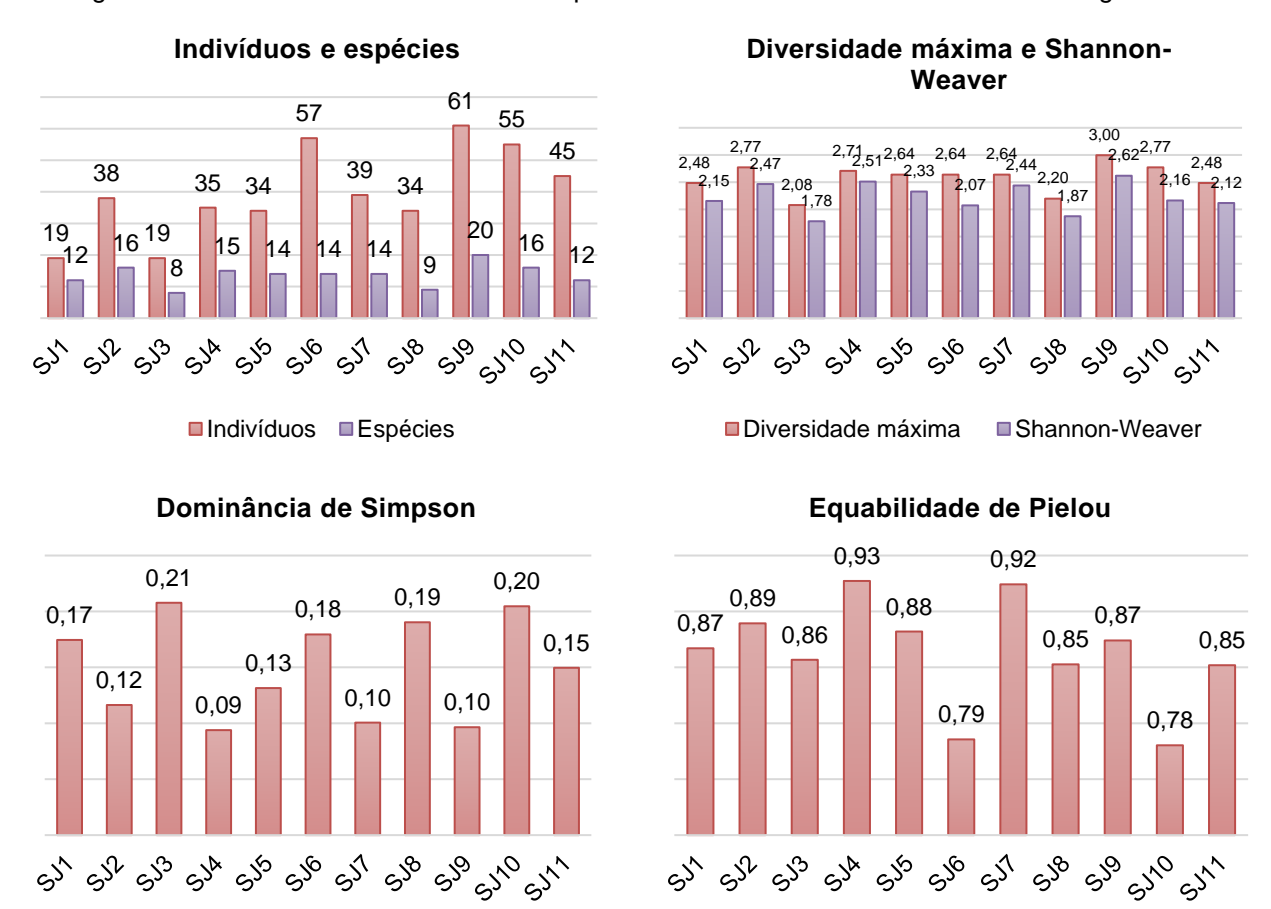
Código	Parcela	N	S	In(S)	H'	С	J'
SJ1	1	19	12	2,48	2,15	0,17	0,87
SJ2	2	38	16	2,77	2,47	0,12	0,89
SJ3	3	19	8	2,08	1,78	0,21	0,86
SJ4	4	35	15	2,71	2,51	0,09	0,93
SJ5	5	34	14	2,64	2,33	0,13	0,88
SJ6	6	57	14	2,64	2,07	0,18	0,79
SJ7	7	39	14	2,64	2,44	0,10	0,92
SJ8	8	34	9	2,20	1,87	0,19	0,85
SJ9	9	61	20	3,00	2,62	0,10	0,87
SJ10	10	55	16	2,77	2,16	0,20	0,78
SJ11	11	45	12	2,48	2,12	0,15	0,85
To	tal	436	150	28,41	2,23	0,15	0,86

*N – Número de indivíduos, S – Número de espécies, In (S) – Diversidade máxima, H´- Shannon-Weaver, C – Simposon, J – Pielou Fonte: Delta S Engenharia (2023)





Figura 35: Parâmetros de diversidade das parcelas realizadas na FOM Aluvial em Estágio Médio



Nas parcelas amostradas a que apresentou maior número de indivíduos foi a SJ9, com 61 indivíduos, seguido pela SJ6, com 57, SJ10, com 55 e SJ11, com 45, mas o número de espécies encontradas em cada amostra não teve a mesma discrepância dos indivíduos, com a parcela SJ9 também liderando 20, mas seguido pelas parcelas SJ2, SJ10 e SJ4, com 16, 16 e 15, respectivamente.

O cálculo do índice de diversidade de Shannon-Weaver serve para avaliar a diversidade florística da população em estudo, podendo expressar riqueza e uniformidade. O maior valor observado nas parcelas foi de H´= 2,62, também da parcela SJ9.

O índice de dominância de Simpson mede a probabilidade de dois indivíduos selecionados ao acaso na amostra pertencerem a mesma espécie. Uma comunidade de espécies com maior diversidade terá uma menor dominância. O valor estimado de C varia de 0 (zero) a 1 (um), sendo que para valores próximos de um, a diversidade é considerada maior. Na área de estudo o maior valor observado foi de C = 0,21 na parcela SJ3.

O índice de diversidade de espécies da Equabilidade de Pielou pertence ao intervalo [0,1], onde 1 representa a máxima diversidade, ou seja, todas as espécies são igualmente abundantes. Neste quesito o maior valor observado foi de J = 0,93, apresentado pela parcela SJ4.





8. INVENTÁRIO FLORESTAL

Conforme demonstrado no Item Uso do Solo, a Área Diretamente Afetada pela PCH São Jerônimo contempla um total de 423.974 m² (42,40 hectares), que estão subdivididos por uso e ocupação do solo e tipologia florestal, conforme a Tabela 5, a seguir, ou seja, com uma área equivalente a 22,28 ha de remanescente floresta em estágio médio de regeneração, número este importante para o Inventário Florestal. Deste total, 45% (10,11 ha) estão localizados em áreas de APP naturais dos rios São Jerônimo e Boi Carreiro.

	Área (ha)				
Uso do solo	Geral	Em APP	Fora da APP		
Uso antrópico	7,17	0,28	6,89		
Floresta Ombrófila Mista Aluvial Estágio Médio de Regeneração	22,28	10,11	12,17		
Acesso	0,03	-	0,03		
Formações pioneiras com influência fluvial (várzea)	8,44	1,15	7,29		
Reflorestamento	3,79		3,79		
Campos antropizados	0,70	0,28	0,42		
Total	42,40	11,82	30,58		

Tabela 5: Uso e ocupação do solo da ADA da PCH São Jerônimo.

Fonte: Delta S Engenharia (2023).

O Inventário Florestal foi realizado a partir da extrapolação dos volumes obtidos nas parcelas para toda a APS. A Tabela 6 traz as espécies e volumes obtidos no levantamento realizado, já multiplicados pelo fator de extrapolação entre a área amostral (2.200 m²)e a APS (222.775 m²), ou seja, multiplicado por 101.

Nesta tabela, o número de indivíduos compreende todos os indivíduos amostrados e já extrapolados, independente do DAP, e o volume de tora foi calculado somente dos indivíduos que apresentaram DAP superior a 15 cm, conforme definição da Portaria nº 300/2022 do IAT. Para o cálculo de lenha foram considerados os indivíduos com DAP inferior a 15 cm, mais os volumes diferenciais entre o volume total e volume comercial, calculado pela formulação apresentada no capítulo Metodologia. Volume total trata-se da soma dos volumes de tora e volume de lenha.

O layout das parcelas encontram-se disponíveis no **Anexo 2** do presente relatório.



Tabela 6: Volume por espécies arbóreas na área de supressão.

Nome científico	Nome popular	Número de	Volume de	Volume de	Volume total
		indivíduos	tora (m³)	lenha (m³)	(m³)
Gymnanthes klotzschiana	branquilho	2.329	24	234	257
Araucaria angustifolia	pinheiro-do-Paraná	4.050	459	1.145	1.604
Campomanesia xanthocarpa	guabiroba	2.835	5	78	82
Erythroxylum argentinum	cocão	911	6	45	51
Eugenia uruguayensis	guabijú	506	11	70	81
Erythrina falcata	corticeira-da-serra	203	37	260	297
Eugenia involucrata	cerejeira	405	-	7	7
Hovenia dulcis	uva-do-Japão	101	-	15	15
Podocarpus lambertii	pinheiro-bravo	3.443	21	236	257
Plinia peruviana	jaboticaba	203	-	15	15
Myrcia splendens	guamirim-chorão	405	-	6	6
Myrsine coriacea	capororoca	101	-	2	2
Eugenia uniflora	pitangueira	304	-	3	3
Allophylus edulis	vacum	1.013	-	24	24
Myrceugenia euosma	guamirim	101	-	1	1
Myrcianthes pungens	guabijú	101	-	2	2
llex dumosa	caúna	911	36	190	226
Ilex brevicuspis	congonha	2.734	7	89	96
Myrcianthes gigantea	araçá-do-mato	304	6	48	54
Ilex taubertiana	caúna-da-serra	1.114	16	145	161
Machaerium paraguariense	jacarandá-branco	101	-	1	1
Casearia decandra	guaçatunga	304	-	4	4
Ilex paraguariensis	erva-mate	2.430	-	28	28
Chrysophyllum gonocarpum	Aguaí	101	-	1	1
Morta	Morta	1.215	-	142	142
Cryptocarya aschersoniana	canela-fogo	506	37	230	267
Nectandra megapotamica	canela-fedida	101	15	47	62
Drimys brasiliensis	cataia	203	-	3	3
Myrceugenia glaucescens	guamirim-branco	1.114	-	81	81
Casearia lasiophylla	cambroé	101	-	17	17
Aegiphila sellowiana	pau-de-gaiola	101	-	1	1
Clethra scabra	carne-de-vaca	7.696	4	372	376
Myrsine loefgrenii	capororoca	1.519	-	74	74
Myrcia selloi	guamirim	608	4	32	36
Gomidesia hartwegiana	guamirim	1.013	13	59	72
Prunus brasiliensis	pessegueiro-bravo	506	20	77	97
Ocotea pulchella	canela-lageana	405	-	16	16
Baccharis dracunculifolia	vassourinha	101	-	0	0
Mvrcia neolucida	guamirim	304	-	7	7
Symplocos kleinii	maria-mole	101	-	3	3
Sloanea lasiocoma	sapopema	101	_	13	13
Eugenia hiemalis	guamirim-de-folha-miúda	101	-	3	3
Cryptocarya aschersoniana	canela-fogo	203	11	54	65
Myrciaria tenella	camboim	1.114		38	38
Ocotea porosa	imbuia	203	31	93	125
Myrcia guianensis	guamirim-branco	709	-	17	17
Myrcia glomerata	guamirim-facho	101	_	1	1
Ilex theezans	caúna	304	-	4	4
Drimys brasiliensis	cataia	203	-	7	7
Symplocos tetrandra	maria mole	101		1	1
Nectandra lanceolata	canela-amarela	101		1	1
Cinnamodendron dinisii	pimenteira	101		2	2
Jacaranda puberula	carobinha	101	<u> </u>	3	2 3
Zanthoxylum kleinii	mamica-de-cadela	101	-	<u> </u>	1
Tota		44.150	761	4.044	4.806
lota	I	44.130	701	4.044	4.006





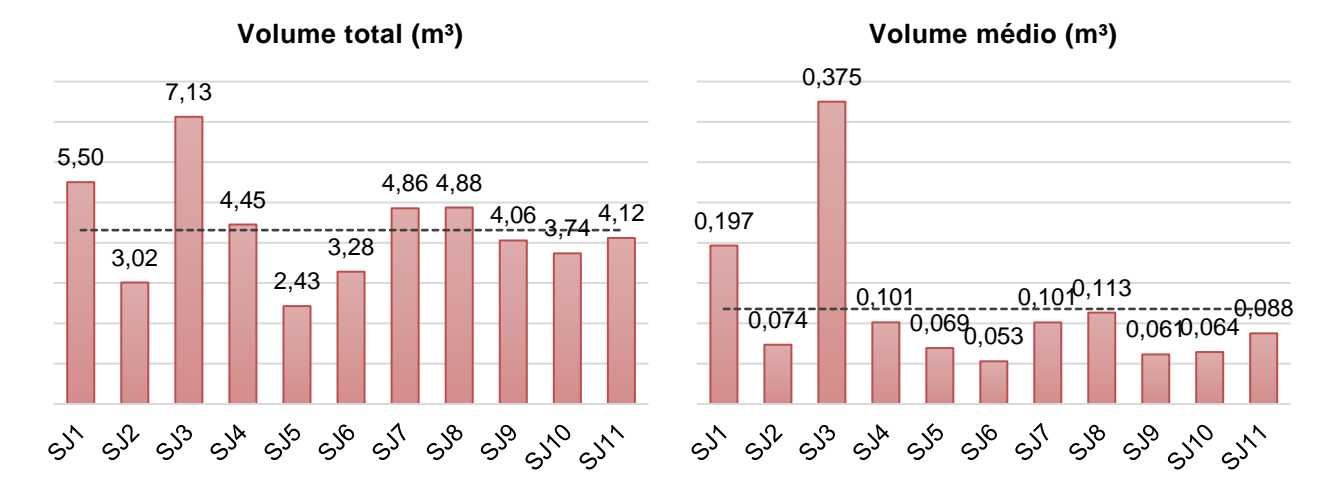
Em termos de parcelas, os volumes obtidos totais, médios e por hectare obtidos estão demonstrados na Tabela 7 e Figura 36.

Tabela 7: Volumes obtidos das parcelas amostradas.

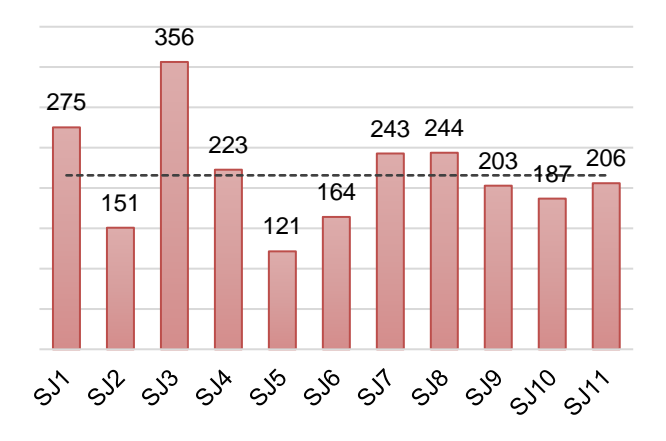
Parcela	Volume total (m³)	Volume médio por parcela (m³)	Volume por hectare (m³/ha)
SJ1	5,50	0,197	275
SJ2	3,02	0,074	151
SJ3	7,13	0,375	356
SJ4	4,45	0,101	223
SJ5	2,43	0,069	121
SJ6	3,28	0,053	164
SJ7	4,86	0,101	243
SJ8	4,88	0,113	244
SJ9	4,06	0,061	203
SJ10	3,74	0,064	187
SJ11	4,12	0,088	206
Média	4,31	0,12	216

Fonte: Delta S Engenharia (2023)

Figura 36: Representação gráfica dos volumes obtidos das parcelas amostradas.



Volume por hectare (m³/ha)







A intensidade amostral, considerando um nível de significância de 90%, admitiu um erro de 16% e, portanto, abaixo dos 20% dispostos na Portaria IAT nº 300/2022.

De acordo com a lista das espécies ameaçadas de extinção (MMA, 2022), só foram constatadas espécies ameaçadas no ambiente florestal, sendo elas: *Araucaria angustifolia* (pinheiro-do-Paraná) e *Ocotea porosa* (canela-imbuia); ambas classificadas como EN (Em perigo).

Com relação a "Lista Vermelha de Plantas Ameaçadas de Extinção no Estado do Paraná" (SEMA/GTZ, 1995) também cita *Araucaria angustifolia* (pinheiro-do-Paraná) e *Ocotea porosa* (canela-imbuia) e também inclui *Machaerium paraguariense* (jacarandá-branco), todos classificados como RR (raras).

Em observação a "Lista Oficial de Espécies Exóticas Invasoras do Estado do Paraná" (IAP, 2009), foi observada no ambiente florestal do estudo *Hovenia dulcis* (uva-do-japão) e *Brachiaria* sp. nas bordas dos ambientes florestais e também inserido na área campestre.



9. CONSIDERAÇÕES FINAIS

Constatou-se, ao logo dos estudos florestais, que a Área Diretamente Afetada pela PCH São Jerônimo se insere em região altamente antropizada, com uso do solo misto entre campos, da tipologia estepe gramíneo-lenhosa, várzeas, pastagens, acessos e remanescente florestal, este último normalmente localizado às margens dos rios, onde a exploração comercial do solo não foi possível.

Este remanescente florestal, principal foco deste trabalho, segundo parâmetros de caracterização da Resolução CONAMA nº 002/1994, foi classificado como Floresta Ombrófila Mista Aluvial em estágio médio de regeneração.

Em termos de volume, o inventário florestal calculou um volume total de toras com medidas comerciais igual a 761 m³ e de ganhadas/resíduo igual a 4.044 m³, totalizando 4.805 m³.

Dentre as espécies ameaçadas de extinção, pela lista do MMA (2022) e da SEMA/GTZ (1995), deverão ser suprimidos para implantação do empreendimento 4.050 indivíduos de *Araucaria angustifolia* (pinheiro-do-Paraná) e 203 indivíduos de *Ocotea porosa* (canela-imbuia). Além destas, a SEMA/GTZ (1995) contempla ainda como Lista Vermelha de Plantas Ameaçadas de Extinção do Estado do Paraná os 101 indivíduos do *Machaerium paraguariense* (jacarandá-branco).

Quanto à Lista de Espécies Exóticas Invasoras do Estado do Paraná (IAT, 2009), ocorrerá a supressão de 101 indivíduos de *Hovenia dulcis* (uva-do-japão) e *Brachiaria* sp. (capim-braquiária).



10. REFERÊNCIA BIBLIOGRÁFICA

APG IV (2016). An update of the Angiosperm Phylogeny Group classification for the orders and families of flowering plants: APG IV. **Botanical Journal of the Linnean Society** 181, 1–20.

BRASIL, Ministério do Meio Ambiente. **Lista oficial de espécies da flora brasileira ameaçadas de extinção**. Portaria MMA n° 148 de 7 de junho de 2022. Publicado no DOU em 8 de jun. 2022, ed. 108, seção 1, página 74.

BRAUN-BLANQUET, J. **Fitosociologia: Bases para el estudio de lãs comunidades vegetales.** Madrid: H. Blume, 820 p. 1979.

CARVALHO, P. E. R. Espécies arbóreas brasileiras. Colombo, PR: Embrapa Florestas, 2003.

CARVALHO, P. E. R. **Espécies arbóreas brasileiras**. Vol. 2. Colombo, PR: Embrapa Florestas, 2006.

CONSULTORIA E DESENVOLVIMENTO DE SISTEMAS – CIENTEC. Mata Nativa 2: Sistema para Análise Fitossociológica e Elaboração de Inventários e Planos de Manejo de Florestas Nativas – Manual do Usuário. Viçosa: CIENTEC, 2008.

CONAMA. Resolução nº 2, de 18 de março de 1994. **Define formações vegetais primárias e estágios sucessionais de vegetação secundária, com finalidade de orientar os procedimentos de licenciamento de exploração da vegetação nativa no Estado do Paraná**. Data da legislação:18/03/1994 – Publicação DOU nº 059, de 28/03/1994, págs 4513-4514.

CONAMA. Resolução n° 423, de 12 de abril de 2010. **Dispõe sobre parâmetros básicos para identificação e análise da vegetação primária e dos estágios sucessionais da vegetação secundária nos Campos de Altitude associados ou abrangidos pela Mata Atlântica.** DOU nº 69, EM 13/04/2010, págs. 55-57.

CURTIS, J.T.; MCINTOSH, R.P. The interrelations of certain analytic and synthetic phytosociological characters. **Ecology**, v. 31, n. 3, p. 434-455, 1951.

DRESHER, R.; SCHNEIDER, P. R.; FINGER, C. A. G.; QUEIROZ, F. L. C. Fator de forma artificial de *Pinus elliotii* Engelm para a região da serra do sudeste do estado do Rio Grande do Sul. Ciência Rural: UFSM, v. 31, n. 1, 2001.

FILGUEIRAS, T.S.; BROCHADO, A.L.; NOGUEIRA, P.E.; GUALLA II, G.F. Caminhamento – Um método expedito para levantamentos florísticos qualitativos. In: **Caderno Geociências IBGE**, p. 39-43, 1994.

FLORA DO BRASIL 2020 em construção. Jardim Botânico do Rio de Janeiro. Disponível em: < http://floradobrasil.jbrj.gov.br/ >. Acesso em: Jan/2023.

GREIG-SMITH, P. Quantitative plant ecology. 2 ed. London: Butterworth, 1964. 256 p.

GORESTEIN, M.R. **Métodos de amostragem no levantamento da comunidade arbórea em floresta estacional semidecidual**. 2002. 92 f. Dissertação (Mestrado em Ciências Florestais) — Escola Superior de Agricultura Luiz de Queiroz, Piracicaba.

HOLSBACH, B. A. V. D. A. Relatório Ambiental Simplificado da linha 138 kV Umuarama Sul – Douradina – PR. 2013.





HOWE, H.F.; SMALLWOOD, J. Ecology of seed dispersal. **Annual Review of Ecology and Systematics**,13, 201-228. 1982.

INSTITUTO ÁGUA E TERRA (IAT). Portaria nº 059, de 15 de abril de 2015. **Lista de espécies exóticas invasoras do Estado do Paraná.** Publicado no DOE - PR 7 de maio 2015.

INSTITUTO ÁGUA E TERRA (IAT). Portaria nº 300, de 30 de agosto de 2022. Estabelece critérios e procedimentos para o requerimento de Autorização de Supressão de Vegetação - ASV durante o processo de licenciamento ambiental no Estado do Paraná. Publicado no DOE - PR 1 set 2022.

INSTITUTO BRASILEIRO DE GEOGRAFIA E ESTATÍSTICA - IBGE. Manual Técnico da Vegetação Brasileira. Rio de Janeiro, 1992.

INSTITUTO BRASILEIRO DE GEOGRAFIA E ESTATÍSTICA - IBGE. Mapa de Vegetação do Brasil. IBGE, 2004.

INSTITUTO BRASILEIRO DE GEOGRAFIA E ESTATÍSTICA - IBGE. Manual Técnico da Vegetação Brasileira. Fundação Instituto Brasileiro de Geografia e Estatística. Departamento de Recursos Naturais e Estudos Ambientais. **Série Manuais Técnicos em Geociências**, nº 3, 2012.

JARDIM BOTÂNICO DO RIO DE JANEIRO. **Flora e funga do Brasil**. Disponível em: < http://flora-dobrasil.jbrj.gov.br/ >. Acesso em: 9 de dez. de 2022.

LAMPRECH, H. Ensayo sobre la estructura florística de la parte sur-oriental del Bosque Universitario "El Calmital" - Estado Barínas. **Rev. For. Venez**., Mérida, v. 7 n. 10-11, p. 77-119, 1964.

LAMPRECHT, H. Silvicultura nos Trópicos: ecossistemas florestais e respectivas espécies arbóreas - possibilidades e métodos de aproveitamento sustentado. Eschborn: GTZ, 1990. 343 p.

LEITE, P.F. **As diferentes unidades fitoecológicas da região sul do Brasil:** proposta de classificação. Curitiba, 1994. 160 f. Dissertação (Mestrado em Engenharia Florestal) - Setor de Ciências Agrárias, Universidade Federal do Paraná.

LEITE, P.F.; KLEIN, R.M. **Vegetação**. In: IBGE: Geografia do Brasil; região Sul. Rio de Janeiro, 5 v., v.2, 1990.

LORENZI, Harri. Árvores brasileiras: manual de identificação e cultivo de plantas arbóreas nativas do Brasil. Vol. 1. Editora Plantarum, Nova Odessa-SP, 1998. 352 p.

LORENZI, Harri. Árvores brasileiras: manual de identificação e cultivo de plantas arbóreas nativas do Brasil. Vol. 2. Editora Plantarum, Nova Odessa-SP, 2002. 368 p.

LORENZI, H.; SOUZA, H.M. **Plantas ornamentais no Brasil:** arbustivas, herbáceas e trepadeiras. 2.ed. Nova Odessa, São Paulo: Instituto Plantarum, 1999. 2020p.

MAACK, R. Geografia física do estado do Paraná. 3 ed. Curitiba. 2002. 350 p.

MAGURRAN, A.E. Diversidad ecológica y su medición. Barcelona: Vedra, 200 p. 1989.

MATTEUCCI, S. D; COLMA, A. **Metodologia para el estudo de la vegetacion. Washington,** OEA/PRDECT, 168 p. 1982.

MINISTÉRIO DO MEIO AMBIENTE (MMA). Lista nacional oficial das espécies da flora brasileira ameaçadas de extinção. Portaria MMA n° 148 de 7 de junho de 2022. DOU 108, de 08 de junho de 2022, Seção 1, página 74.





MUELLER-DOMBOIS, D.; ELLEMBERG, H. Aims and Methods of Vegetation Ecology. Jonh Wiley e Sons New York, 1974.

OOSTING, H. J. Ecologia vegetal. Madrid: Aguilar, 436 p. 1951.

PELLICO Netto, S; SANQUETA C.R. Determinação do número de estratos em estratificação volumétrica de florestas naturais e plantadas. Revista Floresta- UFPR V 24(1/2) 49. 1995.

PIELOU, E.C. Species diversity and pattern diversity in the study of ecological succession. **Journal Theory Biology,** v. 10, p. 370-383, 1966.

RODERJAN, C.V.; GALVÃO, F.; KUNIYOSHI, Y.S.; HATSCHBACH, G.G. As Unidades Fitogeográficas do Estado do Paraná, Brasil. **Ciência & Ambiente**, Santa Maria, n. 24, p.78-118, 2002.

SANQUETTA, C. R.; DOLCI, M; CORTE, A. P. D; SANQUETTA, M. N. I; PELISSARI, A. L. **Estimação de volumes de** *Araucaria angustifolia* (Bertol.) O. Kuntze **por fatores de forma em classes diamétricas e modelos de regressão**. Enciclopédia Biosfera, Centro Científico Conhecer – Goiânia, v. 13 n° 23; p. 588. Publicado em 20 jun 2016.

SANTOS, K; SANQUETTA, C. R.; EISFIELD, R. L; WATZLAWICK, L. F.; ZILIOTTO, M. A. B. Equações volumétricas por classe diamétrica para algumas espécies folhosas da Floresta Ombrófila Mista no Paraná, Brasil. In: Revista Ciências Exatas e Naturais, vol. 8, n.º 1, Jan/Jun 2006.

SAUERESSIG, DANIEL. **Plantas do Brasil**: árvores nativas. Vol. 1. Editora Plantas do Brasil LTDA, Irati – PR, 2014. 432 p.

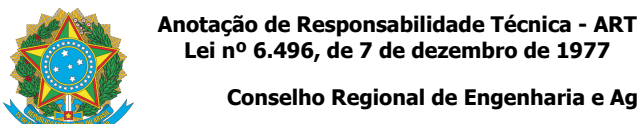
SCOLFORO, J. R. et al. Equações para estimar o volume de madeira das fisionomias, em Minas Gerais. In: SCOLFORO, J. R.; OLIVEIRA, A. D.; ACERBI JÚNIOR, F. W. (Ed.). Inventário Florestal de Minas Gerais – Equações de Volume, Peso de Matéria Seca e Carbono para Diferentes Fisionomias da Flora Nativa. Lavras: UFLA, 2008. cap. 2, p.67-101.

SECRETARIA DE ESTADO DO MEIO AMBIENTE/DEUTSCHE GESSELLSCHAFT TECHNISCHE ZUSAMMENARBEIT (SEMA/GTZ). Lista Vermelha de Plantas Ameaçadas de Extinção no Estado do Paraná, Curitiba, PR, p.139, 1995.

TABARELLI, M. Flora arbórea da floresta estacional baixo-montana no município de Santa Maria, RS, Brasil. In: CONGRESSO NACIONAL SOBRE ESSÊNCIAS NATIVAS, 2, 1992. Piracicaba, Anais. Piracicaba, SP, p. 260-268. 1992.



ANEXO 1 - ART



ART de Obra ou Serviço 1720230503423

CNPJ: 77.890.846/0051-38

Conselho Regional de Engenharia e Agronomia do Paraná

1. Responsável Técnico

BRASIL AVILA VARGAS DORNELES ANDRADE HOLSBACH

Título profissional: RNP: 1700724240 **ENGENHEIRO FLORESTAL** Carteira: PR-71535/D

2. Dados do Contrato

Contratante: COOPERATIVA AGRÁRIA AGROINDUSTRIAL

PRAÇA NOVA PÁTRIA, SN

COLÔNIA VITÓRIA - COLONIA VITORIA (GUARAPUAVA)/PR 85139-400

Contrato: (Sem número) Celebrado em: 09/01/2023

Tipo de contratante: Pessoa Jurídica (Direito Privado) brasileira

3. Dados da Obra/Serviço

ZONA RURAL, SN

ZONA RURAL - ENTRE RIOS (GUARAPUAVA)/PR 85108-000 Data de Início: 26/01/2023

Coordenadas Geográficas: -25,642914 x -51,450475 Previsão de término: 26/06/2023

Finalidade: Ambiental

Proprietário: COOPERATIVA AGRÁRIA AGROINDUSTRIAL CNPJ: 77.890.846/0051-38

4. Atividade Técnica

[Coleta de dados, Condução de serviço técnico, Estudo, Estudo de viabilidade ambiental, Levantamento] de

inventário florestal

Após a conclusão das atividades técnicas o profissional deverá proceder a baixa desta ART

5. Observações

Responsável técnico do Inventário Florestal e Estudo Fitossociológico da área de supressão da PCH São Jerônimo

7. Assinaturas

Documento assinado eletronicamente por BRASIL AVILA VARGAS DORNELES ANDRADE HOLSBACH, registro Crea-PR PR-71535/D, na área restrita do profissional com uso de login e senha, na data 26/01/2023 e hora 16h21.

8. Informações

- A ART é válida somente quando quitada, conforme informações no rodapé deste formulário ou conferência no site www.crea-pr.org.br.
- A autenticidade deste documento pode ser verificada no site www.crea-pr.org.br ou www.confea.org.br
- A guarda da via assinada da ART será de responsabilidade do profissional e do contratante com o objetivo de documentar o vínculo contratual.

COOPERATIVA AGRÁRIA AGROINDUSTRIAL - CNPJ: 77.890.846/0051-38

Acesso nosso site www.crea-pr.org.br Central de atendimento: 0800 041 0067



Quantidade

1,00

Unidade UNID

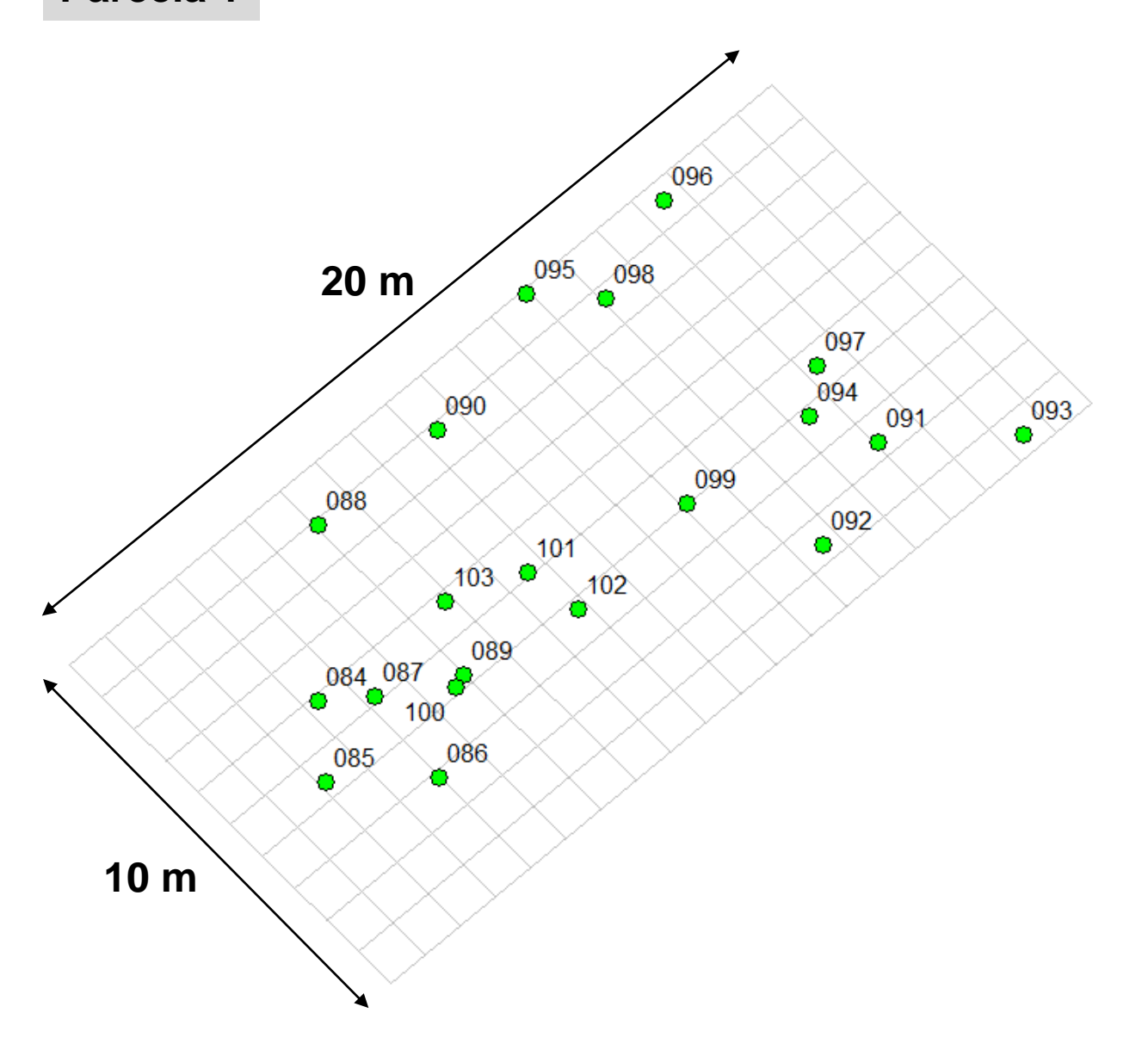
Nosso número: 2410101720230503423 Valor da ART: R\$ 96,62 Registrada em: 26/01/2023 Valor Pago: R\$ 96,62



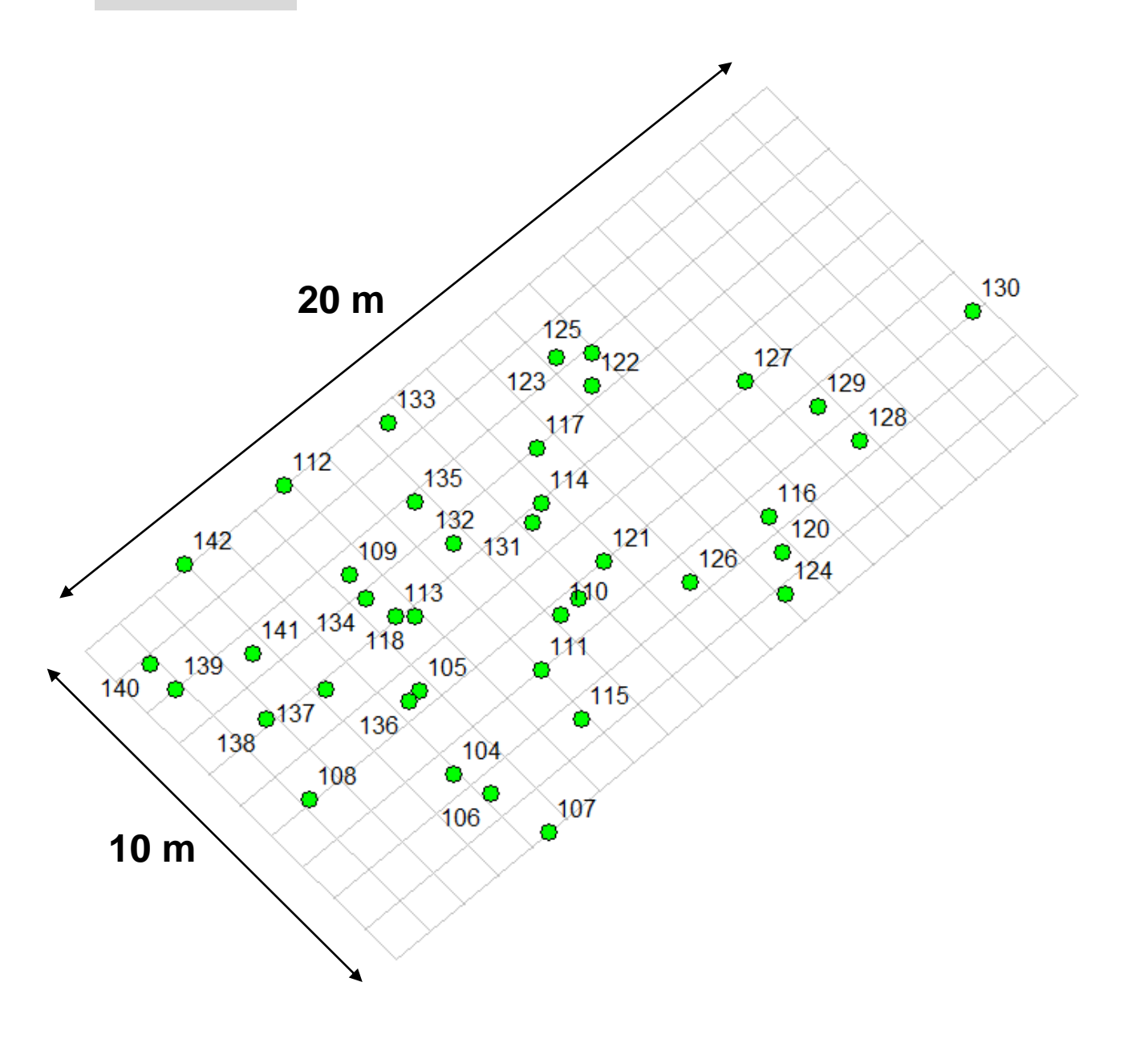




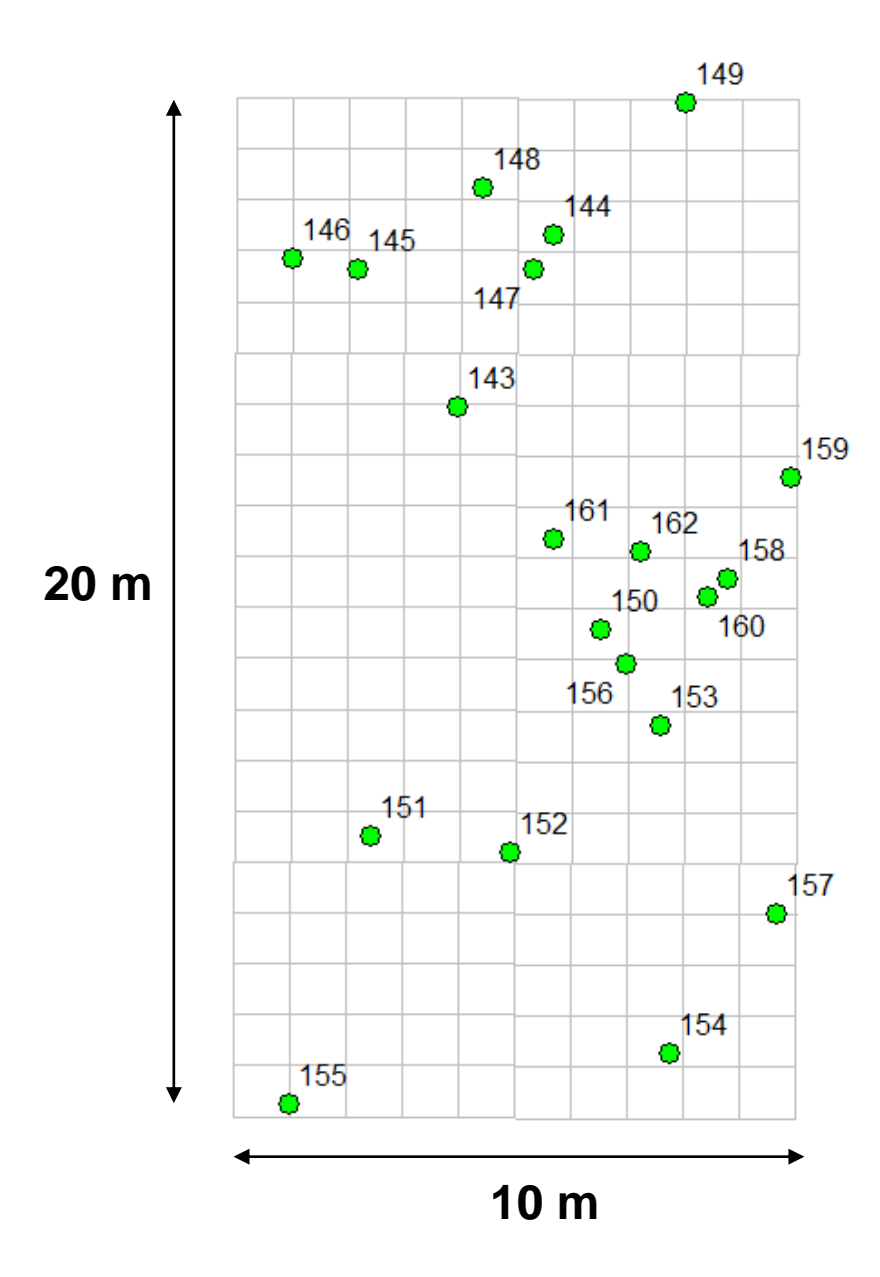
ANEXO 2 – LAYOUT DAS PARCELAS



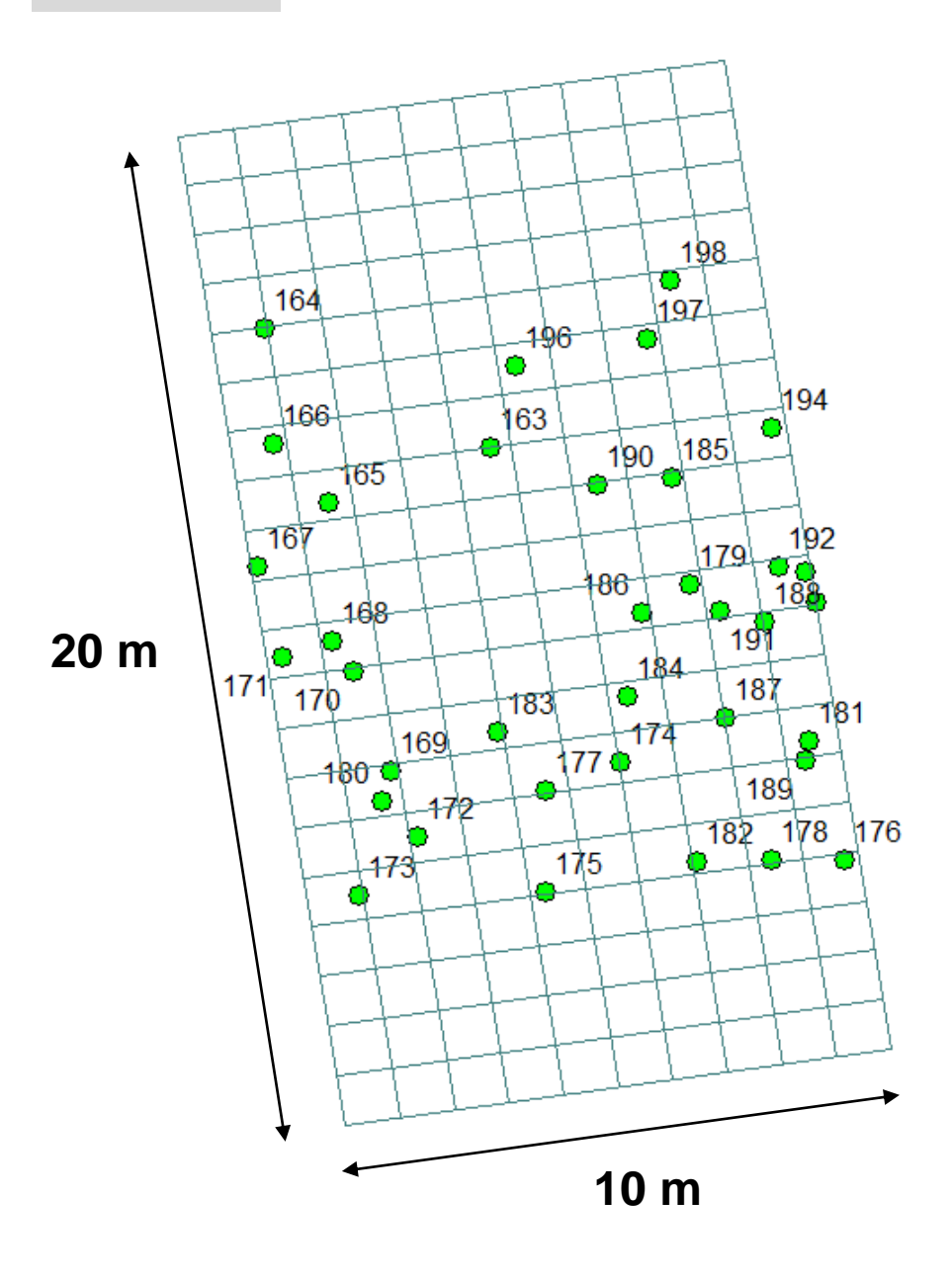
Parcela 🏋	Nome Científico	Nome vulgar ▼	Indice 🎜
SJ1	Gymnanthes klotzschiana	branquilho	85
SJ1	Araucaria angustifolia	pinheiro-do-Paraná	86
SJ1	Campomanesia xanthocarpa	guabiroba	87
SJ1	Erythroxylum argentinum	cocão	88
SJ1	Eugenia uruguayensis	guabijú	89
SJ1	Gymnanthes klotzschiana	branquilho	90
SJ1	Erythrina falcata	corticeira-da-serra	91
SJ1	Gymnanthes klotzschiana	branquilho	92
SJ1	Eugenia involucrata	cerejeira	93
SJ1	Hovenia dulcis	uva-do-Japão	94
SJ1	Gymnanthes klotzschiana	branquilho	95
SJ1	Podocarpus lambertii	pinheiro-bravo	96
SJ1	Plinia peruviana	jaboticaba	97
SJ1	Gymnanthes klotzschiana	branquilho	98
SJ1	Plinia peruviana	jaboticaba	99
SJ1	Gymnanthes klotzschiana	branquilho	100
SJ1	Myrcia splendens	guamirim-chorão	101
SJ1	Myrsine coriacea	capororoca	102
SJ1	Gymnanthes klotzschiana	branquilho	103



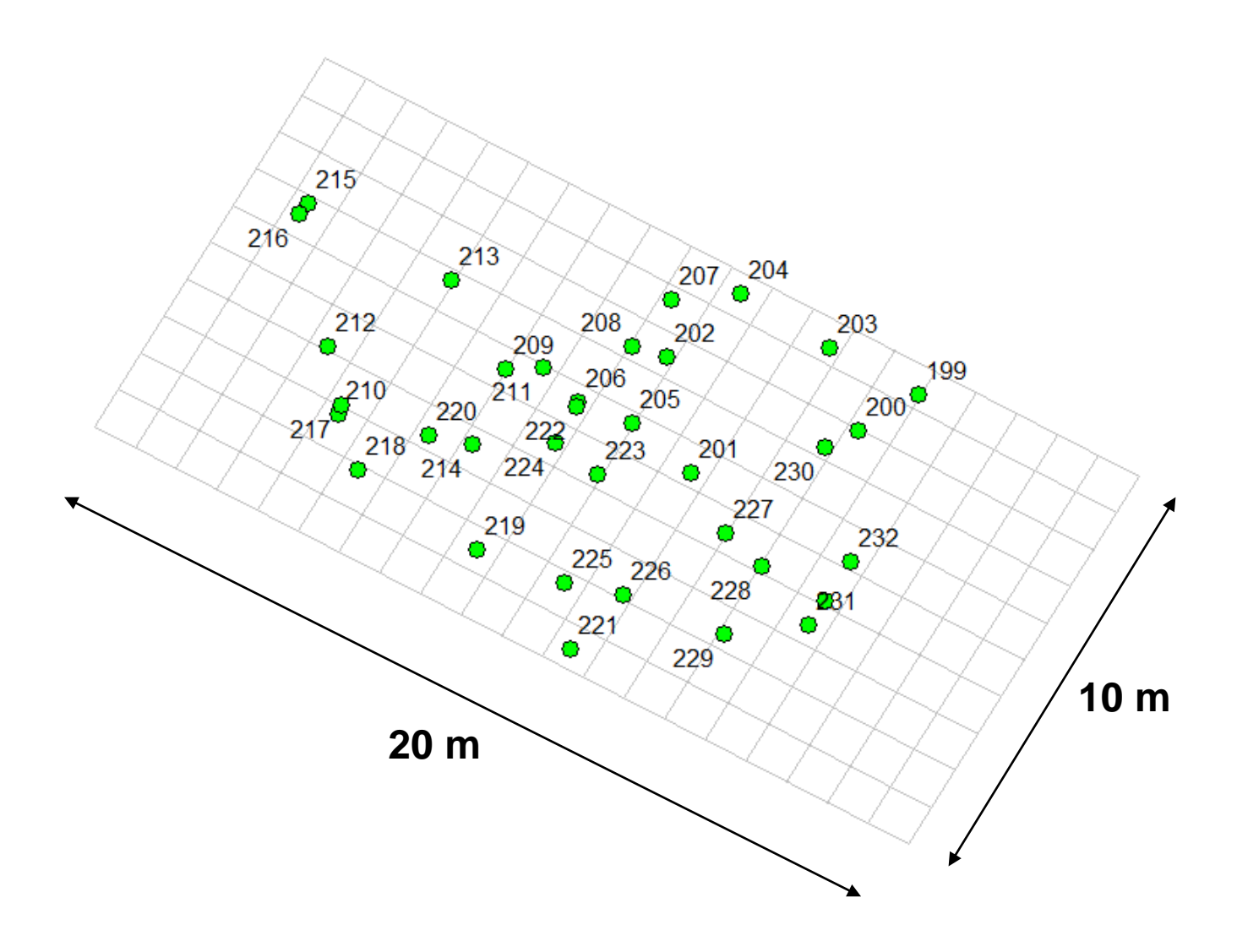
Parcela 🗐	Nome Científico 🔻	Nome vulgar 🔻	Índice √T
SJ2	Eugenia uniflora	pitangueira	105
SJ2	Campomanesia xanthocarpa	guabiroba	106
SJ2	Allophylus edulis	vacum	107
SJ2	Allophylus edulis	vacum	108
SJ2	Allophylus edulis	vacum	109
SJ2	Allophylus edulis	vacum	110
SJ2	Myrceugenia euosma	guamirim	111
SJ2	Erythroxylum argentinum	cocão	112
SJ2	Myrcianthes pungens	guabijú	113
SJ2	Ilex dumosa	caúna	114
SJ2	Ilex dumosa	caúna	115
SJ2	Ilex dumosa	caúna	116
SJ2	Eugenia uniflora	pitangueira	117
SJ2	Allophylus edulis	vacum	118
SJ2	Eugenia involucrata	cerejeira	119
SJ2	Gymnanthes klotzschiana	branquilho	120
SJ2	Eugenia involucrata	cerejeira	121
SJ2	Allophylus edulis	vacum	122
SJ2	Allophylus edulis	vacum	123
SJ2	Gymnanthes klotzschiana	branquilho	124
SJ2	llex brevicuspis	congonha	125
SJ2	Eugenia uniflora	pitangueira	126
SJ2	Eugenia involucrata	cerejeira	127
SJ2	Myrcianthes gigantea	araçá-do-mato	128
SJ2	Ilex taubertiana	caúna-da-serra	129
SJ2	Ilex taubertiana	caúna-da-serra	130
SJ2	Ilex taubertiana	caúna-da-serra	131
SJ2	Machaerium paraguariense	jacarandá-branco	132
SJ2	Eugenia uruguayensis	guabijú	133
SJ2	Allophylus edulis	vacum	134
SJ2	Allophylus edulis	vacum	135
SJ2	Casearia decandra	guaçatunga	136
SJ2	llex paraguariensis	erva-mate	137
SJ2	Gymnanthes klotzschiana	branquilho	138
SJ2	Eugenia uruguayensis	guabijú	139
SJ2	Allophylus edulis	vacum	140
SJ2	Campomanesia xanthocarpa	guabiroba	141
SJ2	Gymnanthes klotzschiana	branquilho	142



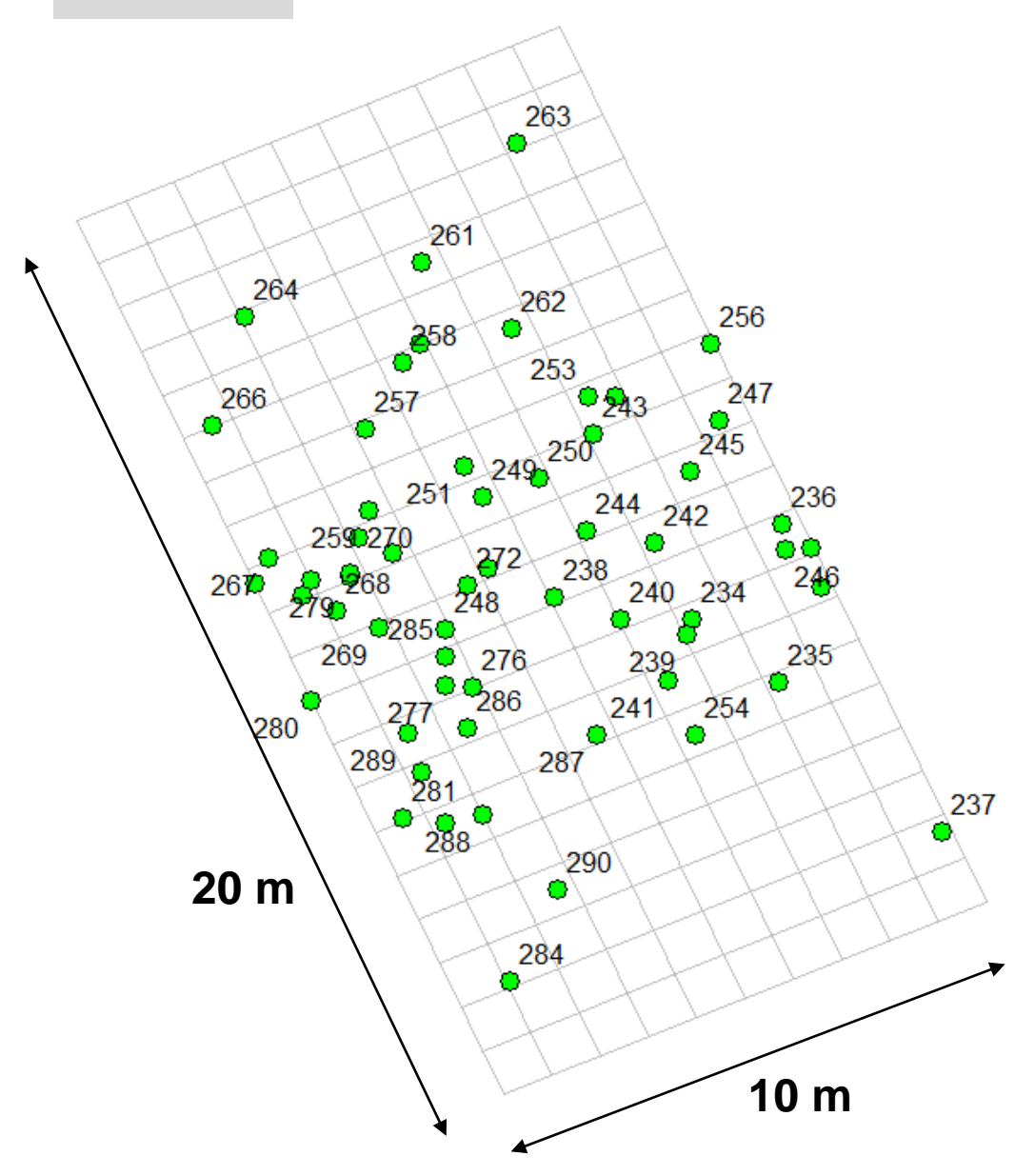
Parcela 🚚	Nome Científico	Nome vulgar ▼	Índice 🏋
SJ3	llex paraguariensis	erva-mate	144
SJ3	Araucaria angustifolia	pinheiro-do-Paraná	145
SJ3	Araucaria angustifolia	pinheiro-do-Paraná	146
SJ3	Chrysophyllum gonocarpum	Aguaí	147
SJ3	Campomanesia xanthocarpa	guabiroba	148
SJ3	Morta	Morta	149
SJ3	llex paraguariensis	erva-mate	150
SJ3	llex paraguariensis	erva-mate	151
SJ3	Araucaria angustifolia	pinheiro-do-Paraná	152
SJ3	llex paraguariensis	erva-mate	153
SJ3	Cryptocarya aschersoniana	canela-fogo	154
SJ3	Cryptocarya aschersoniana	canela-fogo	155
SJ3	Araucaria angustifolia	pinheiro-do-Paraná	156
SJ3	Cryptocarya aschersoniana	canela	157
SJ3	Morta	Morta	158
SJ3	Nectandra megapotamica	canela-fedida	159
SJ3	Araucaria angustifolia	pinheiro-do-Paraná	160
SJ3	llex paraguariensis	erva-mate	161
SJ3	llex paraguariensis	erva-mate	162



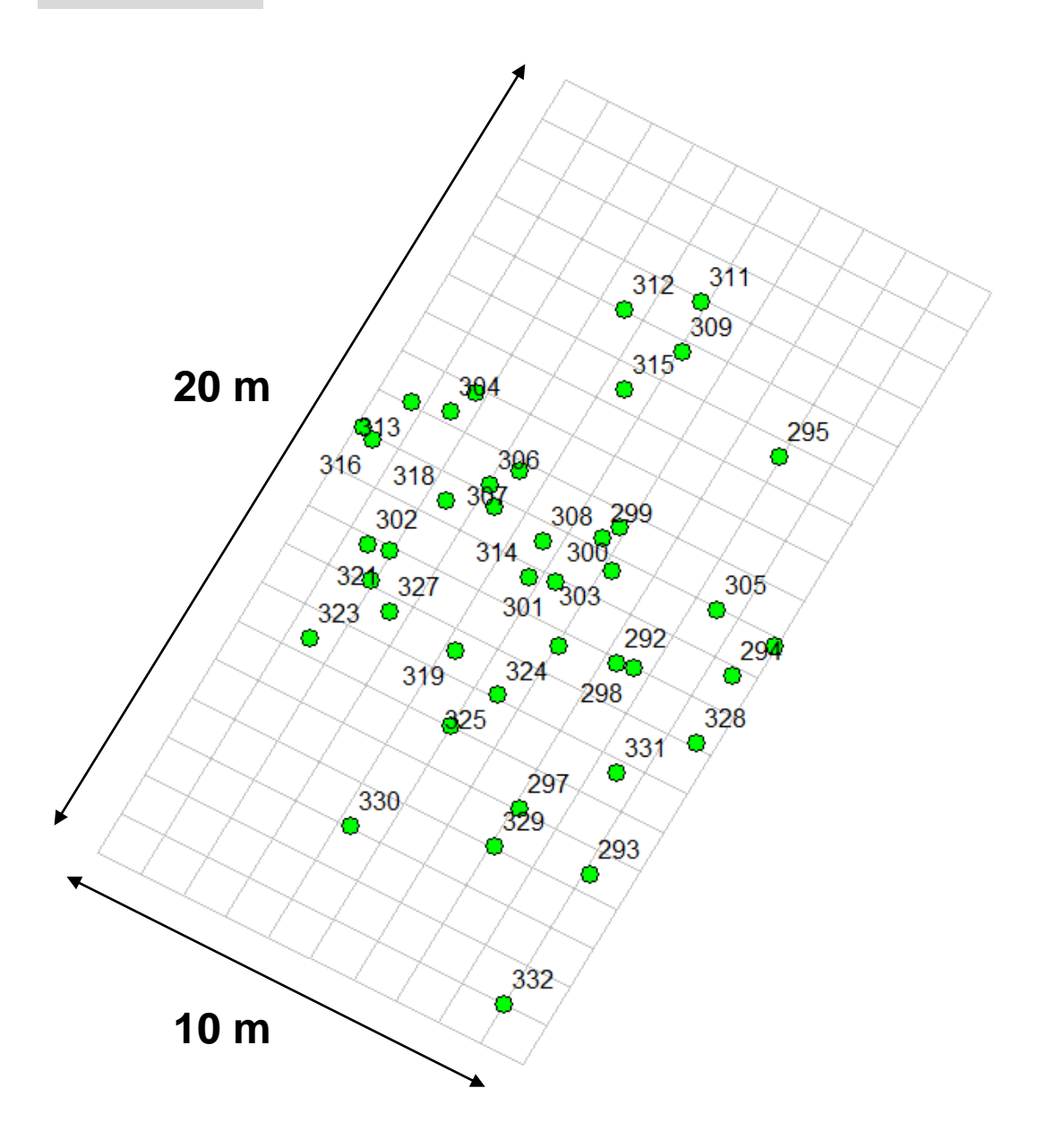
Parcela	Ţ	Nome Científico	Nome vulgar ▼	Índice ₊▼
SJ4		Drimys brasiliensis	cataia	164
SJ4		Podocarpus lambertii	pinheiro-bravo	165
SJ4		llex paraguariensis	erva-mate	166
SJ4		Podocarpus lambertii	pinheiro-bravo	167
SJ4		Myrceugenia glaucescens	guamirim-branco	168
SJ4		Myrceugenia glaucescens	guamirim-branco	169
SJ4		Campomanesia xanthocarpa	guabiroba	170
SJ4		Casearia lasiophylla	cambroé	171
SJ4		Podocarpus lambertii	pinheiro-bravo	172
SJ4		Aegiphila sellowiana	pau-de-gaiola	173
SJ4		Campomanesia xanthocarpa	guabiroba	174
SJ4		Araucaria angustifolia	pinheiro-do-Paraná	175
SJ4		Campomanesia xanthocarpa	guabiroba	176
SJ4		Araucaria angustifolia	pinheiro-do-Paraná	177
SJ4		Gymnanthes klotzschiana	branquilho	178
SJ4		Drimys brasiliensis	cataia	179
SJ4		Campomanesia xanthocarpa	guabiroba	180
SJ4		Erythroxylum argentinum	cocão	181
SJ4		Clethra scabra	carne-de-vaca	182
SJ4		Myrceugenia glaucescens	guamirim-branco	183
SJ4		Gymnanthes klotzschiana	branquilho	184
SJ4		Morta	Morta	185
SJ4		Myrceugenia glaucescens	guamirim-branco	186
SJ4		Erythrina falcata	corticeira-da-serra	187
SJ4		Clethra scabra	carne-de-vaca	188
SJ4		Clethra scabra	carne-de-vaca	189
SJ4		Myrceugenia glaucescens	guamirim-branco	190
SJ4		Podocarpus lambertii	pinheiro-bravo	191
SJ4		Myrsine loefgrenii	capororoca	192
SJ4		Araucaria angustifolia	pinheiro-do-Paraná	193
SJ4		llex brevicuspis	congonha	194
SJ4		llex brevicuspis	congonha	195
SJ4		llex brevicuspis	congonha	196
SJ4		llex brevicuspis	congonha	197
SJ4		llex brevicuspis	congonha	198



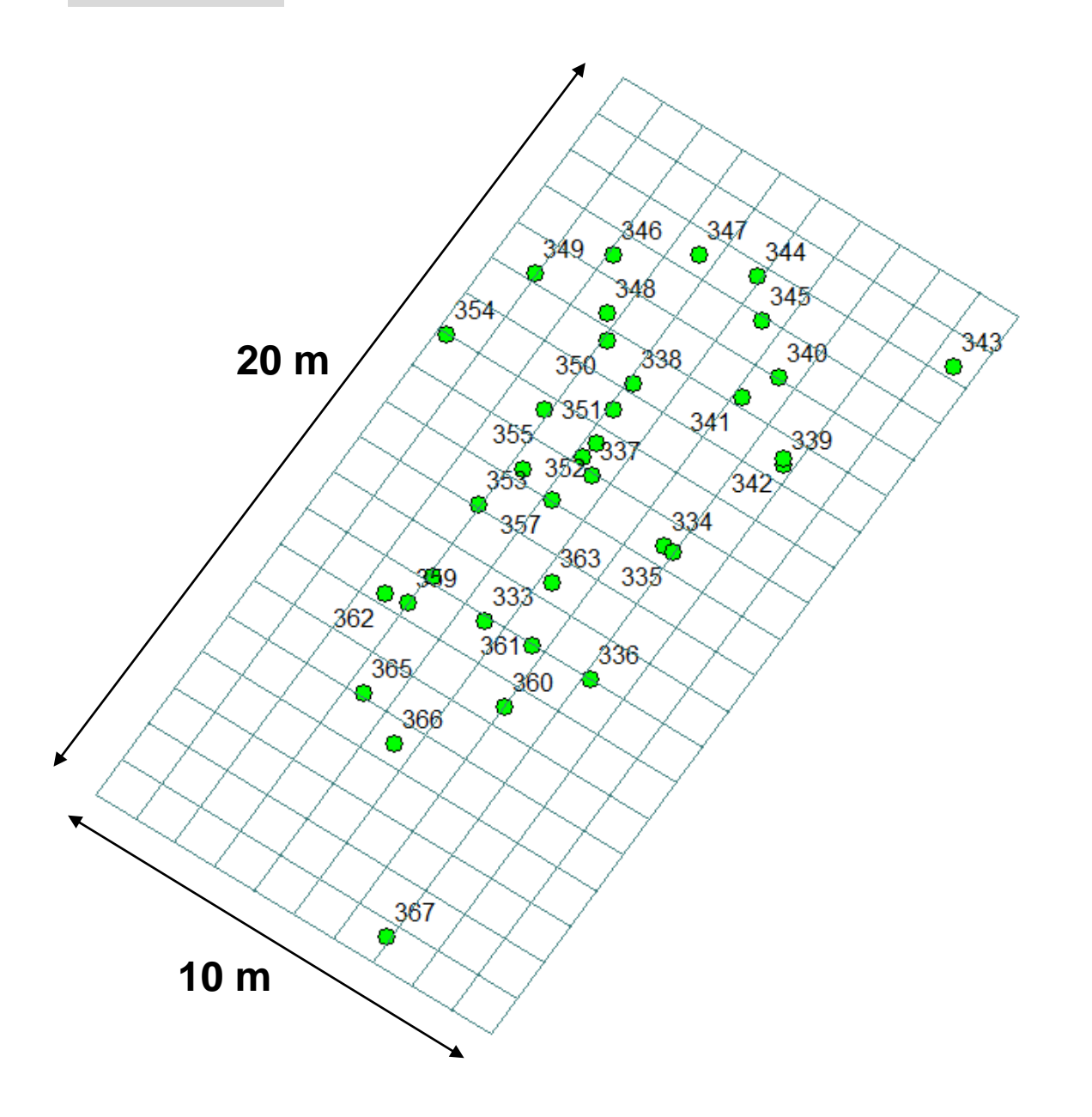
Parcela	Ţ	Nome Científico	Ŧ	Nome vulgar ▼	Índice ₊T
SJ5		Araucaria angustifolia	\Box	pinheiro-do-Paraná	200
SJ5		Clethra scabra	\Box	carne-de-vaca	201
SJ5		Araucaria angustifolia	\Box	pinheiro-do-Paraná	202
SJ5		Araucaria angustifolia	\Box	pinheiro-do-Paraná	203
SJ5		Araucaria angustifolia	\Box	pinheiro-do-Paraná	204
SJ5		Myrsine loefgrenii		capororoca	205
SJ5		Araucaria angustifolia		pinheiro-do-Paraná	206
SJ5		Araucaria angustifolia		pinheiro-do-Paraná	207
SJ5		Clethra scabra		carne-de-vaca	208
SJ5		Myrcia selloi		guamirim	209
SJ5		Myrceugenia glaucescens		guamirim-branco	210
SJ5		Myrceugenia glaucescens		guamirim-branco	211
SJ5		Myrceugenia glaucescens		guamirim-branco	212
SJ5		Clethra scabra		carne-de-vaca	213
SJ5		Araucaria angustifolia		pinheiro-do-Paraná	214
SJ5		Casearia decandra		guaçatunga	215
SJ5		Araucaria angustifolia		pinheiro-do-Paraná	216
SJ5		Morta		Morta	217
SJ5		llex paraguariensis		erva-mate	218
SJ5		llex dumosa		caúna	219
SJ5		Gomidesia hartwegiana		guamirim	220
SJ5		llex paraguariensis		erva-mate	221
SJ5		Gomidesia hartwegiana		guamirim	222
SJ5		Clethra scabra		carne-de-vaca	223
SJ5		Casearia decandra		guaçatunga	224
SJ5		Clethra scabra		carne-de-vaca	225
SJ5		Araucaria angustifolia		pinheiro-do-Paraná	226
SJ5		Myrsine loefgrenii		capororoca	227
SJ5		Prunus brasiliensis		pessegueiro-bravo	228
SJ5		Clethra scabra		carne-de-vaca	229
SJ5		Campomanesia xanthocarpa		guabiroba	230
SJ5		Ocotea pulchella	J	canela-lageana	231
SJ5		llex brevicuspis		congonha	232
SJ5		llex brevicuspis		congonha	233



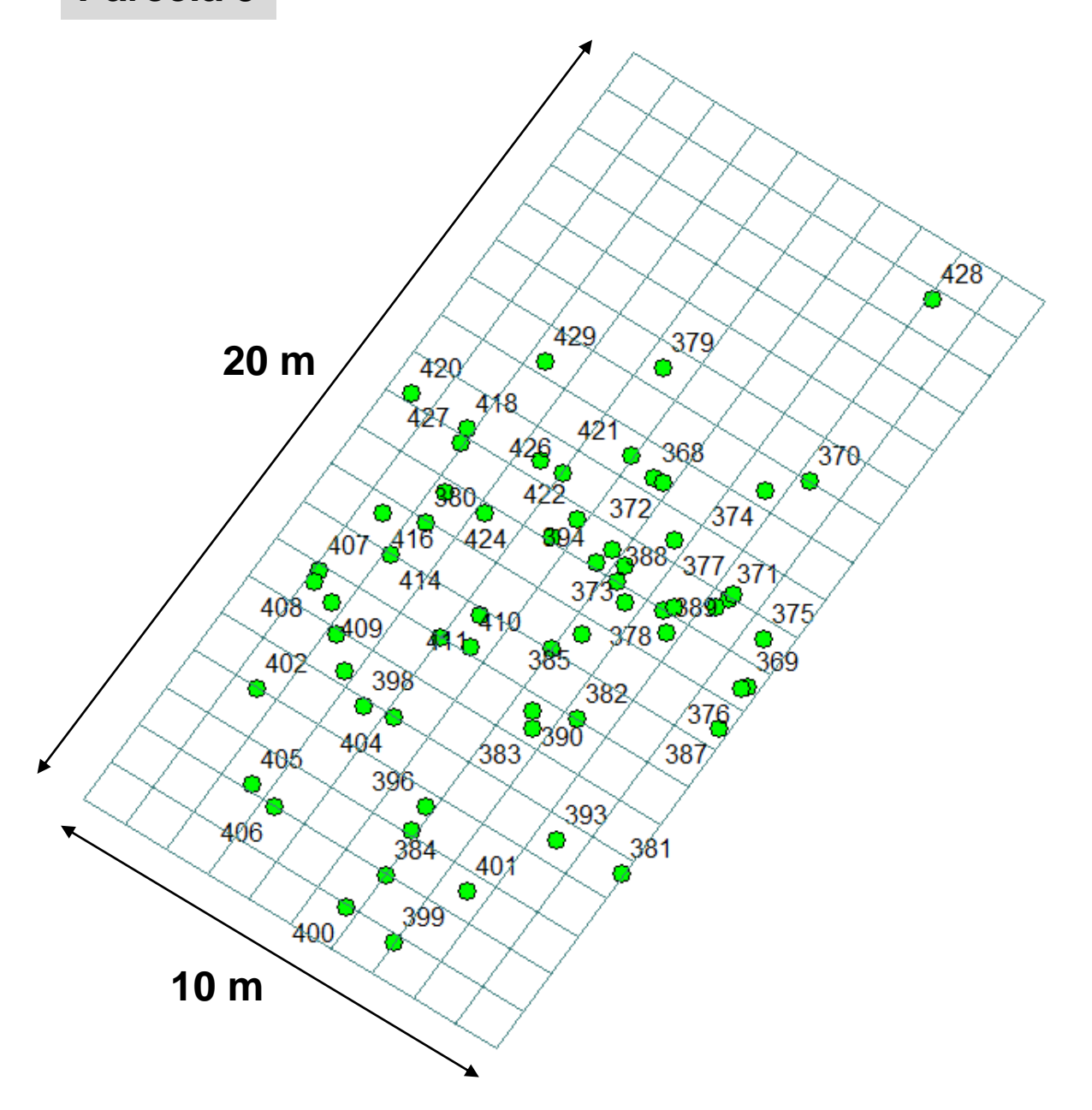
Parcela 📭	Nome Científico	Nome vulgar 🔻	Índice 🎜
SJ6	Baccharis dracunculifolia	vassourinha	235
SJ6	Clethra scabra	carne-de-vaca	236
SJ6	Clethra scabra	carne-de-vaca	237
SJ6	Clethra scabra	carne-de-vaca	239
SJ6	Clethra scabra	carne-de-vaca	240
SJ6	Clethra scabra	carne-de-vaca	241
SJ6	Clethra scabra	carne-de-vaca	242
SJ6	Clethra scabra	carne-de-vaca	243
SJ6	Clethra scabra	carne-de-vaca	244
SJ6	Clethra scabra		
SJ6	Clethra scabra	carne-de-vaca carne-de-vaca	245 246
SJ6	Clethra scabra	carne-de-vaca	247
SJ6	Clethra scabra	carne-de-vaca	248
SJ6	Clethra scabra	carne-de-vaca	249
SJ6	Campomanesia xanthocarpa	guabiroba	250
SJ6	Campomanesia xanthocarpa	guabiroba	251
SJ6	Myrcia neolucida	guamirim	252
SJ6	Ilex taubertiana	caúna-da-serra	253
SJ6	Clethra scabra	carne-de-vaca	254
SJ6	Ocotea pulchella	canela-lageana	255
SJ6	Prunus brasiliensis	pessegueiro-bravo	256
SJ6	Myrsine loefgrenii	capororoca	257
SJ6	Myrsine loefgrenii	capororoca	258
SJ6	Araucaria angustifolia	pinheiro-do-Paraná	259
SJ6	Araucaria angustifolia	pinheiro-do-Paraná	260
SJ6	Podocarpus lambertii	pinheiro-bravo	261
SJ6	Podocarpus lambertii	pinheiro-bravo	262
SJ6	Podocarpus lambertii	pinheiro-bravo	263
SJ6	Araucaria angustifolia	pinheiro-do-Paraná	264
SJ6	Araucaria angustifolia	pinheiro-do-Paraná	265
SJ6	Araucaria angustifolia	pinheiro-do-Paraná	266
SJ6	Prunus brasiliensis	pessegueiro-bravo	267
SJ6	Clethra scabra	carne-de-vaca	268
SJ6	Podocarpus lambertii	pinheiro-bravo	269
SJ6	Erythroxylum argentinum	cocão	270
SJ6	Erythroxylum argentinum	cocão	271
SJ6	Podocarpus lambertii	pinheiro-bravo	272
SJ6	Myrsine loefgrenii	capororoca	273
SJ6	Prunus brasiliensis	pessegueiro-bravo	274
SJ6	Ilex brevicuspis	congonha	275
SJ6	Clethra scabra	carne-de-vaca	276
SJ6	Clethra scabra	carne-de-vaca	277
SJ6	Ilex dumosa	caúna	278
SJ6	Araucaria angustifolia	pinheiro-do-Paraná	279
SJ6	Symplocos kleinii	maria-mole	280
SJ6	Myrsine loefgrenii	capororoca	281
SJ6	Myrsine loefgrenii	capororoca	282
SJ6	Myrsine loefgrenii	capororoca	283
SJ6	Clethra scabra	carne-de-vaca	284
SJ6	Myrsine loefgrenii	capororoca	285
SJ6	Myrsine loefgrenii	capororoca	286
SJ6	Myrsine loefgrenii	capororoca	287
SJ6	Myrsine loefgrenii	capororoca	288
SJ6	Araucaria angustifolia	pinheiro-do-Paraná	289
SJ6	Podocarpus lambertii	pinheiro-bravo	290
SJ6	Podocarpus lambertii	pinheiro-bravo	291
	-		



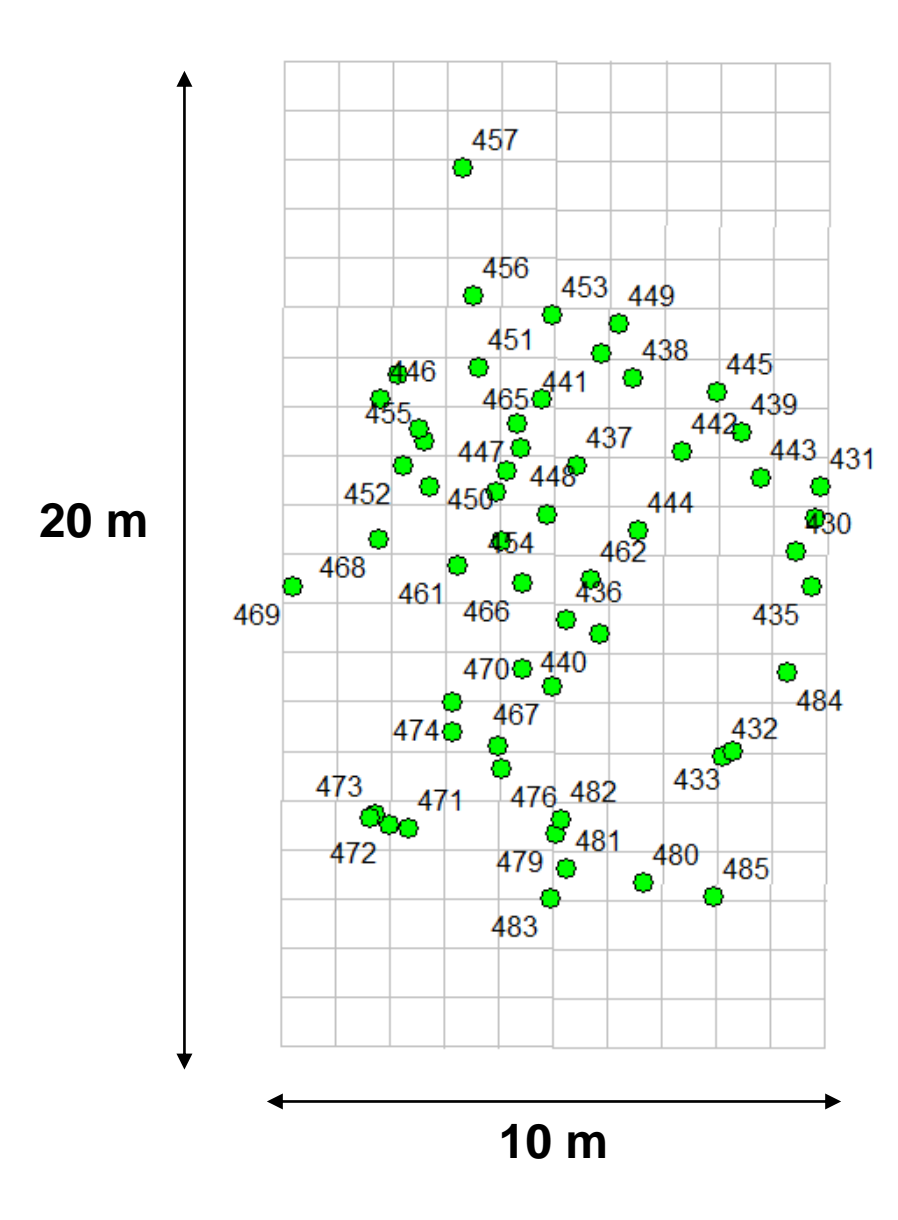
Parcela ,T	Nome Científico ▼	Nome vulgar ▼	Índice 🏋
SJ7	llex taubertiana	caúna-da-serra	293
SJ7	Ilex taubertiana	caúna-da-serra	294
SJ7	llex taubertiana	caúna-da-serra	295
SJ7	Clethra scabra	carne-de-vaca	296
SJ7	llex taubertiana	caúna-da-serra	297
SJ7	llex taubertiana	caúna-da-serra	298
SJ7	Sloanea lasiocoma	sapopema	299
SJ7	Myrcia splendens	guamirim-chorão	300
SJ7	Podocarpus lambertii	pinheiro-bravo	301
SJ7	Erythroxylum argentinum	cocão	302
SJ7	llex paraguariensis	erva-mate	303
SJ7	Myrcianthes gigantea	araçá-do-mato	304
SJ7	Clethra scabra	carne-de-vaca	305
SJ7	Clethra scabra	carne-de-vaca	306
SJ7	Myrcia splendens	guamirim-chorão	307
SJ7	Erythroxylum argentinum	cocão	308
SJ7	Erythroxylum argentinum	cocão	309
SJ7	Campomanesia xanthocarpa	guabiroba	310
SJ7	Clethra scabra	carne-de-vaca	311
SJ7	Araucaria angustifolia	pinheiro-do-Paraná	312
SJ7	Araucaria angustifolia	pinheiro-do-Paraná	313
SJ7	Araucaria angustifolia	pinheiro-do-Paraná	314
SJ7	llex paraguariensis	erva-mate	315
SJ7	Podocarpus lambertii	pinheiro-bravo	316
SJ7	Podocarpus lambertii	pinheiro-bravo	317
SJ7	Eugenia uruguayensis	guabijú	318
SJ7	Eugenia hiemalis	uamirim-de-folha-miúd	319
SJ7	Podocarpus lambertii	pinheiro-bravo	320
SJ7	Campomanesia xanthocarpa	guabiroba	321
SJ7	Campomanesia xanthocarpa	guabiroba	322
SJ7	Podocarpus lambertii	pinheiro-bravo	323
SJ7	Cryptocarya aschersoniana	canela-fogo	324
SJ7	Cryptocarya aschersoniana	canela-fogo	325
SJ7	Myrcia splendens	guamirim-chorão	326
SJ7	Clethra scabra	carne-de-vaca	327
SJ7	Erythroxylum argentinum	cocão	328
SJ7	Podocarpus lambertii	pinheiro-bravo	329
SJ7	Clethra scabra	carne-de-vaca	330
SJ7	Morta	Morta	331



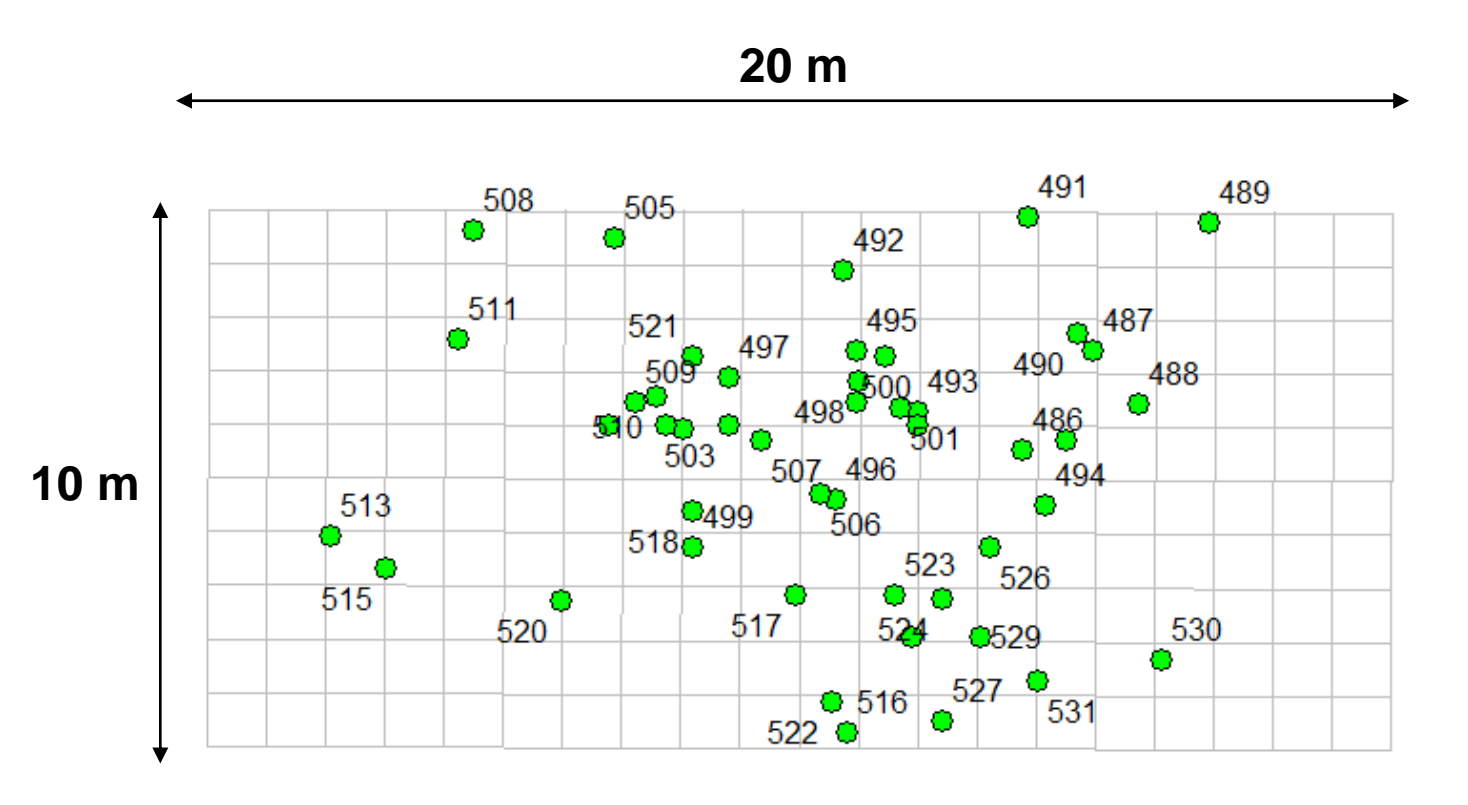
Parcela ,T	Nome Científico	Nome vulgar ▼	Índice 🏋
SJ8	Myrciaria tenella	camboim	334
SJ8	llex paraguariensis	erva-mate	335
SJ8	Gomidesia hartwegiana	guamirim	336
SJ8	Gymnanthes klotzschiana	branquilho	337
SJ8	Myrciaria tenella	camboim	338
SJ8	Gymnanthes klotzschiana	branquilho	339
SJ8	Myrciaria tenella	camboim	340
SJ8	Gymnanthes klotzschiana	branquilho	341
SJ8	Gymnanthes klotzschiana	branquilho	342
SJ8	llex paraguariensis	erva-mate	343
SJ8	Araucaria angustifolia	pinheiro-do-Paraná	344
SJ8	llex brevicuspis	congonha	345
SJ8	Myrciaria tenella	camboim	346
SJ8	Myrciaria tenella	camboim	347
SJ8	Myrciaria tenella	camboim	348
SJ8	Myrciaria tenella	camboim	349
SJ8	llex paraguariensis	erva-mate	350
SJ8	Myrciaria tenella	camboim	351
SJ8	Campomanesia xanthocarpa	guabiroba	352
SJ8	llex brevicuspis	congonha	353
SJ8	llex paraguariensis	erva-mate	354
SJ8	Morta	Morta	355
SJ8	Morta	Morta	356
SJ8	Araucaria angustifolia	pinheiro-do-Paraná	357
SJ8	llex brevicuspis	congonha	358
SJ8	llex brevicuspis	congonha	359
SJ8	llex brevicuspis	congonha	369
SJ8	llex brevicuspis	congonha	361
SJ8	llex paraguariensis	erva-mate	362
SJ8	Myrciaria tenella	camboim	363
SJ8	Myrciaria tenella	camboim	364
SJ8	llex paraguariensis	erva-mate	365
SJ8	Prunus brasiliensis	pessegueiro-bravo	366



Parcela 🖈	Nome Científico	Nome vulgar 🔻	Índice 🖓
SJ9	Clethra scabra	carne-de-vaca	369
SJ9	Myrcianthes gigantea	araçá-do-mato	370
SJ9	Podocarpus lambertii	pinheiro-bravo	371
SJ9	Ilex brevicuspis	congonha	372
SJ9	Myrcia selloi	guamirim	373
SJ9	Ocotea porosa	imbuia	374
SJ9	Myrcia guianensis	guamirim-branco	375
SJ9	Myrcia guianensis	guamirim-branco	376
SJ9	Myrcia guianensis	guamirim-branco	377
SJ9	Podocarpus lambertii	pinheiro-bravo	378
SJ9	Cryptocarya aschersoniana	canela-fogo	379
SJ9	Myrcia neolucida	quamirim	380
SJ9	Myrcia guianensis	guamirim-branco	381
SJ9	Gymnanthes klotzschiana	branquilho	382
SJ9	Morta	Morta	383
SJ9		guamirim-branco	384
SJ9	Myrcia guianensis	_	385
	Ilex brevicuspis	congonha	
SJ9	Clethra scabra	carne-de-vaca	386
SJ9	Eugenia uruguayensis	guabijú	387
SJ9	Podocarpus lambertii	pinheiro-bravo	388
SJ9	Clethra scabra	carne-de-vaca	389
SJ9	Gymnanthes klotzschiana	branquilho	390
SJ9	Clethra scabra	carne-de-vaca	391
SJ9	Gomidesia hartwegiana	guamirim	392
SJ9	Podocarpus lambertii	pinheiro-bravo	393
SJ9	Gomidesia hartwegiana	guamirim	394
SJ9	Myrcia glomerata	guamirim-facho	395
SJ9	Myrceugenia glaucescens	guamirim-branco	396
SJ9	Gomidesia hartwegiana	guamirim	397
SJ9	Ilex dumosa	caúna	398
SJ9	Clethra scabra	carne-de-vaca	399
SJ9	Clethra scabra	carne-de-vaca	400
SJ9	Gymnanthes klotzschiana	branquilho	401
SJ9	Gomidesia hartwegiana	guamirim	402
SJ9	Ilex theezans	caúna	403
SJ9	Ilex brevicuspis	congonha	404
SJ9	Gymnanthes klotzschiana	branquilho	405
SJ9	Ilex brevicuspis	congonha	406
SJ9	Gomidesia hartwegiana	guamirim	407
SJ9	Clethra scabra	carne-de-vaca	408
SJ9	Myrcia guianensis	guamirim-branco	409
SJ9	Gomidesia hartwegiana	guamirim	410
SJ9	Myrcia neolucida	guamirim	411
SJ9	Drimys brasiliensis	cataia	412
SJ9	Podocarpus lambertii	pinheiro-bravo	413
SJ9	Clethra scabra	carne-de-vaca	414
SJ9	Araucaria angustifolia	pinheiro-do-Paraná	415
SJ9	Ocotea porosa	imbuia	416
SJ9	Clethra scabra	carne-de-vaca	417
SJ9	Clethra scabra	carne-de-vaca	418
SJ9	Podocarpus lambertii	pinheiro-bravo	419
SJ9	Myrcia guianensis	guamirim-branco	420
	Ilex theezans		
SJ9		caúna	421
SJ9	Gymnanthes klotzschiana	branquilho	422
SJ9	Clethra scabra	carne-de-vaca	423
SJ9	Araucaria angustifolia	pinheiro-do-Paraná	424
SJ9	Clethra scabra	carne-de-vaca	425
SJ9	Drimys brasiliensis	cataia	426
SJ9	Gomidesia hartwegiana	guamirim 	427
SJ9	Ilex taubertiana	caúna-da-serra	428
SJ9	Gymnanthes klotzschiana	branquilho	429



Parcela J	Nome Científico	Nome vulgar 🔻	Índice ூ
SJ10	Symplocos tetrandra	maria mole	431
SJ10	Cryptocarya aschersoniana	canela-fogo	432
SJ10	Clethra scabra	carne-de-vaca	433
SJ10	Myrceugenia glaucescens	guamirim-branco	434
SJ10	Ilex brevicuspis	congonha	435
SJ10	Morta	Morta	436
SJ10	Campomanesia xanthocarpa	guabiroba	437
SJ10	Clethra scabra	carne-de-vaca	438
SJ10	Clethra scabra	carne-de-vaca	439
SJ10	Morta	Morta	440
SJ10	Ilex brevicuspis	congonha	441
SJ10	Clethra scabra	carne-de-vaca	442
SJ10	Ilex dumosa	caúna	443
SJ10	Ilex brevicuspis	congonha	444
SJ10	·		445
	Campomanesia xanthocarpa	guabiroba	
SJ10	Araucaria angustifolia	pinheiro-do-Paraná	446
SJ10	Clethra scabra	carne-de-vaca	447
SJ10	Myrcia selloi	guamirim	448
SJ10	Myrsine loefgrenii	capororoca	449
SJ10	Ocotea pulchella	canela-lageana	450
SJ10	Ilex brevicuspis	congonha 	451
SJ10	Myrcia selloi	guamirim	452
SJ10	Araucaria angustifolia	pinheiro-do-Paraná	453
SJ10	Clethra scabra	carne-de-vaca	454
SJ10	Clethra scabra	carne-de-vaca	455
SJ10	Ilex paraguariensis	erva-mate	456
SJ10	Myrceugenia glaucescens	guamirim-branco	457
SJ10	Ilex theezans	caúna	458
SJ10	Clethra scabra	carne-de-vaca	459
SJ10	Araucaria angustifolia	pinheiro-do-Paraná	460
SJ10	Clethra scabra	carne-de-vaca	461
SJ10	Myrcia selloi	guamirim	462
SJ10	Morta	Morta	463
SJ10	Ilex paraguariensis	erva-mate	464
SJ10	Clethra scabra	carne-de-vaca	465
SJ10	Clethra scabra	carne-de-vaca	466
SJ10	Ilex paraguariensis	erva-mate	467
SJ10	Ilex taubertiana	caúna-da-serra	468
SJ10	Clethra scabra	carne-de-vaca	469
SJ10	Myrcia selloi	guamirim	470
SJ10	Clethra scabra	carne-de-vaca	471
SJ10	Ocotea pulchella	canela-lageana	472
SJ10	Clethra scabra	carne-de-vaca	473
SJ10	Clethra scabra	carne-de-vaca	474
SJ10	Clethra scabra	carne-de-vaca	475
SJ10	Clethra scabra	carne-de-vaca	476
SJ10	Clethra scabra	carne-de-vaca	477
SJ10	Clethra scabra	carne-de-vaca	478
SJ10	llex paraguariensis	erva-mate	479
SJ10	Clethra scabra	carne-de-vaca	480
SJ10	Clethra scabra	carne-de-vaca	481
SJ10	Clethra scabra	carne-de-vaca	482
SJ10	Nectandra lanceolata	canela-amarela	483
SJ10	Clethra scabra	carne-de-vaca	484
SJ10	Campomanesia xanthocarpa	guabiroba	485



Parcela 📭	Nome Científico	Nome vulgar 🔽	Índice 🕶
SJ11	Ilex paraguariensis	erva-mate	489
SJ11	Araucaria angustifolia	pinheiro-do-Paraná	490
SJ11	Clethra scabra	carne-de-vaca	491
SJ11	Clethra scabra	carne-de-vaca	492
SJ11	Campomanesia xanthocarpa	guabiroba	493
SJ11	Cinnamodendron dinisii	pimenteira	494
SJ11	Campomanesia xanthocarpa	guabiroba	495
SJ11	Campomanesia xanthocarpa	guabiroba	496
SJ11	Campomanesia xanthocarpa	guabiroba	497
SJ11	Clethra scabra	carne-de-vaca	498
SJ11	Podocarpus lambertii	pinheiro-bravo	499
SJ11	Campomanesia xanthocarpa	guabiroba	500
SJ11	Campomanesia xanthocarpa	guabiroba	502
SJ11	Campomanesia xanthocarpa	guabiroba	503
SJ11	Araucaria angustifolia	pinheiro-do-Paraná	504
SJ11	Campomanesia xanthocarpa	guabiroba	505
SJ11	Araucaria angustifolia	pinheiro-do-Paraná	506
SJ11	Ilex brevicuspis	congonha	507
SJ11	Jacaranda puberula	carobinha	508
SJ11	Podocarpus lambertii	pinheiro-bravo	509
SJ11	Clethra scabra	carne-de-vaca	510
SJ11	Podocarpus lambertii	pinheiro-bravo	511
SJ11	Campomanesia xanthocarpa	guabiroba	512
SJ11	Ilex brevicuspis	congonha	513
SJ11	Ilex paraguariensis	erva-mate	514
SJ11	Clethra scabra	carne-de-vaca	515
SJ11	Ilex dumosa	caúna	516
SJ11	Morta	Morta	517
SJ11	Araucaria angustifolia	pinheiro-do-Paraná	518
SJ11	Podocarpus lambertii	pinheiro-bravo	519
SJ11	Clethra scabra	carne-de-vaca	520
SJ11	Campomanesia xanthocarpa	guabiroba	521
SJ11	Ilex brevicuspis	congonha	522
SJ11	Zanthoxylum k leinii	mamica-de-cadela	524
SJ11	Araucaria angustifolia	pinheiro-do-Paraná	525
SJ11	Podocarpus lambertii	pinheiro-bravo	526
SJ11	Podocarpus lambertii	pinheiro-bravo	527
SJ11	Podocarpus lambertii	pinheiro-bravo	528
SJ11	Podocarpus lambertii	pinheiro-bravo	529
SJ11	Clethra scabra	carne-de-vaca	530
SJ11	Ilex dumosa	caúna	531